

ZAAWANSOWANE METODY OBLICZENIOWE W INŻYNIERII

Wykłady: prof. dr hab. inż. Andrzej Milenin

Projekt: Mgr. Inż. Piotr Kustra

Pok. B5 710

E-mail: milenin@agh.edu.pl

Egzamin

Literatura

- O.C.Zienkiewicz, R.L.Taylor The Finite Element Method // Butterworth Heinemann, 3 vol, 5-th Edition, London, 2000
- Zienkiewicz O.C., Metoda elementów skończonych, Arkady, Warszawa, 1972.
- Kleiber M. Komputerowe metody mechaniki ciał stałych, PWN, Warszawa 1995
- M. Pietrzyk Metody numeryczne w przeróbce plastycznej metali // AGH, Kraków, 1992
- <http://www.home.agh.edu.pl/~milenin/>
- A.Milenin Podstawy MES. Zadania termomechaniczne// Wydawnictwo AGH, 2010

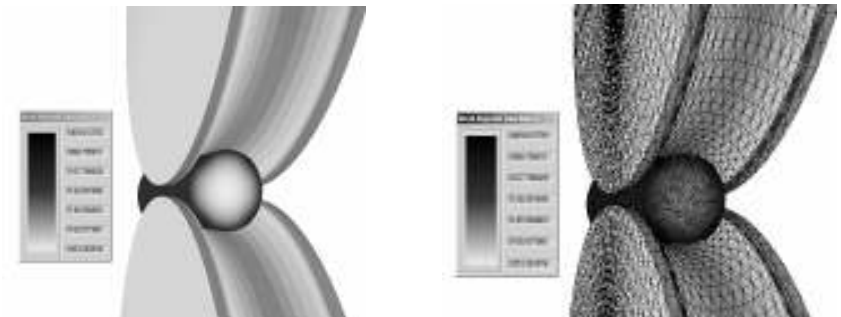
SPIS TREŚCI

- Zaawansowane zagadnienia z zakresu metody elementów skończonych
 - Rozwiązanie stacjonarnych i niestacjonarnych zadań, w których niewiadomą jest funkcja skalarna
 - Rozwiązanie zadań, w których niewiadomą jest funkcja wektorowa
 - Problemy z ograniczeniami, nieściślność, metoda mnożnika Lagrange'a, funkcji kary i metoda mieszana
 - Metody adaptacyjne – metody h, p i hp
- Podstawy rachunku wariacyjnego, metoda Galerkina
- Metoda elementów brzegowych (BEM)
- Metoda automatów komurkowych
- Opracowanie programu do symulacji procesów odkształcenia materiałów za pomocą MES

Główna koncepcja metody elementów skończonych

Główna idea MES polega na tym, że dowolną ciągłą wartość (np. temperaturę) można zamienić na model dyskretny.

Model ten jest oparty na ograniczonej ilości węzłów, które tworzą ograniczoną ilość elementów skończonych



Algorytm MES

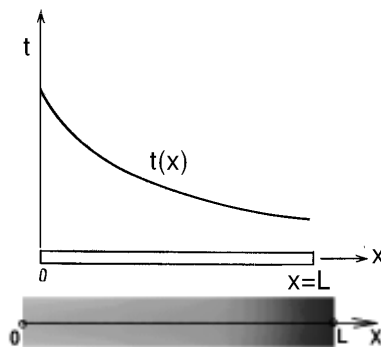
1. W rozpatrywanym ośrodku bierzemy pod uwagę ograniczoną ilość punktów (węzłów).
2. Wartości temperatury (lub innej funkcji) w każdym węźle definiujemy jako parametr, który musimy wyznaczyć.
3. Strefa wyznaczenia temperatury dzieli się na ograniczoną ilość pod-stref, które nazywamy elementami skończonymi.
4. Temperaturę aproksymuje się na każdym elemencie za pomocą wielomianu, który wyznaczony jest za pomocą węzłowych wartości temperatury. Wyznacza się go w taki sposób, aby zachować warunek ciągłości temperatury na granicach elementów.
5. Węzłowe wartości temperatury muszą być dobrane w taki sposób, aby zapewnić najlepsze do rzeczywistego przybliżenie pola temperatury. Taki dobór wykonywany jest za pomocą minimalizacji funkcjonału, który odpowiada różniczkowemu równaniu przewodzenia ciepła.

Ważniejsze zalety MES w porównaniu do innych metod

1. Własności materiału elementów niekoniecznie muszą być jednakowe. To daje możliwość wykorzystania MES do materiałów wielofazowych, jak również do materiałów, których własności są funkcją temperatury.
2. Ośrodek o skomplikowanym kształcie może być zaproksymowany z dużą dokładnością za pomocą elementów krzywoliniowych.
3. Wymiary elementów mogą być objętościowo różne. To daje możliwość powiększania lub zmniejszania wymiarów elementów w pewnych strefach rozpatrywanej objętości.
4. Za pomocą MES można uwzględniać nieliniowe warunki brzegowe.

Dyskretyzacja ośrodka

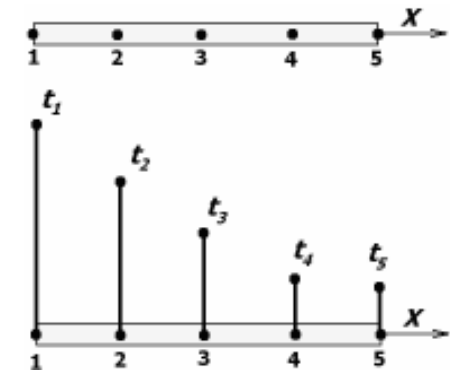
Główna koncepcja MES może być pokazana na jednowymiarowym przykładzie aproksymacji ciągłego pola temperatury w pręcie



Rozkład temperatury w jednowymiarowym pręcie

Dyskretyzacja ośrodka jednowymiarowego

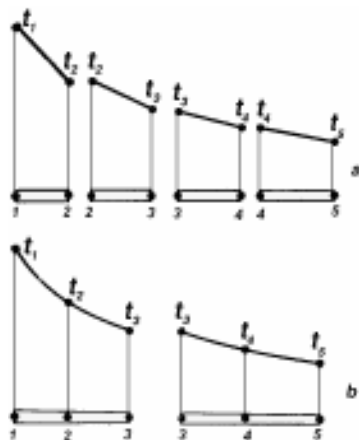
Rozpatrzmy ciągły rozkład temperatury $t(x)$ na odcinku $0L$ wzdłuż osi X analizując pięć węzłowych punktów na odcinku $0L$



Punkty węzłowe (a) i ewentualni wartości $t(x)$ (b).

Rozdzielenie ośrodka na elementy

- Rozdzielenie ośrodka 0L na elementy można wykonać na różne sposoby.
- Na przykład można wykorzystać dwa sąsiednie węzły.
- Wtedy otrzymamy cztery elementy, lub rozdzielić strefę na dwa elementy, z których każdy zawiera trzy węzły.



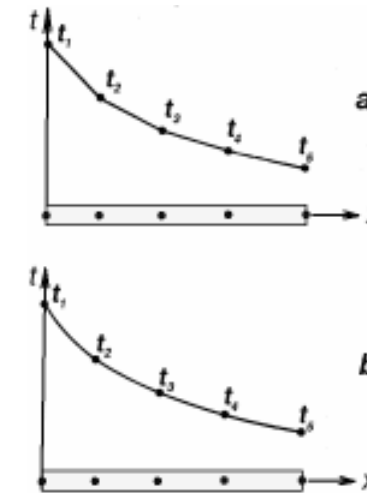
Podział ośrodka na elementy pierwszego (a) i drugiego (b) stopnia.

Aproksymacja pola temperatury

Wielomian aproksymujący wyznaczamy na podstawie wartości temperatury w węzłach elementu.

W przypadku rozdzielenia rozpatrywanej strefy na cztery elementy, każdy element zawiera dwa węzły i funkcja aproksymująca będzie liniową względem osi X.

Inny sposób rozdzielenia strefy na dwa elementy z 3 węzłami powoduje wykorzystanie wielomianu aproksymującego drugiego stopnia. W tym przypadku ostatecznym wariantem aproksymacji będzie siatka z dwóch elementów skończonych drugiego stopnia.

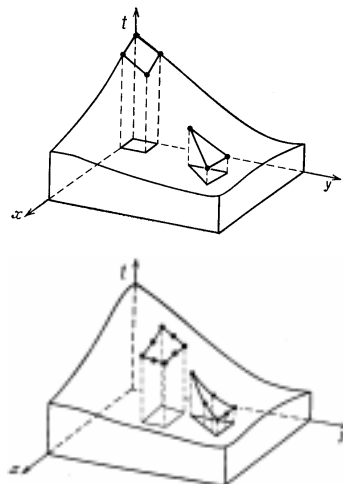


Aproksymacja pola temperatury przez funkcję liniową i kwadratową

Dyskretyzacja ośrodka dwuwymiarowego

Przy opracowaniu dwu- lub trzywymiarowego modelu dyskretnego temperatury główną koncepcję MES wykorzystuje się w sposób analogiczny.

Funkcje elementów dla zadania dwuwymiarowego pokazane są na rysunku.



Element jednowymiarowy

Jednowymiarowy simpleks-element jest to prosty odcinek o długości L. Oznaczmy węzły literami i, j, węzłowe wartości temperatur – przez t_i i t_j odpowiednio. Funkcja aproksymująca dla tego elementu ma postać:

$$t = a_1 + a_2 X$$

Współczynniki a_1 i a_2 można wyznaczyć za pomocą warunków w punktach węzłowych:

$$t = t_i \text{ przy } X = X_i$$

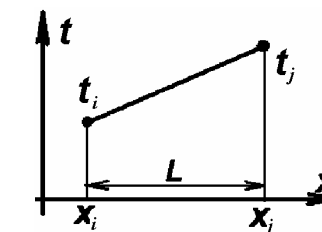
$$t = t_j \text{ przy } X = X_j$$

Te warunki powodują następujący układ równań:

$$\left. \begin{aligned} t_i &= a_1 + a_2 X_i \\ t_j &= a_1 + a_2 X_j \end{aligned} \right\}$$

rozwiązanie których daje:

$$a_1 = \frac{t_i X_j - t_j X_i}{L} \quad a_2 = \frac{t_j - t_i}{L}$$



Funkcji kształtu elementu jednowymiarowego

$$t = \left(\frac{t_j X_j - t_i X_i}{L}\right) + \left(\frac{t_j - t_i}{L}\right) X$$

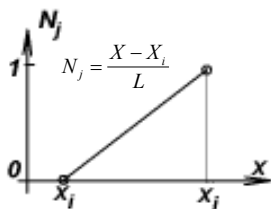
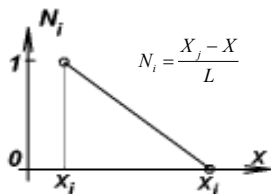
$$t = \left(\frac{X_j - X}{L}\right) t_i + \left(\frac{X - X_i}{L}\right) t_j$$

Funkcje liniowe od X nazywa się funkcjami kształtu.
Oznaczmy te funkcje przez N .
Każda funkcja kształtu powinna mieć dolny indeks dla identyfikacji węzła, do którego ona należy.

$$N_i = \frac{X_j - X}{L} \quad N_j = \frac{X - X_i}{L}$$

$$t = N_i t_i + N_j t_j = [N] \{t\}$$

$$\{t\} = \begin{Bmatrix} t_i \\ t_j \end{Bmatrix} \quad [N] = [N_i \ N_j]$$



$$\sum_{\beta=1}^n N_{\beta} = 1$$

Wykresy funkcji kształtu N_i i N_j

Ogólne właściwości funkcji kształtu

Zarówno funkcje kształtu, otrzymane powyżej dla dwóch typów elementów, jak i funkcje kształtu dowolnego elementu skończonego mają następujące wspólne właściwości:

- Suma funkcji kształtu elementu w jego dowolnym punkcie równa jest jeden.
Dla elementu jednowymiarowego tą właściwość można przedstawić w postaci ogólnej:

$$N_i + N_j = \frac{X_j - X}{L} + \frac{X - X_i}{L} = \frac{X_j - X_i}{L} = \frac{L}{L} = 1$$

Otrzymany wynik nie zależy od X , dlatego ten warunek spełniony jest dla wszystkich punktów elementu.

- Dowolna funkcja kształtu równa jeden w odpowiednim jej węźle i równa zero w pozostałych węzłach tego elementu. Dla elementu jednowymiarowego ta własność jest oczywista. Na przykład, dla węzła i mamy

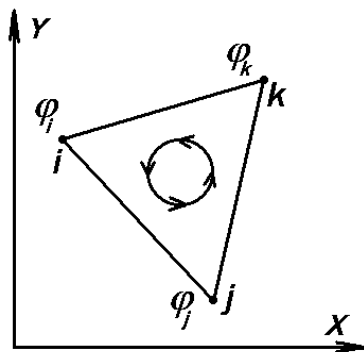
$$N_i = \frac{X_j - X}{L} = \frac{X_j - X_i}{L} = \frac{L}{L} = 1$$

- Na granicach pomiędzy elementami funkcji kształtu są ciągłe.

Element dwuwymiarowy

Simpleks-element dwuwymiarowy – jest to trójkąt z trzema węzłami dla aproksymacji pola temperatury (lub innej funkcji)

Rozpatrzmy numerację węzłów w kierunku przeciwnym do strzałki zegara i oznaczmy je jako i, j, k .



Kolejność numeracji węzłów w simpleks- elemencie dwuwymiarowym

Funkcji kształtu elementu dwuwymiarowego

Wartości współczynników $\alpha_1, \alpha_2, \alpha_3$ otrzymamy wychodząc z warunków w węzłach elementu:

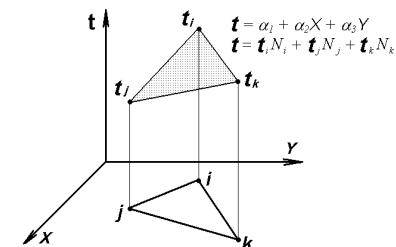
$$\left. \begin{aligned} \text{przy } X = X_i, Y = Y_i, t = t_i, &\Rightarrow t_i = \alpha_1 + \alpha_2 X_i + \alpha_3 Y_i \\ \text{przy } X = X_j, Y = Y_j, t = t_j, &\Rightarrow t_j = \alpha_1 + \alpha_2 X_j + \alpha_3 Y_j \\ \text{przy } X = X_k, Y = Y_k, t = t_k, &\Rightarrow t_k = \alpha_1 + \alpha_2 X_k + \alpha_3 Y_k \end{aligned} \right\}$$

Następnie po rozwiązaniu układu równań otrzymamy wzory dla α_1, α_2 i α_3 :

$$\alpha_1 = \frac{1}{2A} [(X_j Y_k - X_k Y_j) + (X_k Y_i - X_i Y_k) + (X_i Y_j - X_j Y_k)]$$

$$\alpha_2 = \frac{1}{2A} [(Y_j - Y_k) + (Y_i - Y_j) + (Y_j - Y_k)]$$

$$\alpha_3 = \frac{1}{2A} [(X_k - X_i) + (X_i - X_j) + (X_j - X_k)]$$



Schemat do wyznaczenia funkcji kształtu w simpleks- elemencie dwuwymiarowym

$$2A = \begin{vmatrix} 1 & X_i & Y_i \\ 1 & X_j & Y_j \\ 1 & X_k & Y_k \end{vmatrix} = X_j Y_k + X_i Y_j + X_k Y_i - X_j Y_i - X_k Y_j - X_i Y_k$$

gdzie: A – pole elementu skończonego

Funkcje kształtu elementu dwuwymiarowego

$$\varphi = \varphi_i N_i + \varphi_j N_j + \varphi_k N_k = \{N\}^T \cdot \{\varphi\} \quad t = t_i N_i + t_j N_j + t_k N_k = \{N\}^T \cdot \{t\}$$

$$N_i = \frac{1}{2A} (a_i + b_i X + c_i Y)$$

$$a_i = X_j Y_k - X_k Y_j$$

$$b_i = Y_j - Y_k$$

$$c_i = X_k - X_j$$

$$N_j = \frac{1}{2A} (a_j + b_j X + c_j Y)$$

$$a_j = X_k Y_i - X_i Y_k$$

$$b_j = Y_k - Y_i$$

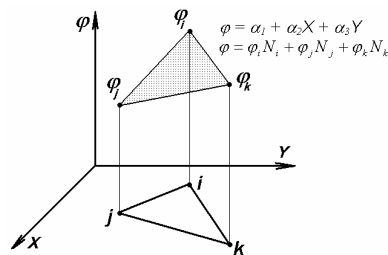
$$c_j = X_i - X_k$$

$$N_k = \frac{1}{2A} (a_k + b_k X + c_k Y)$$

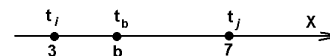
$$a_k = X_i Y_j - X_j Y_i$$

$$b_k = Y_i - Y_j$$

$$c_k = X_j - X_i$$



Zadanie. Określić wartość temperatury w zadanym punkcie b



Schemat do zadania 1.

$$t_i = 110 \text{ } ^\circ\text{C}, t_j = 230 \text{ } ^\circ\text{C}, X_b = 4 \text{ mm}$$

Rozwiązanie:

Obliczenie funkcji kształtu w punkcie b:

$$N_i^{(b)} = \frac{X_j - X_b}{X_j - X_i} = \frac{7-4}{7-3} = 0.75;$$

$$N_j^{(b)} = \frac{X_b - X_i}{X_j - X_i} = \frac{4-3}{7-3} = 0.25.$$

$$N_i + N_j = 0.75 + 0.25 = 1$$

Kontrola wartości funkcji kształtu:

$$\text{Wartość temperatury w punkcie b: } t_b = t_i N_i + t_j N_j = 110 \cdot 0.75 + 230 \cdot 0.25 = 82.5 + 57.5 = 140 \text{ } ^\circ\text{C}$$

Zadanie Określić wartość naprężenia w zadanym punkcie B

$$\sigma_i = 40 \text{ MPa}$$

$$X_i = 0 \text{ mm}$$

$$Y_i = 0 \text{ mm}$$

$$\sigma_j = 34 \text{ MPa}$$

$$X_j = 4 \text{ mm}$$

$$Y_j = 0.5 \text{ mm}$$

$$\sigma_k = 46 \text{ MPa}$$

$$X_k = 2 \text{ mm}$$

$$Y_k = 5 \text{ mm}$$

$$X_B = 2 \text{ mm}$$

$$Y_B = 1.5 \text{ mm}$$

$$\sigma_B = ?$$

$$\sigma = \sigma_i N_i + \sigma_j N_j + \sigma_k N_k$$

$$a_i = X_j Y_k - X_k Y_j = 4 \cdot 5 - 2 \cdot 0.5 = 19$$

$$b_i = Y_j - Y_k = 0.5 - 5 = -4.5$$

$$c_i = X_k - X_j = 2 - 4 = -2$$

$$a_j = X_k Y_i - X_i Y_k = 2 \cdot 0 - 0 \cdot 5 = 0$$

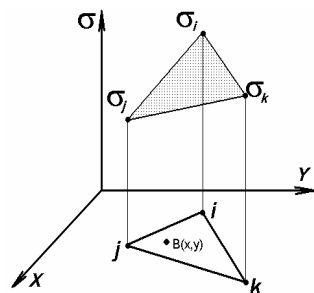
$$b_j = Y_k - Y_i = 5 - 0 = 5$$

$$c_j = X_i - X_k = 0 - 2 = -2$$

$$a_k = X_i Y_j - X_j Y_i = 0 \cdot 0.5 - 4 \cdot 0 = 0$$

$$b_k = Y_i - Y_j = 0 - 0.5 = -0.5$$

$$c_k = X_j - X_i = 4 - 0 = 4$$



Określić wartość naprężenia w zadanym punkcie B

$$2A = \begin{vmatrix} 1 & X_i & Y_i \\ 1 & X_j & Y_j \\ 1 & X_k & Y_k \end{vmatrix} = X_j Y_k + X_i Y_j + X_k Y_i - X_j Y_i - X_k Y_j - X_i Y_k = 19$$

$$N_i = \frac{1}{2A} (a_i + b_i X + c_i Y) = \frac{7}{19}$$

$$N_j = \frac{1}{2A} (a_j + b_j X + c_j Y) = \frac{7}{19}$$

$$N_k = \frac{1}{2A} (a_k + b_k X + c_k Y) = \frac{5}{19}$$

$$\sigma_B = \sigma_i N_i^{(B)} + \sigma_j N_j^{(B)} + \sigma_k N_k^{(B)} = \frac{7}{19} 40 + \frac{7}{19} 34 + \frac{5}{19} 46 = 39.4$$

$$N_i + N_j + N_k = \frac{7}{19} + \frac{7}{19} + \frac{5}{19} = 1$$

Rozwiązanie zadań, w których niewiadomą jest funkcja skalarna

1. Przyływ ciepła w stanie ustalonym
2. Niestacjonarny przepływ ciepła
3. Dyfuzji składnika w ciałach stałych
4. Dyfuzja w czasie krzepnięcia materiałów dwufazowych
5. Przyływ ciepła w czasie krzepnięcia materiałów

$$\frac{\partial}{\partial x} \left(k_x(u) \frac{\partial u}{\partial x} \right) + \frac{\partial}{\partial y} \left(k_y(u) \frac{\partial u}{\partial y} \right) + \frac{\partial}{\partial z} \left(k_z(u) \frac{\partial u}{\partial z} \right) + \left(Q - A \frac{\partial u}{\partial \tau} \right) = 0$$

u – stężenie (dyfuzja), wilgotność (zw. w atmosferze), temperatura ..

$$\frac{\partial}{\partial x} \left(k_x(t) \frac{\partial t}{\partial x} \right) + \frac{\partial}{\partial y} \left(k_y(t) \frac{\partial t}{\partial y} \right) + \frac{\partial}{\partial z} \left(k_z(t) \frac{\partial t}{\partial z} \right) + \left(Q - c\rho \frac{\partial t}{\partial \tau} \right) = 0$$

Symulacja ustalonych procesów cieplnych za pomocą MES

Zjawiska cieplne zachodzące w stanie ustalonym opisuje równanie Furiera w postaci:

$$\frac{\partial}{\partial x} \left(k_x(t) \frac{\partial t}{\partial x} \right) + \frac{\partial}{\partial y} \left(k_y(t) \frac{\partial t}{\partial y} \right) + \frac{\partial}{\partial z} \left(k_z(t) \frac{\partial t}{\partial z} \right) + \left(Q - c_{eff} \rho \frac{\partial t}{\partial \tau} \right) = 0$$

k - anizotropowe współczynniki przewodzenia ciepła (W/mK) w zależności od temperatury t (K),
 Q – prędkość generowania ciepła (W/m³)

Zadanie rozwiązania równania Furiera sprowadza się do poszukiwania minimum takiego funkcjonału, dla którego równanie Furiera jest równaniem Eulera. Według rachunku wariacyjnego funkcjonał taki będzie miał postać:

$$J = \int_V \left[\frac{k(t)}{2} \left(\left(\frac{\partial t}{\partial x} \right)^2 + \left(\frac{\partial t}{\partial y} \right)^2 + \left(\frac{\partial t}{\partial z} \right)^2 \right) - Qt \right] dV$$

Warunki brzegowe

Funkcja $t(x,y,z)$ musi spełniać określone warunki brzegowe na powierzchni metalu:

- na powierzchni metalu zadana jest temperatura t ;

- na powierzchni metalu zadany jest strumień ciepły q według prawa konwekcji:

$$k(t) \left(\frac{\partial t}{\partial x} a_x + \frac{\partial t}{\partial y} a_y + \frac{\partial t}{\partial z} a_z \right) = \alpha_{konw} (t - t_\infty)$$

α_{konw} - współczynnik konwekcyjnej wymiany ciepła (W/m² K);

- na powierzchni metalu zadany jest strumień ciepły q według prawa wymiany radiacyjnej:

$$k(t) \left(\frac{\partial t}{\partial x} a_x + \frac{\partial t}{\partial y} a_y + \frac{\partial t}{\partial z} a_z \right) = \sigma_{rad} (t^4 - t_\infty^4)$$

σ_{rad} - współczynnik wymiany ciepła przez radiację (W/m²K⁴).

Warunki brzegowe w funkcjonale

Bezpośrednie wprowadzenie warunków brzegowych do funkcjonału nie jest możliwe. W praktyce narzuca się ten warunek poprzez dodanie do funkcjonału całki w postaci:

$$\int_S \frac{\alpha}{2} (t - t_\infty)^2 dS + \int_S q t dS$$

gdzie: S – powierzchnia na której zadane są warunki brzegowe.

W rezultacie otrzymujemy:

$$J = \int_V \left[\frac{k(t)}{2} \left(\left(\frac{\partial t}{\partial x} \right)^2 + \left(\frac{\partial t}{\partial y} \right)^2 + \left(\frac{\partial t}{\partial z} \right)^2 \right) - Qt \right] dV + \int_S \frac{\alpha}{2} (t - t_\infty)^2 dS + \int_S q t dS$$

Symulacja ustalonych procesów cieplnych za pomocą MES. Ogólne zasady.

Zjawiska cieplne zachodzące w stanie ustalonym opisuje równanie Furiera w postaci:

$$\frac{\partial}{\partial x} \left(k_x(t) \frac{\partial t}{\partial x} \right) + \frac{\partial}{\partial y} \left(k_y(t) \frac{\partial t}{\partial y} \right) + \frac{\partial}{\partial z} \left(k_z(t) \frac{\partial t}{\partial z} \right) + Q = 0$$

Zadanie rozwiązania równania Furiera sprowadza się do poszukiwania minimum funkcjonału:

$$J = \int_V \left[\frac{k(t)}{2} \left(\left(\frac{\partial t}{\partial x} \right)^2 + \left(\frac{\partial t}{\partial y} \right)^2 + \left(\frac{\partial t}{\partial z} \right)^2 \right) - Qt \right] dV$$

Wprowadzenie warunków brzegowych:

$$J = \int_V \left[\frac{k(t)}{2} \left(\left(\frac{\partial t}{\partial x} \right)^2 + \left(\frac{\partial t}{\partial y} \right)^2 + \left(\frac{\partial t}{\partial z} \right)^2 \right) - Qt \right] dV + \int_S \frac{\alpha}{2} (t - t_\infty)^2 dS + \int_S q t dS$$

Dyskretyzacja przedstawionego problemu

Dyskretyzacja przedstawionego problemu polega na podzieleniu rozpatrywanej strefy na elementy i przedstawieniu temperatury wewnątrz elementu jako funkcji wartości węzłowych zgodnie z zależnością:

$$t = \sum_{i=1}^n N_i t_i = \{N\}^T \{t\} = [N] \{t\} \quad \frac{\partial t}{\partial x} = \frac{\partial}{\partial x} (\{N\}^T \{t\}) = \left\{ \frac{\partial \{N\}}{\partial x} \right\}^T \{t\}$$

Wprowadzając zależności t i dt/dx do funkcjonału otrzymamy:

$$J = \int_V \left[\frac{k(t)}{2} \left(\left(\left\{ \frac{\partial \{N\}}{\partial x} \right\}^T \{t\} \right)^2 + \left(\left\{ \frac{\partial \{N\}}{\partial y} \right\}^T \{t\} \right)^2 + \left(\left\{ \frac{\partial \{N\}}{\partial z} \right\}^T \{t\} \right)^2 \right) - Q \{N\}^T \{t\} \right] dV + \int_S \frac{\alpha}{2} (\{N\}^T \{t\} - t_\infty)^2 dS + \int_S q \{N\}^T \{t\} dS$$

Minimalizacja funkcjonału

Minimalizacja funkcjonału sprowadza się do obliczenia pochodnych cząstkowych tego funkcjonału względem wartości węzłowych temperatury, że w rezultacie prowadzi do następującego układu równań:

$$\frac{\partial J}{\partial \{t\}} = \int_V \left[k(t) \left(\left\{ \frac{\partial \{N\}}{\partial x} \right\} \left\{ \frac{\partial \{N\}}{\partial x} \right\}^T + \left\{ \frac{\partial \{N\}}{\partial y} \right\} \left\{ \frac{\partial \{N\}}{\partial y} \right\}^T + \left\{ \frac{\partial \{N\}}{\partial z} \right\} \left\{ \frac{\partial \{N\}}{\partial z} \right\}^T \right) \{t\} - Q \{N\} \right] dV + \int_S \alpha (\{N\}^T \{t\} - t_\infty) \{N\} dS + \int_S q \{N\} dS = 0$$

Ten układ równań zapisany w postaci macierzowej ma postać:

$$[H] \{t\} + \{P\} = 0$$

$$[H] = \int_V k(t) \left(\left\{ \frac{\partial \{N\}}{\partial x} \right\} \left\{ \frac{\partial \{N\}}{\partial x} \right\}^T + \left\{ \frac{\partial \{N\}}{\partial y} \right\} \left\{ \frac{\partial \{N\}}{\partial y} \right\}^T + \left\{ \frac{\partial \{N\}}{\partial z} \right\} \left\{ \frac{\partial \{N\}}{\partial z} \right\}^T \right) dV + \int_S \alpha \{N\} \{N\}^T dS,$$

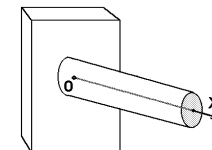
$$\{P\} = - \int_S \alpha \{N\} t_\infty dS - \int_V Q \{N\} dV + \int_S q \{N\} dS$$

Minimalizacja funkcjonału może być również wykonana przez bezpośredni dobór węzłowych wartości temperatury.

Rozwiązanie zadania wyznaczenia temperatury w pręcie w oparciu o otrzymane rozwiązanie ogólne

$$[H] = \int_V k \left\{ \frac{\partial \{N\}}{\partial x} \right\} \left\{ \frac{\partial \{N\}}{\partial x} \right\}^T dV + \int_S \alpha \{N\} \{N\}^T dS$$

$$\{P\} = - \int_S \alpha \{N\} t_\infty dS + \int_S q \{N\} dS$$



$$\{N\} = \begin{Bmatrix} N_i \\ N_j \end{Bmatrix} = \begin{Bmatrix} \frac{x_j - x}{L} \\ \frac{x - x_i}{L} \end{Bmatrix}$$

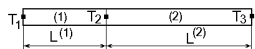
$$[H] = k \begin{Bmatrix} -\frac{1}{L} \\ \frac{1}{L} \end{Bmatrix} \begin{Bmatrix} -\frac{1}{L} & \frac{1}{L} \end{Bmatrix} SL + \alpha \begin{Bmatrix} N_i \\ N_j \end{Bmatrix} \begin{Bmatrix} N_i & N_j \end{Bmatrix} S$$

$$\{N\}^T = \{N_i \quad N_j\} = \left\{ \frac{x_j - x}{L}; \quad \frac{x - x_i}{L} \right\}$$

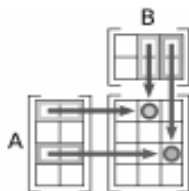
$$\left\{ \frac{\partial \{N\}}{\partial x} \right\} = \begin{Bmatrix} -\frac{1}{L} \\ \frac{1}{L} \end{Bmatrix}$$

$$[H] = \int_V k \begin{Bmatrix} -\frac{1}{L} \\ \frac{1}{L} \end{Bmatrix} \begin{Bmatrix} -\frac{1}{L} & \frac{1}{L} \end{Bmatrix} dV + \int_S \alpha \begin{Bmatrix} \frac{x_j - x}{L} \\ \frac{x - x_i}{L} \end{Bmatrix} \begin{Bmatrix} \frac{x_j - x}{L} & \frac{x - x_i}{L} \end{Bmatrix} dS$$

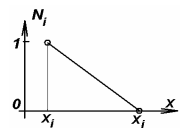
$$\left\{ \frac{\partial \{N\}}{\partial x} \right\}^T = \begin{Bmatrix} -\frac{1}{L} & \frac{1}{L} \end{Bmatrix}$$



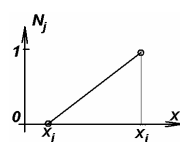
$$[H] = k \begin{Bmatrix} 1 \\ -1 \\ 1 \\ -1 \end{Bmatrix} \frac{1}{L} \begin{Bmatrix} -1 & 1 \\ 1 & -1 \end{Bmatrix} SL + \alpha \begin{Bmatrix} N_i \\ N_j \end{Bmatrix} \begin{Bmatrix} N_i & N_j \end{Bmatrix} S$$



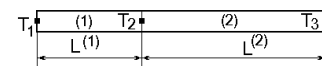
$$[H]^{(1)} = k \begin{bmatrix} 1 & -1 \\ -1 & 1 \end{bmatrix} \frac{1}{L^{(1)2}} \begin{bmatrix} 1 & -1 \\ -1 & 1 \end{bmatrix} SL^{(1)} = \begin{bmatrix} \frac{Sk}{L^{(1)}} & -\frac{Sk}{L^{(1)}} \\ -\frac{Sk}{L^{(1)}} & \frac{Sk}{L^{(1)}} \end{bmatrix}$$



$$[H]^{(2)} = k \begin{bmatrix} 1 & -1 \\ -1 & 1 \end{bmatrix} \frac{1}{L^{(2)2}} \begin{bmatrix} 1 & -1 \\ -1 & 1 \end{bmatrix} SL^{(2)} + \alpha \begin{Bmatrix} N_i N_i & N_i N_j \\ N_j N_j & N_j N_i \end{Bmatrix} S$$



$$[H]^{(2)} = \begin{bmatrix} \frac{Sk}{L^{(2)}} & -\frac{Sk}{L^{(2)}} \\ -\frac{Sk}{L^{(2)}} & \frac{Sk}{L^{(2)}} \end{bmatrix} + \begin{Bmatrix} 0 & 0 \\ 0 & \alpha S \end{Bmatrix} = \begin{bmatrix} \frac{Sk}{L^{(2)}} & -\frac{Sk}{L^{(2)}} \\ -\frac{Sk}{L^{(2)}} & \frac{Sk}{L^{(2)}} + \alpha S \end{bmatrix}$$



$$\{P\} = -\int_S \alpha \{N\} t_\infty dS + \int_S q \{N\} dS$$

$$\{P\} = -\int_S \alpha \begin{Bmatrix} N_i \\ N_j \end{Bmatrix} t_\infty dS + \int_S q \begin{Bmatrix} N_i \\ N_j \end{Bmatrix} dS$$

$$\{N\} = \begin{Bmatrix} N_i \\ N_j \end{Bmatrix} = \begin{Bmatrix} \frac{x_j - x}{L} \\ \frac{x - x_i}{L} \end{Bmatrix} \quad \{N\}^T = \{N_i \quad N_j\} = \left\{ \frac{x_j - x}{L}; \frac{x - x_i}{L} \right\}$$

$$\{P\}^{(1)} = q \begin{Bmatrix} N_i \\ N_j \end{Bmatrix} S = q \begin{Bmatrix} 1 \\ 0 \end{Bmatrix} S = \begin{Bmatrix} qS \\ 0 \end{Bmatrix}$$

$$\{P\}^{(2)} = -\alpha t_\infty S \begin{Bmatrix} N_i \\ N_j \end{Bmatrix} = -\alpha t_\infty S \begin{Bmatrix} 0 \\ 1 \end{Bmatrix} = \begin{Bmatrix} 0 \\ -\alpha t_\infty S \end{Bmatrix}$$

Rozbudowa globalnej macierzy

$$[H] = \sum_{e=1}^{n_e} [H]^{(e)}$$



Przystępując do budowy macierzy sztywności dla całego ośrodka należy w pierwszej kolejności zmienić indeksy elementów macierzy zgodnie z danymi o numerach stopni swobody całego ośrodka. Na przykład, dla elementu numer 2 informacja taka zakodowana jest w macierzy:

	1	2
1	2, 2	2, 3
2	3, 2	4, 4

$$[H] = [H]^{(1)} + [H]^{(2)} = \begin{bmatrix} \frac{Sk}{L^{(1)}} & -\frac{Sk}{L^{(1)}} & 0 \\ -\frac{Sk}{L^{(1)}} & \frac{Sk}{L^{(1)}} & 0 \\ 0 & 0 & 0 \end{bmatrix} + \begin{bmatrix} 0 & 0 & 0 \\ 0 & \frac{Sk}{L^{(2)}} & -\frac{Sk}{L^{(2)}} \\ 0 & -\frac{Sk}{L^{(2)}} & \frac{Sk}{L^{(2)}} + \alpha S \end{bmatrix} =$$

$$= \begin{bmatrix} \frac{Sk}{L^{(1)}} & -\frac{Sk}{L^{(1)}} & 0 \\ -\frac{Sk}{L^{(1)}} & Sk \left(\frac{1}{L^{(1)}} + \frac{1}{L^{(2)}} \right) & -\frac{Sk}{L^{(2)}} \\ 0 & -\frac{Sk}{L^{(2)}} & \frac{Sk}{L^{(2)}} + \alpha S \end{bmatrix}$$

$$\{P\} = \{P\}^{(1)} + \{P\}^{(2)} = \begin{Bmatrix} qS \\ 0 \\ 0 \end{Bmatrix} + \begin{Bmatrix} 0 \\ 0 \\ -\alpha t_\infty S \end{Bmatrix} = \begin{Bmatrix} qS \\ 0 \\ -\alpha t_\infty S \end{Bmatrix}$$



Symulacja niestacjonarnych procesów cieplnych za pomocą MES. Ogólne zasady.

Równanie Furiera dla procesu niestacjonarnego ma postać:

$$\frac{\partial}{\partial x} \left(k_x(t) \frac{\partial t}{\partial x} \right) + \frac{\partial}{\partial y} \left(k_y(t) \frac{\partial t}{\partial y} \right) + \frac{\partial}{\partial z} \left(k_z(t) \frac{\partial t}{\partial z} \right) + \left(Q - c_{eff} \rho \frac{\partial t}{\partial \tau} \right) = 0$$

Q'

W określonej chwili czasu pochodne temperatury mogą być traktowane jako funkcje tylko współrzędnych x, y, z . Wtedy rozwiązanie równania Furiera jest prowadzone analogicznie jak dla procesu stacjonarnego przyjmując całe wyrażenie w nawiasie jako parametr Q' .

$$t = \{N\}^T \{t\}$$

$$Q' = Q - c_{eff} \rho \frac{\partial t}{\partial \tau} = Q - c_{eff} \rho \frac{\partial}{\partial \tau} \{t\} \{N\}^T$$

Matryca układu równań MES:

$$[H] = \int_V k(t) \left(\left\{ \frac{\partial \{N\}}{\partial x} \right\} \left\{ \frac{\partial \{N\}}{\partial x} \right\}^T + \left\{ \frac{\partial \{N\}}{\partial y} \right\} \left\{ \frac{\partial \{N\}}{\partial y} \right\}^T + \left\{ \frac{\partial \{N\}}{\partial z} \right\} \left\{ \frac{\partial \{N\}}{\partial z} \right\}^T \right) dV + \int_S \alpha \{N\} \{N\}^T dS,$$

$$\{P\} = - \int_S \alpha \{N\} t_\infty dS - \int_V Q \{N\} dV + \int_S q \{N\} dS$$

$$Q' = Q - c_{eff} \rho \frac{\partial t}{\partial \tau} = Q - c_{eff} \rho \frac{\partial}{\partial \tau} \{t\} \{N\}^T$$

$$[H] \{t\} + \{P\} = 0$$



$$\begin{aligned} [H] \{t\} + [C] \frac{\partial}{\partial \tau} \{t\} + \{P\} &= 0 \\ [C] &= \int_V \{N\} \rho c_{eff} \{N\}^T dV \end{aligned}$$

Uwzględnienie czasu

W ogólnym przypadku wartości temperatury w węzłach $\{t\}$ zależą od czasu. Przyjmując, że wektor $\{t_0\}$ reprezentuje temperatury węzłowe w chwili $\tau=0$, to w przedziale czasu $\Delta\tau$ wektor ten będzie wyznaczony równaniem:

$$\{t\} = \{N_0, N_1\} \begin{Bmatrix} \{t_0\} \\ \{t_1\} \end{Bmatrix}$$

W tym równaniu $\{N_0\}$ i $\{N_1\}$ są funkcjami kształtu zależnymi od czasu. Przyjmując, że dla małych przedziałów $\Delta\tau$ zależność temperatur węzłowych od czasu jest liniowa, funkcje kształtu przyjmują postać:

$$N_0 = \frac{\Delta\tau - \tau}{\Delta\tau} \quad N_1 = \frac{\tau}{\Delta\tau} \quad \Rightarrow \quad \frac{\partial \{t\}}{\partial \tau} = \left\{ \frac{\partial N_0}{\partial \tau}, \frac{\partial N_1}{\partial \tau} \right\} \begin{Bmatrix} \{t_0\} \\ \{t_1\} \end{Bmatrix} = \frac{1}{\Delta\tau} \{-1, 1\} \begin{Bmatrix} \{t_0\} \\ \{t_1\} \end{Bmatrix}$$

$$[H] \{t\} + [C] \frac{\partial}{\partial \tau} \{t\} + \{P\} = 0 \quad (1)$$

$$\frac{\partial \{t\}}{\partial \tau} = \left\{ \frac{\partial N_0}{\partial \tau}, \frac{\partial N_1}{\partial \tau} \right\} \begin{Bmatrix} \{t_0\} \\ \{t_1\} \end{Bmatrix} = \frac{1}{\Delta\tau} \{-1, 1\} \begin{Bmatrix} \{t_0\} \\ \{t_1\} \end{Bmatrix} = \frac{\{t_1\} - \{t_0\}}{\Delta\tau} \quad (2)$$

Możliwe kilku wariantów rozwiązania układu równań (1) przy interpolacji (2) w zależności od tego, w jakiej chwili czasu będziemy rozpatrywać wektor $\{t\}$ we wzorze (1) przy macierzy $[H]$.

1. Jeżeli przyjmujemy, że $\{t\} = \{t_0\}$, to wzór (1) może być zapisany następująco:

$$[H] \{t_0\} + [C] \frac{\{t_1\} - \{t_0\}}{\Delta\tau} + \{P\} = 0$$

$$\{t_1\} = \{t_0\} - \frac{\Delta\tau}{[C]} ([H] \{t_0\} + \{P\})$$

$$[H] \{t\} + [C] \frac{\partial}{\partial \tau} \{t\} + \{P\} = 0 \quad (1)$$

$$\frac{\partial \{t\}}{\partial \tau} = \left\{ \frac{\partial N_0}{\partial \tau}, \frac{\partial N_1}{\partial \tau} \right\} \begin{Bmatrix} \{t_0\} \\ \{t_1\} \end{Bmatrix} = \frac{1}{\Delta \tau} \{-1, 1\} \begin{Bmatrix} \{t_0\} \\ \{t_1\} \end{Bmatrix} = \frac{\{t_1\} - \{t_0\}}{\Delta \tau} \quad (2)$$

2. Jeżeli przyjmujemy, że $\{t\} = \{t_1\}$, wzór (1) może być zapisany następująco:

$$[H] \{t_1\} + [C] \frac{\{t_1\} - \{t_0\}}{\Delta \tau} + \{P\} = 0$$

Wtedy mamy nie jawny schemat wyznaczenia temperatury $\{t_1\}$:

$$\left([H] + \frac{[C]}{\Delta \tau} \right) \{t_1\} - \left(\frac{[C]}{\Delta \tau} \right) \{t_0\} + \{P\} = 0$$

$$[H] \{t\} + [C] \frac{\partial}{\partial \tau} \{t\} + \{P\} = 0 \quad (1)$$

$$\frac{\partial \{t\}}{\partial \tau} = \left\{ \frac{\partial N_0}{\partial \tau}, \frac{\partial N_1}{\partial \tau} \right\} \begin{Bmatrix} \{t_0\} \\ \{t_1\} \end{Bmatrix} = \frac{1}{\Delta \tau} \{-1, 1\} \begin{Bmatrix} \{t_0\} \\ \{t_1\} \end{Bmatrix} = \frac{\{t_1\} - \{t_0\}}{\Delta \tau} \quad (2)$$

3. Kolejny możliwy schemat traktuje temperaturą $\{t\}$, jaka wchodzi do (5.2), jako średnie między temperaturą w moment $\tau=0$ i w moment $\tau=\Delta\tau$:

$$\{t\} = \frac{1}{2} (\{t_1\} + \{t_0\})$$

$$\{P\}^* = \frac{1}{2} (\{P_1\} + \{P_0\})$$

$$[H] \frac{1}{2} (\{t_1\} + \{t_0\}) + [C] \frac{\{t_1\} - \{t_0\}}{\Delta \tau} + \{P\}^* = 0$$

$$\left(\frac{[H]}{2} + \frac{[C]}{\Delta \tau} \right) \{t_1\} + \left(\frac{[H]}{2} - \frac{[C]}{\Delta \tau} \right) \{t_0\} + \{P\}^* = 0$$

$$\left([H] + \frac{2[C]}{\Delta \tau} \right) \{t_1\} + \left([H] - \frac{2[C]}{\Delta \tau} \right) \{t_0\} + 2\{P\}^* = 0$$

$$[H] \{t\} + [C] \frac{\partial}{\partial \tau} \{t\} + \{P\} = 0 \quad (1)$$

$$\frac{\partial \{t\}}{\partial \tau} = \left\{ \frac{\partial N_0}{\partial \tau}, \frac{\partial N_1}{\partial \tau} \right\} \begin{Bmatrix} \{t_0\} \\ \{t_1\} \end{Bmatrix} = \frac{1}{\Delta \tau} \{-1, 1\} \begin{Bmatrix} \{t_0\} \\ \{t_1\} \end{Bmatrix} = \frac{\{t_1\} - \{t_0\}}{\Delta \tau} \quad (2)$$

4. Uwzględnienie czasu również możliwe jest za pomocą metody ważonych residuum. Ponieważ wektor temperatur $\{t_0\}$ węzłowych jest znany, dla przeprowadzenia całkowania równania (2) względem czasu należy wprowadzić tylko jedną ważoną rezydualną (N_1) zgodnie z zależnością:

$$\int_0^{\Delta \tau} N_1 \left[[H] \{N_0, N_1\} \begin{Bmatrix} \{t_0\} \\ \{t_1\} \end{Bmatrix} + C \left\{ \frac{\partial N_0}{\partial \tau}, \frac{\partial N_1}{\partial \tau} \right\} \begin{Bmatrix} \{t_0\} \\ \{t_1\} \end{Bmatrix} + \{P\} \right] d\tau = 0$$

$$N_0 = \frac{\Delta \tau - \tau}{\Delta \tau} \quad \int_0^{\Delta \tau} \frac{\tau}{\Delta \tau} \left[[H] \{N_0, N_1\} \begin{Bmatrix} \{t_0\} \\ \{t_1\} \end{Bmatrix} + C \left\{ \frac{\partial N_0}{\partial \tau}, \frac{\partial N_1}{\partial \tau} \right\} \begin{Bmatrix} \{t_0\} \\ \{t_1\} \end{Bmatrix} + \{P\} \right] d\tau = 0$$

$$N_1 = \frac{\tau}{\Delta \tau} \quad \int_0^{\Delta \tau} \frac{\tau}{\Delta \tau} \left[[H] \left(\frac{\Delta \tau - \tau}{\Delta \tau} \{t_0\} + \frac{\tau}{\Delta \tau} \{t_1\} \right) + \frac{C}{\Delta \tau} (-\{t_0\} + \{t_1\}) + \{P\} \right] d\tau = 0$$

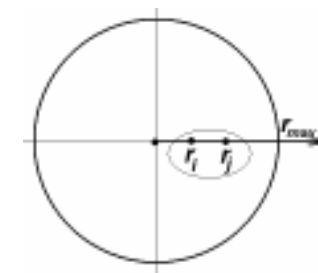
$$\left(2[H] + \frac{3}{\Delta \tau} [C] \right) \{t_1\} + \left([H] - \frac{3}{\Delta \tau} [C] \right) \{t_0\} + 3\{P\} = 0$$

Otrzymane wyrażenie jest układem liniowych równań algebraicznych pozwalających obliczyć wartości temperatur węzłowych $\{t_1\}$ po czasie Δt przy zadanych temperaturach $\{t_0\}$ w chwili $\tau=0$

Zagadnienie wyznaczenia niestabilnego pola temperatury we wsadzie o przekroju okrągłym



Pole temperaturowe we wsadzie o przekroju okrągłym.



Schemat obliczeniowy do wyznaczenia niestabilnego pola temperatury we wsadzie o przekroju okrągłym.

Proces minimalizacji funkcjonału dla jednego elementu

$$J = \int_V k \left(\frac{dt}{dx} \right)^2 dV - \int_V Q t dV + \int_S \frac{1}{2} \alpha (t - t_\infty)^2 dS$$

Temperatura wewnątrz elementów zdefiniowana jest następnym wzorom:

$$t = \{t\} \{N\}^T = N_i t_i + N_j t_j = \frac{r_j - r}{\Delta r} t_i + \frac{r - r_i}{\Delta r} t_j$$

$\{N\}$ – funkcji kształtu węzłów, t_i i t_j – temperatury w węzłach rozpatrywanego elementu.

Wyznamy pochodną temperatury względem r :

$$\frac{\partial t}{\partial r} = \frac{\partial N_i}{\partial r} t_i + \frac{\partial N_j}{\partial r} t_j$$

Rozpatrmy rozwiązanie tego problemu w oparciu o otrzymane ogólne rozwiązanie

$$\left([H] + \frac{[C]}{\Delta \tau} \right) \{t_1\} - \left(\frac{[C]}{\Delta \tau} \right) \{t_0\} + \{P\} = 0$$

$$[H] = \int_V k \left\{ \frac{\partial \{N\}}{\partial x} \right\} \left\{ \frac{\partial \{N\}}{\partial x} \right\}^T dV + \int_S \alpha \{N\} \{N\}^T dS$$

$$\{P\} = - \int_S \alpha \{N\} t_\infty dS$$

$$[C] = \int_V \{N\} \rho c_{eff} \{N\}^T dV$$

$$dV = 2\pi r L dr$$

$$\int_S dS = 2\pi r_{max} L$$

$$\int_{r_i}^{r_j} r dr = \sum_{p=1}^{n_p} r_p w_p \det J = \frac{\Delta r}{2} \sum_{p=1}^{n_p} (r_p w_p)$$

$$\{N\} = \begin{Bmatrix} N_i \\ N_j \end{Bmatrix} = \begin{Bmatrix} \frac{r_j - r}{\Delta r} \\ \frac{r - r_i}{\Delta r} \end{Bmatrix} \quad \{N\}^T = \{N_i \quad N_j\} = \left\{ \frac{r_j - r}{\Delta r} \quad \frac{r - r_i}{\Delta r} \right\}$$

$$\left\{ \frac{\partial \{N\}}{\partial r} \right\} = \begin{Bmatrix} -\frac{1}{\Delta r} \\ \frac{1}{\Delta r} \end{Bmatrix} \quad \left\{ \frac{\partial \{N\}}{\partial r} \right\}^T = \left\{ -\frac{1}{\Delta r} \quad \frac{1}{\Delta r} \right\}$$

$$\begin{aligned} [C] &= \int_V \rho c \{N\} \{N\}^T dV = \int_V 2\pi L \rho c \{N\} \{N\}^T r dr = 2\pi L \rho c \int_V \begin{Bmatrix} N_i \\ N_j \end{Bmatrix} \{N_i \quad N_j\} r dr = \\ &= 2\pi L \rho c \int_V \begin{Bmatrix} N_i N_i & N_i N_j \\ N_i N_j & N_j N_j \end{Bmatrix} r dr = \pi L \rho c \Delta r \sum_{p=1}^{n_p} \left(r_p w_p \begin{Bmatrix} N_i N_i & N_i N_j \\ N_i N_j & N_j N_j \end{Bmatrix} \right) \end{aligned}$$

$$\begin{aligned} [H] &= \int_V k \left\{ \frac{\partial \{N\}}{\partial x} \right\} \left\{ \frac{\partial \{N\}}{\partial x} \right\}^T dV + \int_S \alpha \{N\} \{N\}^T dS = \\ &= \int_V 2\pi L k \begin{Bmatrix} -\frac{1}{\Delta r} \\ \frac{1}{\Delta r} \end{Bmatrix} \left\{ -\frac{1}{\Delta r} \quad \frac{1}{\Delta r} \right\} r dr + 2\pi L \alpha \begin{Bmatrix} N_i N_i & N_i N_j \\ N_i N_j & N_j N_j \end{Bmatrix} r_{max} = \\ &= 2\pi L k \begin{bmatrix} \frac{1}{\Delta r^2} & -\frac{1}{\Delta r^2} \\ -\frac{1}{\Delta r^2} & \frac{1}{\Delta r^2} \end{bmatrix} \int_{r_i}^{r_j} r dr + 2\pi L \alpha \begin{Bmatrix} 0 & 0 \\ 0 & 1 \end{Bmatrix} r_{max} = \\ &= 2\pi L k \begin{bmatrix} \frac{1}{\Delta r^2} & -\frac{1}{\Delta r^2} \\ -\frac{1}{\Delta r^2} & \frac{1}{\Delta r^2} \end{bmatrix} \frac{\Delta r}{2} \sum_{p=1}^{n_p} (r_p w_p) + 2\pi L \alpha \begin{Bmatrix} 0 & 0 \\ 0 & 1 \end{Bmatrix} r_{max} = \\ &= \pi L k \begin{bmatrix} \frac{1}{\Delta r} & -\frac{1}{\Delta r} \\ -\frac{1}{\Delta r} & \frac{1}{\Delta r} \end{bmatrix} \sum_{p=1}^{n_p} (r_p w_p) + 2\pi L \alpha \begin{Bmatrix} 0 & 0 \\ 0 & 1 \end{Bmatrix} r_{max} \end{aligned}$$

Zadania praktyczne

Obliczyć globalną macierz układu równań dla siatki elementów, pokazanej na rys. za pomocą programu TEMP1d.

Założymy:

$$r_{max} = 0.08 \text{ m};$$

$$\Delta r = 0.01 \text{ m};$$

$$\Delta \tau = 50 \text{ s};$$

$$c = 700 \text{ J/(kg}\cdot\text{K)};$$

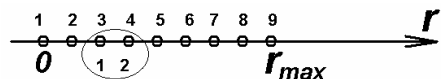
$$\rho = 7800 \text{ kg/m}^3;$$

$$k = 25 \text{ W/mK};$$

$$\alpha = 300 \text{ W/m}^2 \text{ K};$$

$$t_0 = 100 \text{ }^\circ\text{C};$$

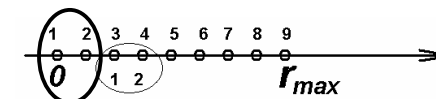
$$t_\infty = 200 \text{ }^\circ\text{C}.$$



Dla pierwszego elementu macierz H równa jest:

	1	2
1	28.64	-21.36
2	-21.36	35.92

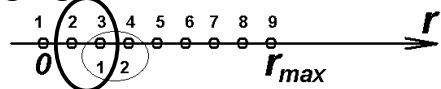
Miejsce komponentów macierzy elementu pierwszego



	1	2	3	4	5	6	7	8	9
1	28.64	-21.36							
2	-21.36	35.92							
3									
4									
5									
6									
7									
8									
9									

	1	2
1	28.64	-21.36
2	-21.36	35.92

Miejsce komponentów macierzy elementu drugiego



	1	2	3	4	5	6	7	8	9
1	28.64	-21.36							
2	-21.36	35.92	-64.08						
3		-64.08	93.20	35.91					
4									
5									
6									
7									
8									
9									

	1	2
1	93.20	-64.08
2	-64.08	35.91

Macierz globalna

	1	2	3	4	5	6	7	8	9
1	28.64	-21.36							
2	-21.36	129.12	-64.08						
3		-64.08	193.68	-106.80					
4			-106.80	387.36	-149.52				
5				-149.52	516.48	-192.24			
6					-192.24	645.60	-234.96		
7						-234.96	774.72	-277.68	
8							-277.68	903.84	-320.40
9								-320.40	583.84

Przykład opracowania oprogramowania i obliczeń

Rozpatrywane w poprzednim rozdziale zadanie przedstawione jest poniżej w postaci oprogramowania TEMP1d, napisanej w języku FORTRAN 90. Program główny służy jedynie do wczytywania danych do obliczeń z pliku DataInpTemp1d.txt. Wczytywane są następujące dane:

Rmin - promień minimalny wsadu, m

Rmax - promień maksymalny wsadu, m

AlfaAir - współczynnik konwekcyjnej wymiany ciepła (W/m² C)

TempBegin - temperatura początkowa, C

TempAir - temperatura środowiska, C

TauMax - czas procesu, s

C - efektywne ciepło właściwe, J/(kgC)

K - współczynnik przewodzenia ciepła, W/(mC)

Ro - gęstość metalu, kg/(m³).

Dane do obliczeń testowych

Dane do obliczeń testowych z pliku DataInpTemp1d.txt przedstawiony są poniżej:

```
*****
0.0      Rmin, m
0.05     Rmax , m
300      AlfaAir, W/m2 K;
100      TempBegin C;
1200     TempAir C;
700      C J/(kg*E);
7800     Ro kg/(m3);
25       K W/(mE);
1800     TauMax s;
*****
```

do ie = 1, ne

```
r(1) = vrtxCoordX(ie);
r(2) = vrtxCoordX(ie+1);
TempTau(1) = vrtxTemp(ie);
TempTau(2) = vrtxTemp(ie+1);
dR = r(2)-r(1);
```

```
Alfa=0;
if (ie==ne) Alfa = AlfaAir;
```

```
H = 0;
P = 0;
```

do ip=1, Np

```
Rp = N1(ip)*r(1) + N2(ip)*r(2);
TpTau = N1(ip)*TempTau(1) + N2(ip)*TempTau(2);
```

! Obliczenie macierzy lokalnej

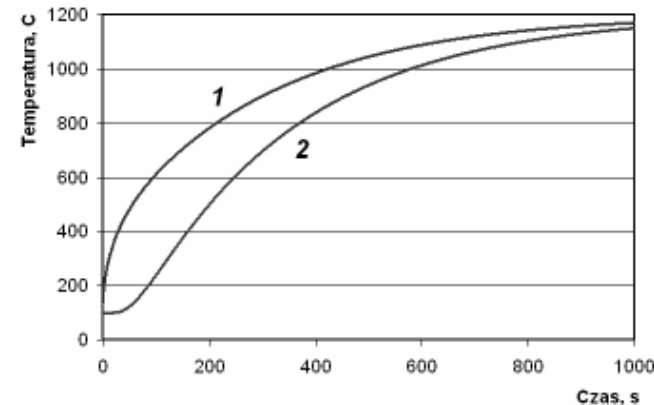
```
H(1,1) = H(1,1) + K*Rp*W(ip)/dR + 2*C*Ro*dR*Rp*W(ip)*N1(ip)**2 /dTau;
H(1,2) = H(1,2) - K*Rp*W(ip)/dR + 2*C*Ro*dR*Rp*W(ip)*N1(ip)*N2(ip)/dTau;
H(2,1) = H(1,2);
H(2,2) = H(2,2) + K*Rp*W(ip)/dR + 2*C*Ro*dR*Rp*W(ip)*N2(ip)**2 /dTau + 2*Alfa*Rmax;
P(1) = P(1) + 2*C*Ro*dR*TpTau*Rp*W(ip)*N1(ip)/dTau;
P(2) = P(2) + 2*C*Ro*dR*TpTau*Rp*W(ip)*N2(ip)/dTau + 2*Alfa*Rmax*TempAir;
end do;
```

```
aD(ie) = aD(ie) + H(1,1);
aD(ie+1) = aD(ie+1) + H(2,2);
aE(ie) = aE(ie) + H(1,2);
aC(ie+1) = aC(ie+1) + H(2,1);
aB(ie) = aB(ie) + P(1);
aB(ie+1) = aB(ie+1) + P(2);
```

end do;

CALL DLSLTR (nh, aC, aD, aE, aB)

Wyniki obliczenia procesu nagrzewania wsadu



Wyniki obliczenia procesu nagrzewania wsadu o przekroju okrągłym,
1 – warstwa powierzchniowa, 2 – punkcie centralnym przekroju wsadu.

Sformułowanie MES w postaci macierzowej

$$J = \int_V \left[\frac{k(t)}{2} \left(\left(\frac{\partial t}{\partial x} \right)^2 + \left(\frac{\partial t}{\partial y} \right)^2 + \left(\frac{\partial t}{\partial z} \right)^2 \right) - Qt \right] dV + \int_S \frac{\alpha}{2} (t - t_\infty)^2 dS + \int_S q t dS$$

$$J = \int_V \left[\frac{1}{2} \left(K_{xx} \left(\frac{\partial t}{\partial x} \right)^2 + K_{yy} \left(\frac{\partial t}{\partial y} \right)^2 + K_{zz} \left(\frac{\partial t}{\partial z} \right)^2 \right) - Qt \right] dV + \int_S \frac{\alpha}{2} (t - t_\infty)^2 dS + \int_S q t dS$$

$$\{g\}^T = \left[\frac{\partial t}{\partial x} \quad \frac{\partial t}{\partial y} \quad \frac{\partial t}{\partial z} \right] \quad Q = Q_{def} - c\rho \frac{\partial t}{\partial \tau}$$

$$D = \begin{bmatrix} K_{xx} & 0 & 0 \\ 0 & K_{yy} & 0 \\ 0 & 0 & K_{zz} \end{bmatrix}$$

$$J = \int_V \frac{1}{2} \{g\}^T [D] \{g\} - 2tQ \} dV + \int_S \frac{\alpha}{2} (t - t_\infty)^2 dS + \int_S q t dS$$

$$J_e = \int_{V_e} \frac{1}{2} \{g_e\}^T [D_e] \{g_e\} - 2t_e Q_e \} dV + \int_{S_e} \frac{\alpha}{2} (t_e - t_\infty)^2 dS + \int_{S_e} q t_e dS \quad J = \sum_{e=1}^{n_e} J_e$$

$$J_e = \int_{V_e} \frac{1}{2} \{g_e\}^T [D_e] \{g_e\} - 2t_e Q_e \} dV + \int_{S_e} \left[\frac{\alpha}{2} t_e^2 - \alpha t_e t_\infty + \frac{\alpha}{2} t_\infty^2 \right] dS + \int_{S_e} q t_e dS$$

$$t_e = [N] \{t\}$$

$$\{g_e\} = \begin{bmatrix} \frac{\partial t_e}{\partial x} \\ \frac{\partial t_e}{\partial y} \\ \frac{\partial t_e}{\partial z} \end{bmatrix} = \begin{bmatrix} \frac{\partial N_1}{\partial x} & \frac{\partial N_2}{\partial x} & \dots & \frac{\partial N_p}{\partial x} \\ \frac{\partial N_1}{\partial y} & \frac{\partial N_2}{\partial y} & \dots & \frac{\partial N_p}{\partial y} \\ \frac{\partial N_1}{\partial z} & \frac{\partial N_2}{\partial z} & \dots & \frac{\partial N_p}{\partial z} \end{bmatrix} \begin{bmatrix} t_1 \\ t_2 \\ \vdots \\ t_p \end{bmatrix} \quad [B_e] = \begin{bmatrix} \frac{\partial N_1}{\partial x} & \frac{\partial N_2}{\partial x} & \dots & \frac{\partial N_p}{\partial x} \\ \frac{\partial N_1}{\partial y} & \frac{\partial N_2}{\partial y} & \dots & \frac{\partial N_p}{\partial y} \\ \frac{\partial N_1}{\partial z} & \frac{\partial N_2}{\partial z} & \dots & \frac{\partial N_p}{\partial z} \end{bmatrix} = \begin{bmatrix} \frac{\partial [N]}{\partial x} \\ \frac{\partial [N]}{\partial y} \\ \frac{\partial [N]}{\partial z} \end{bmatrix} \quad \{t\} = \begin{bmatrix} t_1 \\ t_2 \\ \vdots \\ t_p \end{bmatrix}$$

$$\{g_e\} = [B_e] \{t\}$$

$$J_e = \int_{V_e} \frac{1}{2} \{t\}^T [B_e]^T [D_e] [B_e] \{t\} dV - \int_{V_e} Q [N] \{t\} dV + \int_{S_e} q [N] \{t\} dS + \int_{S_e} \frac{\alpha}{2} [N]^T \{t\}^T [N] \{t\} dS - \int_{S_e} \alpha \varphi_\infty [N] \{t\} dS + \int_{S_e} \frac{\alpha}{2} t_\infty^2 dS$$

$$\frac{\partial}{\partial \{t\}} \left(\int_{V_e} \frac{1}{2} \{t\}^T [B_e]^T [D_e] [B_e] \{t\} dV \right) = \int_{V_e} [B_e]^T [D_e] [B_e] \{t\} dV$$

$$\frac{\partial}{\partial \{t\}} \left(\int_{V_e} Q [N] \{t\} dV \right) = \int_{V_e} Q [N]^T dV$$

$$\frac{\partial}{\partial \{t\}} \left(\int_{S_e} q [N] \{t\} dS \right) = \int_{S_e} q [N]^T dS$$

$$\frac{\partial}{\partial \{t\}} \left(\int_{S_e} \frac{\alpha}{2} \{t\}^T [N]^T [N] \{t\} dS \right) = \int_{S_e} \alpha [N]^T [N] \{t\} dS$$

$$\frac{\partial}{\partial \{t\}} \left(\int_{S_e} \alpha \varphi_\infty [N] \{t\} dS \right) = \int_{S_e} \alpha t_\infty [N]^T dS$$

$$\frac{\partial}{\partial \{t\}} \left(\int_{S_e} \frac{\alpha}{2} t_\infty^2 dS \right) = 0$$

$$\frac{\partial J_e}{\partial \{t\}} = \left\{ t \right\} \left(\int_{V_e} [B_e]^T [D_e] [B_e] dV + \int_{S_e} \alpha [N]^T [N] dS \right) - \int_{V_e} Q [N]^T dV + \int_{S_e} q [N]^T dS - \int_{S_e} \alpha \varphi_\infty [N]^T dS = 0$$

$$\frac{\partial J_e}{\partial \{t\}} = [H_e] \{t\} + \{F_e\} = 0$$

$$[D_e] = \begin{bmatrix} K_{xx} & 0 & 0 \\ 0 & K_{yy} & 0 \\ 0 & 0 & K_{zz} \end{bmatrix}$$

$$[H_e] = \int_{V_e} [B_e]^T [D_e] [B_e] dV + \int_{S_e} \alpha [N]^T [N] dS$$

$$\{F_e\} = - \int_{V_e} Q [N]^T dV + \int_{S_e} q [N]^T dS - \int_{S_e} \alpha \varphi_\infty [N]^T dS$$

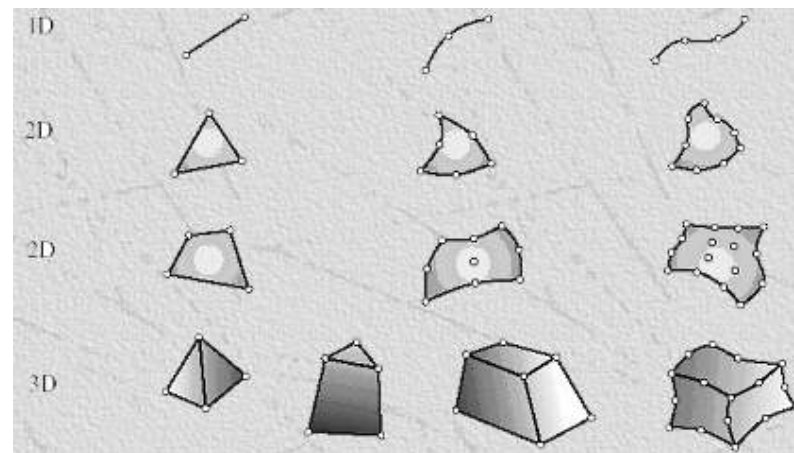
$$[B_e] = \begin{bmatrix} \frac{\partial N_1}{\partial x} & \frac{\partial N_2}{\partial x} & \dots & \frac{\partial N_p}{\partial x} \\ \frac{\partial N_1}{\partial y} & \frac{\partial N_2}{\partial y} & \dots & \frac{\partial N_p}{\partial y} \\ \frac{\partial N_1}{\partial z} & \frac{\partial N_2}{\partial z} & \dots & \frac{\partial N_p}{\partial z} \end{bmatrix} = \begin{bmatrix} \frac{\partial [N]}{\partial x} \\ \frac{\partial [N]}{\partial y} \\ \frac{\partial [N]}{\partial z} \end{bmatrix}$$

$$\frac{\partial J}{\partial \{t\}} = \sum_{e=1}^{n_e} ([H_e] \{t\} + \{F_e\}) = 0$$

$$[H] \{t\} + \{F\} = 0$$

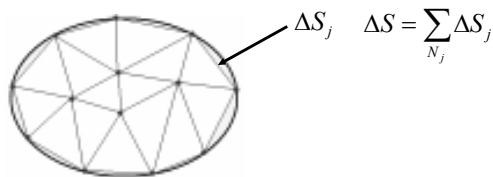
Elementy wyższego stopnia

Typy elementów skończonych



Motywacja

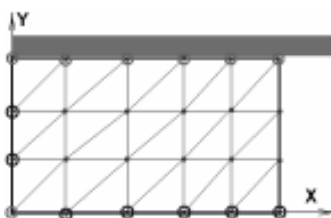
1. Błąd aproksymacji



2. Błąd różniczkowana

$$\sigma_x = \sigma + \frac{2\sigma_i}{3\hat{\epsilon}_i} \hat{\epsilon}_x; \quad \hat{\epsilon}_x = \frac{\partial v_x}{\partial x}$$

3. Locking

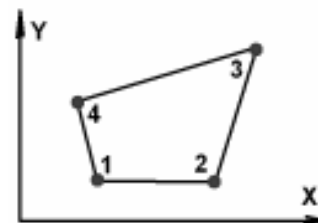


$$\text{DOF} = 2 \cdot 10 + 7 = 27$$

$$\text{Ncond} = \text{ne} = 30$$

$$\text{DOF} < \text{Ncond}$$

Element czworokąty



$$\varphi = \alpha_1 + \alpha_2 x + \alpha_3 y + \alpha_4 xy$$

$$\varphi_1 = \alpha_1 + \alpha_2 x_1 + \alpha_3 y_1 + \alpha_4 x_1 y_1$$

$$\varphi_2 = \alpha_1 + \alpha_2 x_2 + \alpha_3 y_2 + \alpha_4 x_2 y_2$$

$$\varphi_3 = \alpha_1 + \alpha_2 x_3 + \alpha_3 y_3 + \alpha_4 x_3 y_3$$

$$\varphi_4 = \alpha_1 + \alpha_2 x_4 + \alpha_3 y_4 + \alpha_4 x_4 y_4$$

$$\frac{\partial \varphi}{\partial x} \neq \text{const}$$

$$\frac{\partial \varphi}{\partial y} \neq \text{const}$$

Funkcje kształtu ?

$$\varphi = N_1 \varphi_1 + N_2 \varphi_2 + N_3 \varphi_3 + N_4 \varphi_4$$

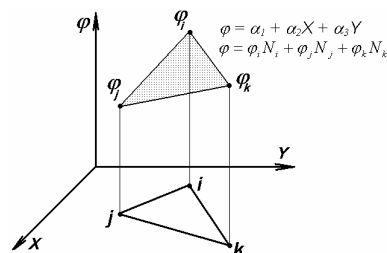
Funkcje kształtu:

$$\varphi = \alpha_1 + \alpha_2 X + \alpha_3 Y$$

przy $X=X_i, Y=Y_i, \varphi = \varphi_i \Rightarrow \varphi_i = \alpha_1 + \alpha_2 X_i + \alpha_3 Y_i$;

przy $X=X_j, Y=Y_j, \varphi = \varphi_j \Rightarrow \varphi_j = \alpha_1 + \alpha_2 X_j + \alpha_3 Y_j$;

przy $X=X_k, Y=Y_k, \varphi = \varphi_k \Rightarrow \varphi_k = \alpha_1 + \alpha_2 X_k + \alpha_3 Y_k$;



$$2A = \begin{vmatrix} 1 & X_i & Y_i \\ 1 & X_j & Y_j \\ 1 & X_k & Y_k \end{vmatrix}$$

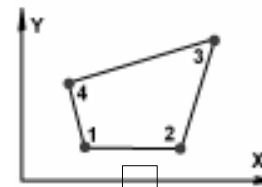
$$= X_j Y_k + X_i Y_j + X_k Y_i - X_j Y_i - X_k Y_j - X_i Y_k$$

$$\alpha_1 = \frac{1}{2A} [(X_j Y_k - X_k Y_j) \varphi_i + (X_k Y_i - X_i Y_k) \varphi_j + (X_i Y_j - X_j Y_i) \varphi_k]$$

$$\alpha_2 = \frac{1}{2A} [(Y_j - Y_k) \varphi_i + (Y_k - Y_i) \varphi_j + (Y_i - Y_j) \varphi_k]$$

$$\alpha_3 = \frac{1}{2A} [(X_k - X_j) \varphi_i + (X_i - X_k) \varphi_j + (X_j - X_i) \varphi_k]$$

Element prostokątny



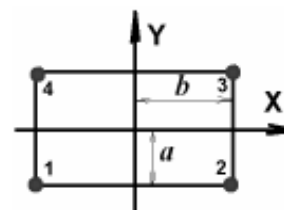
$$\varphi = \alpha_1 + \alpha_2 x + \alpha_3 y + \alpha_4 xy$$

$$\alpha_1 = \frac{\varphi_1 + \varphi_2 + \varphi_3 + \varphi_4}{4}$$

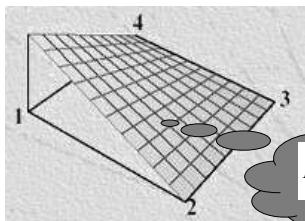
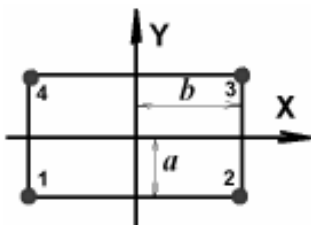
$$\alpha_2 = \frac{-\varphi_1 + \varphi_2 + \varphi_3 - \varphi_4}{4b}$$

$$\alpha_3 = \frac{-\varphi_1 - \varphi_2 + \varphi_3 + \varphi_4}{4a}$$

$$\alpha_4 = \frac{\varphi_1 - \varphi_2 + \varphi_3 - \varphi_4}{4ab}$$



Funkcje kształtu



$$N_1 = \frac{1}{4ab}(b-x)(a-y)$$

$$\varphi = \alpha_1 + \alpha_2x + \alpha_3y + \alpha_4xy$$

$$\varphi = N_1\varphi_1 + N_2\varphi_2 + N_3\varphi_3 + N_4\varphi_4$$

$$N_1 = \frac{1}{4ab}(b-x)(a-y)$$

$$N_2 = \frac{1}{4ab}(b+x)(a-y)$$

$$N_3 = \frac{1}{4ab}(b+x)(a+y)$$

$$N_4 = \frac{1}{4ab}(b-x)(a+y)$$

Funkcje kształtu

$$N_1 = \frac{1}{4ab}(b-x)(a-y) = \frac{1}{4}\left(1-\frac{x}{b}\right)\left(1-\frac{y}{a}\right) = \frac{1}{4}(1-\xi)(1-\eta)$$

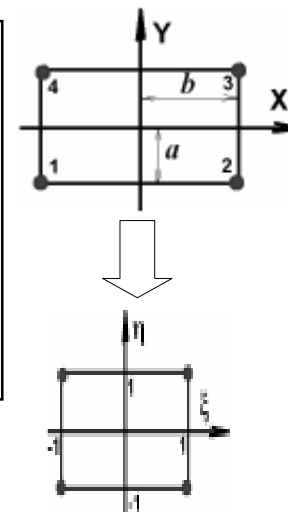
$$N_2 = \frac{1}{4ab}(b+x)(a-y) = \frac{1}{4}\left(1+\frac{x}{b}\right)\left(1-\frac{y}{a}\right) = \frac{1}{4}(1+\xi)(1-\eta)$$

$$N_3 = \frac{1}{4ab}(b+x)(a+y) = \frac{1}{4}\left(1+\frac{x}{b}\right)\left(1+\frac{y}{a}\right) = \frac{1}{4}(1+\xi)(1+\eta)$$

$$N_4 = \frac{1}{4ab}(b-x)(a+y) = \frac{1}{4}\left(1-\frac{x}{b}\right)\left(1+\frac{y}{a}\right) = \frac{1}{4}(1-\xi)(1+\eta)$$

$$\xi = \frac{x}{b} \quad \eta = \frac{y}{a}$$

$$x = b\xi \quad y = a\eta$$

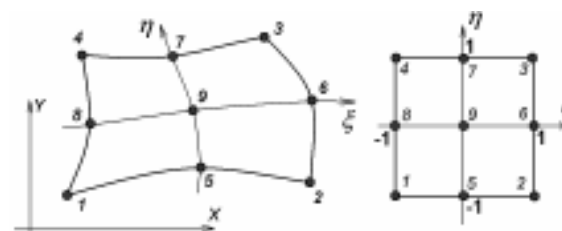


Typy elementów skończonych (2-go stopnia)



$$N_1(\xi) = -\frac{1}{2}\xi(1-\xi) \quad N_2(\xi) = \frac{1}{2}\xi(1+\xi) \quad N_3(\xi) = 1-\xi^2$$

Typy elementów skończonych (2-go stopnia)



$$N_1 = \frac{1}{4}(1-\xi)(1-\eta)\xi\eta$$

$$N_2 = -\frac{1}{4}(1+\xi)(1-\eta)\xi\eta$$

$$N_3 = \frac{1}{4}(1+\xi)(1+\eta)\xi\eta$$

$$N_4 = -\frac{1}{4}(1-\xi)(1+\eta)\xi\eta$$

$$N_5 = -\frac{1}{2}(1-\xi^2)(1-\eta)$$

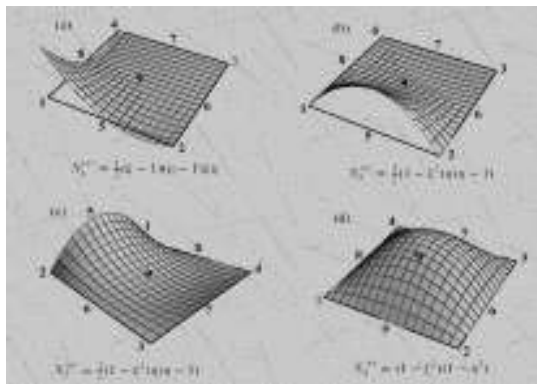
$$N_6 = \frac{1}{2}(1+\xi)(1-\eta^2)\xi$$

$$N_7 = \frac{1}{2}(1-\xi^2)(1+\eta)$$

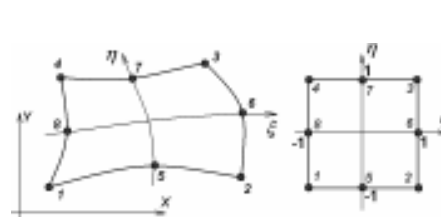
$$N_8 = -\frac{1}{2}(1-\xi)(1-\eta^2)\xi$$

$$N_9 = (1-\xi^2)(1-\eta^2)$$

Typy elementów skończonych (2-go stopnia)



Typy elementów skończonych (2-go stopnia)



$$N_1 = -\frac{1}{4}(1 - \xi)(1 - \eta)(\xi + \eta + 1)$$

$$N_2 = \frac{1}{2}(1 - \xi^2)(1 - \eta)$$

$$N_3 = \frac{1}{4}(1 + \xi)(1 - \eta)(\xi - \eta - 1)$$

$$N_4 = \frac{1}{2}(1 - \eta^2)(1 + \xi)$$

$$N_5 = \frac{1}{4}(1 + \xi)(1 + \eta)(\xi + \eta - 1)$$

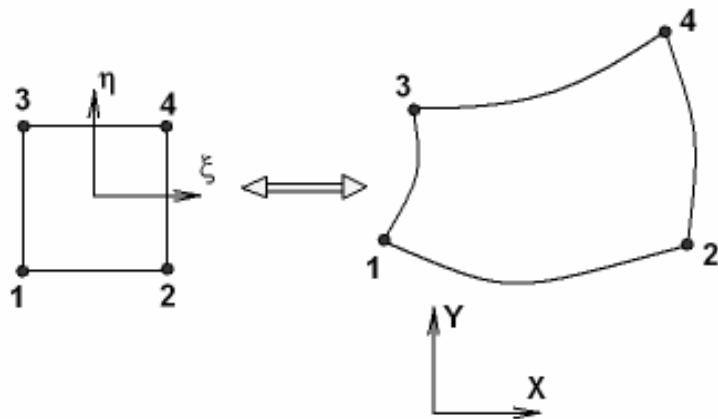
$$N_6 = \frac{1}{2}(1 - \xi^2)(1 + \eta)$$

$$N_7 = -\frac{1}{4}(1 - \xi)(1 + \eta)(\xi - \eta + 1)$$

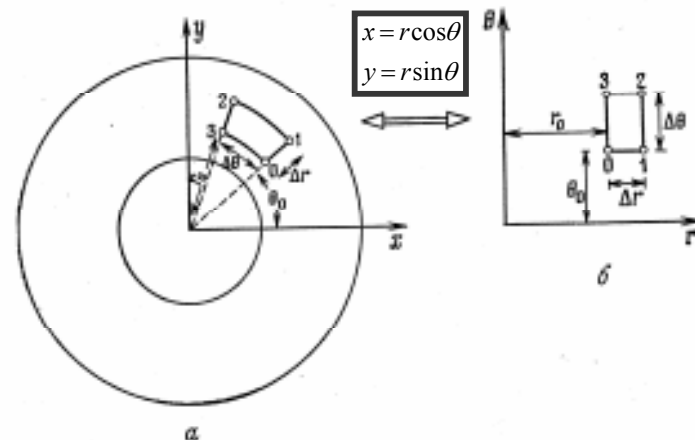
$$N_8 = \frac{1}{2}(1 - \eta^2)(1 - \xi)$$

Przekształcenie izoparametriczne

Odbicie (przekształcenie)



Formuły przekształcenia :

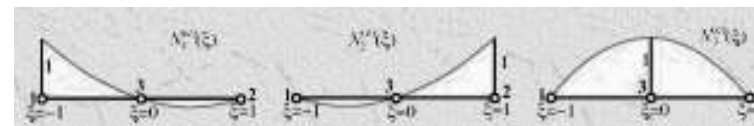


Matryca Jakobiego



$$X = X(\xi) \quad \xi = \xi(x)$$

$$J = \left| \frac{dX(\xi)}{d\xi} \right| \quad J = \begin{vmatrix} \frac{\partial X(\xi, \eta)}{\partial \xi} & \frac{\partial Y(\xi, \eta)}{\partial \xi} \\ \frac{\partial X(\xi, \eta)}{\partial \eta} & \frac{\partial Y(\xi, \eta)}{\partial \eta} \end{vmatrix} \quad J = \begin{vmatrix} \frac{\partial X(\xi, \eta, \zeta)}{\partial \xi} & \frac{\partial Y(\xi, \eta, \zeta)}{\partial \xi} & \frac{\partial Z(\xi, \eta, \zeta)}{\partial \xi} \\ \frac{\partial X(\xi, \eta, \zeta)}{\partial \eta} & \frac{\partial Y(\xi, \eta, \zeta)}{\partial \eta} & \frac{\partial Z(\xi, \eta, \zeta)}{\partial \eta} \\ \frac{\partial X(\xi, \eta, \zeta)}{\partial \zeta} & \frac{\partial Y(\xi, \eta, \zeta)}{\partial \zeta} & \frac{\partial Z(\xi, \eta, \zeta)}{\partial \zeta} \end{vmatrix}$$



$$N_1(\xi) = -\frac{1}{2}\xi(1-\xi) \quad N_2(\xi) = \frac{1}{2}\xi(1+\xi) \quad N_3(\xi) = 1 - \xi^2$$

$$x = x(\xi) = N_1 X_1 + N_2 X_2 + N_3 X_3 \quad \frac{\partial N_i}{\partial x} = ?$$

$$\frac{dN_i}{d\xi} = \frac{dN_i}{dx} \frac{dx(\xi)}{d\xi} \quad \frac{dN_i}{dx} = \frac{1}{\frac{dx(\xi)}{d\xi}} \frac{dN_i(\xi)}{d\xi}$$

$$[J] = \frac{dx}{d\xi} = \frac{dN_1}{d\xi} X_1 + \frac{dN_2}{d\xi} X_2 + \frac{dN_3}{d\xi} X_3$$

$$\frac{dN_i}{dx} = [J]^{-1} \frac{dN_i}{d\xi}$$

Obliczenie pochodnych

$$\begin{Bmatrix} \frac{\partial N_i}{\partial \xi} \\ \frac{\partial N_i}{\partial \eta} \end{Bmatrix} = J \begin{Bmatrix} \frac{\partial N_i}{\partial x} \\ \frac{\partial N_i}{\partial y} \end{Bmatrix} \quad \frac{\partial N_i}{\partial \xi} = \frac{\partial N_i}{\partial x} \frac{\partial x}{\partial \xi} + \frac{\partial N_i}{\partial y} \frac{\partial y}{\partial \xi}$$

$$\begin{Bmatrix} \frac{\partial N_i}{\partial x} \\ \frac{\partial N_i}{\partial y} \end{Bmatrix} = J^{-1} \begin{Bmatrix} \frac{\partial N_i}{\partial \xi} \\ \frac{\partial N_i}{\partial \eta} \end{Bmatrix} \quad \frac{\partial N_i}{\partial \eta} = \frac{\partial N_i}{\partial x} \frac{\partial x}{\partial \eta} + \frac{\partial N_i}{\partial y} \frac{\partial y}{\partial \eta}$$

$$\int_S dx dy = \int_{-1}^1 \int_{-1}^1 \det J d\xi d\eta \quad J = \begin{bmatrix} \frac{\partial x}{\partial \xi} & \frac{\partial y}{\partial \xi} \\ \frac{\partial x}{\partial \eta} & \frac{\partial y}{\partial \eta} \end{bmatrix} \quad J^{-1} = \frac{1}{\det J} \begin{bmatrix} \frac{\partial y}{\partial \eta} & -\frac{\partial y}{\partial \xi} \\ -\frac{\partial x}{\partial \eta} & \frac{\partial x}{\partial \xi} \end{bmatrix}$$

$$V = \int_V dXdYdZ = \int_{-1}^1 \int_{-1}^1 \int_{-1}^1 \det[J] d\xi d\eta d\zeta$$

Obliczenie całek

$$\int_S dx dy = \int_{-1}^1 \int_{-1}^1 \det J d\xi d\eta$$

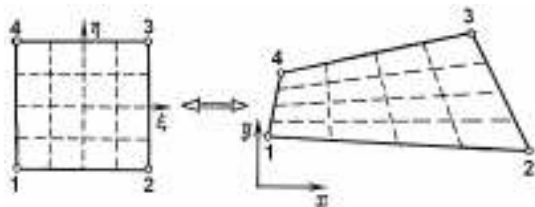
$$V = \int_V dXdYdZ = \int_{-1}^1 \int_{-1}^1 \int_{-1}^1 \det[J] d\xi d\eta d\zeta$$

Całkowanie funkcji $f(X,Y)$ można wykonać za pomocą następującej zasady:

$$\int_S f(X,Y) dx dy = \int_{-1}^1 \int_{-1}^1 f(X(\xi,\eta), Y(\xi,\eta)) \det[J] d\xi d\eta$$

$$\int_S \frac{\partial N_i}{\partial X} \frac{\partial N_j}{\partial X} dx dy = \int_{-1}^1 \int_{-1}^1 \frac{\partial N_i}{\partial \xi} \frac{\partial N_j}{\partial \xi} \det[J] d\xi d\eta$$

Przekształcenie izoparametryczne



$$N_1 = \frac{1}{4}(1-\xi)(1-\eta)$$

$$N_2 = \frac{1}{4}(1+\xi)(1-\eta)$$

$$N_3 = \frac{1}{4}(1+\xi)(1+\eta)$$

$$N_4 = \frac{1}{4}(1-\xi)(1+\eta)$$

$$x = \sum_{i=1}^{N_{nodes}} N_i x_i = N_1 x_1 + N_2 x_2 + N_3 x_3 + N_4 x_4$$

$$y = \sum_{i=1}^{N_{nodes}} N_i y_i = N_1 y_1 + N_2 y_2 + N_3 y_3 + N_4 y_4$$

Zadanie

$$X_1 = 1 \text{ mm}$$

$$Y_1 = 1 \text{ mm}$$

$$X_2 = 3 \text{ mm}$$

$$Y_2 = 1 \text{ mm}$$

$$X_3 = 4 \text{ mm}$$

$$Y_3 = 4 \text{ mm}$$

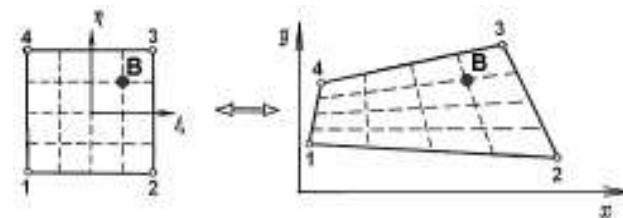
$$X_4 = 0.5 \text{ mm}$$

$$Y_4 = 4 \text{ mm}$$

$$\xi_B = 0.5$$

$$\eta_B = 0.5$$

$$X_B, Y_B = ?$$



$$N_1 = \frac{1}{4}(1-\xi)(1-\eta) = \frac{1}{16}$$

$$N_2 = \frac{1}{4}(1+\xi)(1-\eta) = \frac{1}{4}(1+0.5)(1-0.5) = \frac{3}{16}$$

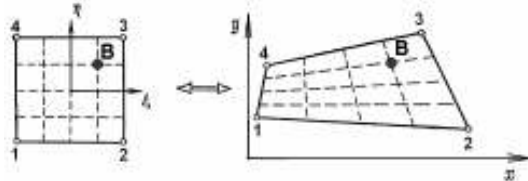
$$N_3 = \frac{1}{4}(1+\xi)(1+\eta) = \frac{1}{4}(1+0.5)(1+0.5) = \frac{9}{16}$$

$$N_4 = \frac{1}{4}(1-\xi)(1+\eta) = \frac{1}{4}(1-0.5)(1+0.5) = \frac{3}{16}$$

$$N_1 + N_2 + N_3 + N_4 = \frac{1}{16} + \frac{3}{16} + \frac{9}{16} + \frac{3}{16} = 1$$

$$x_B = \sum_{i=1}^{N_{nodes}} N_i x_i = N_1 x_1 + N_2 x_2 + N_3 x_3 + N_4 x_4 = \frac{1}{16} \cdot 1 + \frac{3}{16} \cdot 3 + \frac{9}{16} \cdot 4 + \frac{3}{16} \cdot 0.5 = 2.59375$$

$$y_B = \sum_{i=1}^{N_{nodes}} N_i y_i = N_1 y_1 + N_2 y_2 + N_3 y_3 + N_4 y_4 = \frac{1}{16} \cdot 1 + \frac{3}{16} \cdot 1 + \frac{9}{16} \cdot 4 + \frac{3}{16} \cdot 4 = 3.25$$



Zadanie

Określić wartość naprężenia w zadanym punkcie B

$\sigma_1 = 40 \text{ MPa}$
 $X_1 = 1 \text{ mm}$
 $Y_1 = 1 \text{ mm}$

$\sigma_2 = 34 \text{ MPa}$
 $X_2 = 3 \text{ mm}$
 $Y_2 = 1 \text{ mm}$

$\sigma_3 = 46 \text{ MPa}$
 $X_3 = 4 \text{ mm}$
 $Y_3 = 4 \text{ mm}$

$\sigma_4 = 32 \text{ MPa}$
 $X_4 = 0.5 \text{ mm}$
 $Y_4 = 4 \text{ mm}$

$\xi_B = 0.5$
 $\eta_B = 0.5$

$\sigma_B, X_B, Y_B = ?$

$$N_1 = \frac{1}{4}(1-\xi)(1-\eta) = \frac{1}{16}$$

$$N_2 = \frac{1}{4}(1+\xi)(1-\eta) = \frac{1}{4}(1+0.5)(1-0.5) = \frac{3}{16}$$

$$N_3 = \frac{1}{4}(1+\xi)(1+\eta) = \frac{1}{4}(1+0.5)(1+0.5) = \frac{9}{16}$$

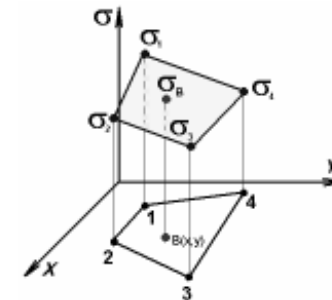
$$N_4 = \frac{1}{4}(1-\xi)(1+\eta) = \frac{1}{4}(1-0.5)(1+0.5) = \frac{3}{16}$$

$$\sigma_B = \sigma_1 N_1 + \sigma_2 N_2 + \sigma_3 N_3 + \sigma_4 N_4 =$$

$$40 \frac{1}{16} + 34 \frac{3}{16} + 46 \frac{9}{16} + 32 \frac{3}{16} = 40.75$$

$$x_B = \sum_{i=1}^{N_{nodes}} N_i x_i = N_1 x_1 + N_2 x_2 + N_3 x_3 + N_4 x_4 = \frac{1}{16} \cdot 1 + \frac{3}{16} \cdot 3 + \frac{9}{16} \cdot 4 + \frac{3}{16} \cdot 0.5 = 2.59375$$

$$y_B = \sum_{i=1}^{N_{nodes}} N_i y_i = N_1 y_1 + N_2 y_2 + N_3 y_3 + N_4 y_4 = \frac{1}{16} \cdot 1 + \frac{3}{16} \cdot 1 + \frac{9}{16} \cdot 4 + \frac{3}{16} \cdot 4 = 3.25$$



Zadanie

Określić wartość naprężenia w zadanym punkcie B

$\sigma_1 = 40 \text{ MPa}$
 $X_1 = 1 \text{ mm}$
 $Y_1 = 1 \text{ mm}$

$\sigma_2 = 34 \text{ MPa}$
 $X_2 = 3 \text{ mm}$
 $Y_2 = 1 \text{ mm}$

$\sigma_3 = 46 \text{ MPa}$
 $X_3 = 4 \text{ mm}$
 $Y_3 = 4 \text{ mm}$

$\sigma_4 = 32 \text{ MPa}$
 $X_4 = 0.5 \text{ mm}$
 $Y_4 = 4 \text{ mm}$

$X_B = 2.5$
 $Y_B = 3.25$

$\sigma_B, \xi_B, \eta_B = ?$

$$\sigma_B = \sigma_1 N_1 + \sigma_2 N_2 + \sigma_3 N_3 + \sigma_4 N_4$$

$$N_1 = \frac{1}{4}(1-\xi)(1-\eta)$$

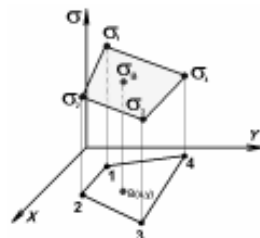
$$N_2 = \frac{1}{4}(1+\xi)(1-\eta)$$

$$N_3 = \frac{1}{4}(1+\xi)(1+\eta)$$

$$N_4 = \frac{1}{4}(1-\xi)(1+\eta)$$

$$x_B = \sum_{i=1}^{N_{nodes}} N_i x_i = N_1 x_1 + N_2 x_2 + N_3 x_3 + N_4 x_4 = 2.5$$

$$y_B = \sum_{i=1}^{N_{nodes}} N_i y_i = N_1 y_1 + N_2 y_2 + N_3 y_3 + N_4 y_4 = 3.25$$



$$x_B = \sum_{i=1}^{N_{nodes}} N_i x_i = N_1 x_1 + N_2 x_2 + N_3 x_3 + N_4 x_4 = \frac{1}{4}(1-\xi_B)(1-\eta_B)x_1 + \frac{1}{4}(1+\xi_B)(1-\eta_B)x_2 + \frac{1}{4}(1+\xi_B)(1+\eta_B)x_3 + \frac{1}{4}(1-\xi_B)(1+\eta_B)x_4 =$$

$$= \frac{1}{4}[x_1 + x_2 + x_3 + x_4 + \eta_B(-x_1 - x_2 + x_3 + x_4) + \xi_B(-x_1 + x_2 + x_3 - x_4) + \xi_B \eta_B(x_1 - x_2 + x_3 - x_4)]$$

$$y_B = \sum_{i=1}^{N_{nodes}} N_i y_i = N_1 y_1 + N_2 y_2 + N_3 y_3 + N_4 y_4 = \frac{1}{4}(1-\xi_B)(1-\eta_B)y_1 + \frac{1}{4}(1+\xi_B)(1-\eta_B)y_2 + \frac{1}{4}(1+\xi_B)(1+\eta_B)y_3 + \frac{1}{4}(1-\xi_B)(1+\eta_B)y_4 =$$

$$= \frac{1}{4}[y_1 + y_2 + y_3 + y_4 + \eta_B(-y_1 - y_2 + y_3 + y_4) + \xi_B(-y_1 + y_2 + y_3 - y_4) + \xi_B \eta_B(y_1 - y_2 + y_3 - y_4)]$$

$$2.5 = \frac{1}{4}[1+3+4+0.5+\eta_B(-1-3+4+0.5) + \xi_B(-1+3+4-0.5) + \xi_B \eta_B(1-3+4-0.5)] = \frac{1}{4}[8.5 + \eta_B(0.5) + \xi_B(5.5) + \xi_B \eta_B(1.5)]$$

$$3.25 = \frac{1}{4}[1+1+4+4+\eta_B(-1-1+4+4) + \xi_B(-1+1+4-4) + \xi_B \eta_B(1-1+4-4)] = \frac{1}{4}[10 + 6\eta_B + 0\xi_B + 0\xi_B \eta_B]$$

$$3.25 = \frac{1}{4}[1+1+4+4+\eta_B(-1-1+4+4)+\xi_B(-1+1+4-4)+\xi_B\eta_B(1-1+4-4)] = \frac{1}{4}[10+6\eta_B+0\xi_B+0\xi_B\eta_B]$$

$$\eta_B = \frac{4 \cdot 3.25 - 10}{6} = 0.5$$

$$2.5 = \frac{1}{4}[1+3+4+0.5+\eta_B(-1-3+4+0.5)+\xi_B(-1+3+4-0.5)+\xi_B\eta_B(1-3+4-0.5)] = \frac{1}{4}[8.5+\eta_B(0.5)+\xi_B(5.5)+\xi_B\eta_B(1.5)]$$

$$2.5 = \frac{1}{4}[8.5+0.25+\xi_B \cdot 2.75+\xi_B \cdot 0.75]$$

$$\xi_B = \frac{4 \cdot 2.5 - 8.75}{3.5} = 0.357$$

$$\sigma_B = \sigma_1 N_1 + \sigma_2 N_2 + \sigma_3 N_3 + \sigma_4 N_4$$

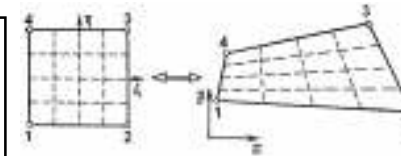
Określić pole elementu

$$X_1 = 1 \text{ mm} \\ Y_1 = 1 \text{ mm}$$

$$X_2 = 3 \text{ mm} \\ Y_2 = 1 \text{ mm}$$

$$X_3 = 4 \text{ mm} \\ Y_3 = 4 \text{ mm}$$

$$X_4 = 0.5 \text{ mm} \\ Y_4 = 4 \text{ mm}$$



$$S = \int_S dx dy = \int_{-1}^1 \int_{-1}^1 \det J d\xi d\eta$$

$$J = \begin{bmatrix} \frac{\partial x}{\partial \xi} & \frac{\partial y}{\partial \xi} \\ \frac{\partial x}{\partial \eta} & \frac{\partial y}{\partial \eta} \end{bmatrix}$$

$$N_1 = \frac{1}{4}(1-\xi)(1-\eta)$$

$$N_2 = \frac{1}{4}(1+\xi)(1-\eta)$$

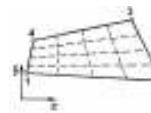
$$N_3 = \frac{1}{4}(1+\xi)(1+\eta)$$

$$N_4 = \frac{1}{4}(1-\xi)(1+\eta)$$

$$x = \sum_{i=1}^{N_{nodes}} N_i x_i$$

$$y = \sum_{i=1}^{N_{nodes}} N_i y_i$$

$$\det J = \frac{\partial x}{\partial \xi} \frac{\partial y}{\partial \eta} - \frac{\partial y}{\partial \xi} \frac{\partial x}{\partial \eta}$$



Określić pole elementu

$$\det J = \frac{\partial x}{\partial \xi} \frac{\partial y}{\partial \eta} - \frac{\partial y}{\partial \xi} \frac{\partial x}{\partial \eta} \quad x = \sum_{i=1}^{N_{nodes}} N_i x_i = N_1 x_1 + N_2 x_2 + N_3 x_3 + N_4 x_4$$

$$\frac{\partial x}{\partial \xi} = \frac{x_1}{\partial \xi} \left(\frac{1}{4}(1-\xi)(1-\eta) \right) + \frac{x_2}{\partial \xi} \left(\frac{1}{4}(1+\xi)(1-\eta) \right) +$$

$$+ \frac{x_3}{\partial \xi} \left(\frac{1}{4}(1+\xi)(1+\eta) \right) + \frac{x_4}{\partial \xi} \left(\frac{1}{4}(1-\xi)(1+\eta) \right) =$$

$$= x_1 \left(-\frac{1}{4}(1-\eta) \right) + x_2 \left(\frac{1}{4}(1-\eta) \right) + x_3 \left(\frac{1}{4}(1+\eta) \right) +$$

$$+ x_4 \left(-\frac{1}{4}(1+\eta) \right)$$

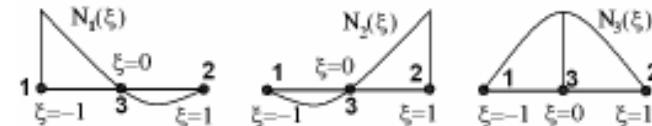
$$N_1 = \frac{1}{4}(1-\xi)(1-\eta)$$

$$N_2 = \frac{1}{4}(1+\xi)(1-\eta)$$

$$N_3 = \frac{1}{4}(1+\xi)(1+\eta)$$

$$N_4 = \frac{1}{4}(1-\xi)(1+\eta)$$

Elementy subparametryczne, izoparametryczne, superparametryczne



$$\varphi = N_1 \varphi_1 + N_2 \varphi_2 + N_3 \varphi_3$$

$$x = f(\xi) = N_1 X_1 + N_2 X_2$$

subparametryczne

$$\varphi = N_1 \varphi_1 + N_2 \varphi_2 + N_3 \varphi_3$$

$$x = f(\xi) = N_1 X_1 + N_2 X_2 + N_3 X_3$$

izoparametryczne

$$\varphi = N_1 \varphi_1 + N_2 \varphi_2$$

$$x = f(\xi) = N_1 X_1 + N_2 X_2 + N_3 X_3$$

superparametryczne

$$N_1 = -\frac{1}{4}(1-\xi)(1-\eta)(\xi+\eta+1)$$

$$N_2 = \frac{1}{2}(1-\xi^2)(1-\eta)$$

$$N_3 = \frac{1}{4}(1+\xi)(1-\eta)(\xi-\eta-1)$$

$$N_4 = \frac{1}{2}(1-\eta^2)(1+\xi)$$

$$N_5 = \frac{1}{4}(1+\xi)(1+\eta)(\xi+\eta-1)$$

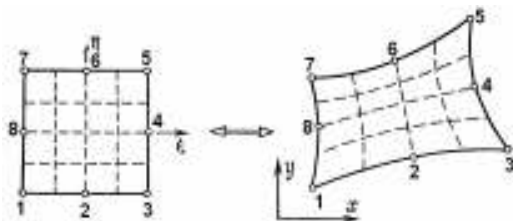
$$N_6 = \frac{1}{2}(1-\xi^2)(1+\eta)$$

$$N_7 = -\frac{1}{4}(1-\xi)(1+\eta)(\xi-\eta+1)$$

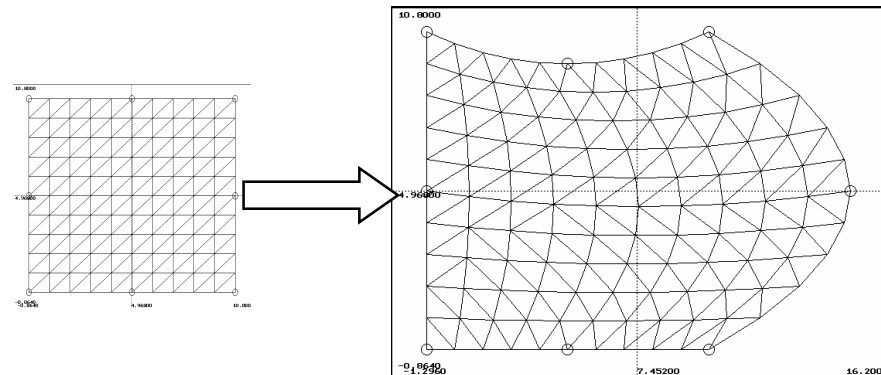
$$N_8 = \frac{1}{2}(1-\eta^2)(1-\xi)$$

Przekształcenie izoparametryczne
(2-go stopnia)

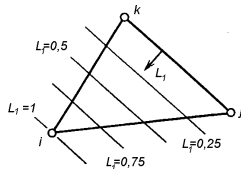
$$x = \sum_{i=1}^{N_{nodes}} N_i x_i \quad y = \sum_{i=1}^{N_{nodes}} N_i y_i$$



Dyskretyzacja ośrodka za pomocą przekształcenia 2-go stopnia:



Elementy trójkątne



$$L_1 + L_2 + L_3 = 1$$

$$L_3 = 1 - L_1 - L_2$$

$$N_1 = L_1(2L_1 - 1)$$

$$N_2 = L_2(2L_2 - 1)$$

$$N_3 = L_3(2L_3 - 1)$$

$$N_4 = 4L_1L_3$$

$$N_5 = 4L_1L_2$$

$$N_6 = 4L_2L_3$$

$$\frac{\partial N_i}{\partial L_1} = \frac{\partial N_i}{\partial x} \frac{\partial x}{\partial L_1} + \frac{\partial N_i}{\partial y} \frac{\partial y}{\partial L_1}$$

$$\frac{\partial N_i}{\partial L_2} = \frac{\partial N_i}{\partial x} \frac{\partial x}{\partial L_2} + \frac{\partial N_i}{\partial y} \frac{\partial y}{\partial L_2}$$

$$\begin{Bmatrix} \frac{\partial N_i}{\partial L_1} \\ \frac{\partial N_i}{\partial L_2} \end{Bmatrix} = J \begin{Bmatrix} \frac{\partial N_i}{\partial x} \\ \frac{\partial N_i}{\partial y} \end{Bmatrix} \quad J = \begin{bmatrix} \frac{\partial x}{\partial L_1} & \frac{\partial y}{\partial L_1} \\ \frac{\partial x}{\partial L_2} & \frac{\partial y}{\partial L_2} \end{bmatrix}$$

$$\begin{Bmatrix} \frac{\partial N_i}{\partial x} \\ \frac{\partial N_i}{\partial y} \end{Bmatrix} = J^{-1} \begin{Bmatrix} \frac{\partial N_i}{\partial L_1} \\ \frac{\partial N_i}{\partial L_2} \end{Bmatrix} \quad J^{-1} = \frac{1}{\det J} \begin{bmatrix} \frac{\partial y}{\partial L_2} & -\frac{\partial y}{\partial L_1} \\ -\frac{\partial x}{\partial L_2} & \frac{\partial x}{\partial L_1} \end{bmatrix}$$

$$N_1 = L_1(2L_1 - 1)$$

$$N_2 = L_2(2L_2 - 1)$$

$$N_3 = L_3(2L_3 - 1)$$

$$N_4 = 4L_1L_3$$

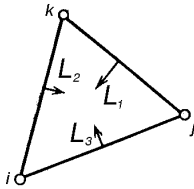
$$N_5 = 4L_1L_2$$

$$N_6 = 4L_2L_3$$

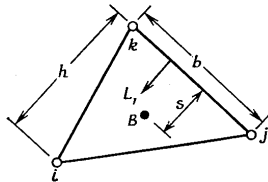
$$L_3 = 1 - L_1 - L_2$$

L – współrzędne

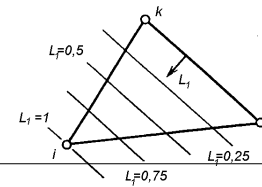
Dla elementów trójkątnych często jest używany tzw. naturalny układ współrzędnych (lub inaczej L – współrzędne), który wyznaczony jest przez trzy względne współrzędne



Każda współrzędna naturalna stanowi stosunek odległości wybranego punktu elementu do jednej z jego stron s do wysokości h



L – współrzędne

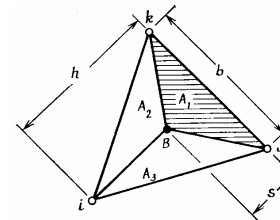


$$A = \frac{bh}{2}$$

$$A_1 = \frac{bs}{2}$$

$$\frac{A_1}{A} = \frac{s}{h} = L_1 \quad L_1 = \frac{A_1}{A}$$

Wartości współrzędnej naturalnej L



Interpretacja geometryczna

$$A_1 + A_2 + A_3 = A$$

$$L_1 + L_2 + L_3 = 1$$

$$N_i = L_1 \quad L_1 = 1$$

$$N_j = L_2 \quad L_1 = 0$$

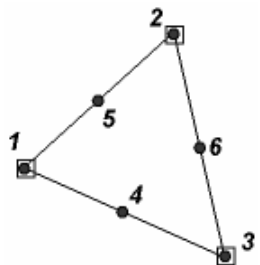
$$N_k = L_3 \quad L_1 = 0$$

$$x = L_1 X_i + L_2 X_j + L_3 X_k$$

$$y = L_1 Y_i + L_2 Y_j + L_3 Y_k$$

$$1 = L_1 + L_2 + L_3$$

Element 6-węzłowy



$$N_1 = L_1(2L_1 - 1)$$

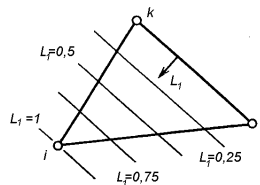
$$N_2 = L_2(2L_2 - 1)$$

$$N_3 = L_3(2L_3 - 1)$$

$$N_4 = 4L_1L_3$$

$$N_5 = 4L_1L_2$$

$$N_6 = 4L_2L_3$$



3d Element 4-węzłowy

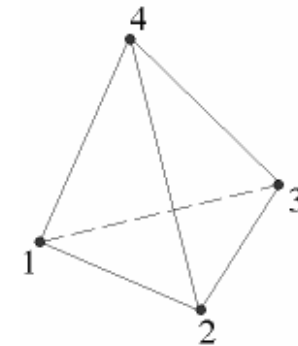
$$L_1 + L_2 + L_3 + L_4 = 1$$

$$N_1 = L_1$$

$$N_2 = L_2$$

$$N_3 = L_3$$

$$N_4 = L_4$$



3d Element 10-węzłowy

$$N_1 = (2L_1 - 1)L_1$$

$$N_2 = (2L_2 - 1)L_2$$

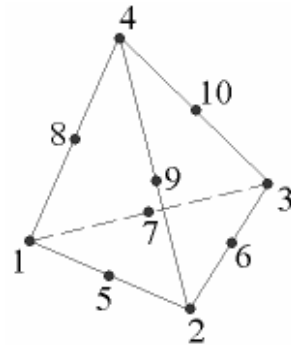
$$N_3 = (2L_3 - 1)L_3$$

$$N_4 = (2L_4 - 1)L_4$$

$$N_5 = 4L_1L_2 \quad N_8 = 4L_1L_4$$

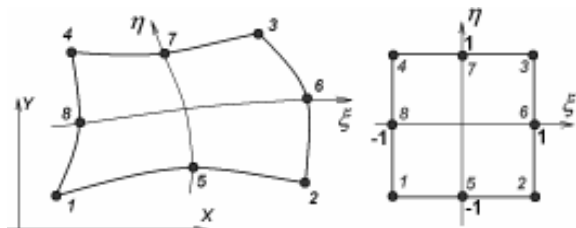
$$N_6 = 4L_2L_3 \quad N_9 = 4L_2L_4$$

$$N_7 = 4L_1L_3 \quad N_{10} = 4L_3L_4$$



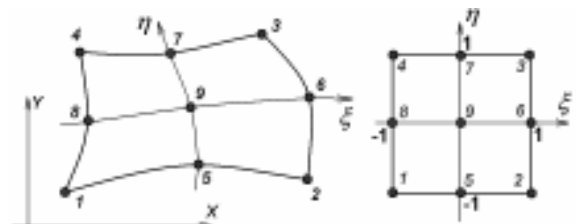
$$L_1 + L_2 + L_3 + L_4 = 1$$

FUNKCJI KSZTAŁTU ELEMENTÓW
WYŻSZEGO STOPNIA



Numeracja węzłów dwuwymiarowego 8- węzłowego elementu skończonego w układzie globalnym i lokalnym.

$$\begin{aligned}
 N_1 &= \frac{1}{4}(1-\xi)(1-\eta)(\xi+\eta+1) \\
 N_2 &= \frac{1}{4}(1+\xi)(1-\eta)(\xi-\eta-1) \\
 N_3 &= \frac{1}{4}(1+\xi)(1+\eta)(\xi+\eta-1) \\
 N_4 &= \frac{1}{4}(1-\xi)(1+\eta)(\xi-\eta+1) \\
 N_5 &= \frac{1}{2}(1-\xi^2)(1-\eta) \\
 N_6 &= \frac{1}{2}(1-\eta^2)(1+\xi) \\
 N_7 &= \frac{1}{2}(1-\xi^2)(1+\eta) \\
 N_8 &= \frac{1}{2}(1-\eta^2)(1-\xi)
 \end{aligned}$$



Numeracja węzłów dwuwymiarowego 9- węzłowego elementu skończonego w układzie globalnym i lokalnym.

$$\begin{aligned}
 N_1 &= \frac{1}{4}(1-\xi)(1-\eta)\xi\eta \\
 N_2 &= -\frac{1}{4}(1+\xi)(1-\eta)\xi\eta \\
 N_3 &= \frac{1}{4}(1+\xi)(1+\eta)\xi\eta \\
 N_4 &= -\frac{1}{4}(1-\xi)(1+\eta)\xi\eta \\
 N_5 &= -\frac{1}{2}(1-\xi^2)(1-\eta)\eta \\
 N_6 &= \frac{1}{2}(1+\xi)(1-\eta^2)\xi \\
 N_7 &= \frac{1}{2}(1-\xi^2)(1+\eta)\eta \\
 N_8 &= -\frac{1}{2}(1-\xi)(1-\eta^2)\xi \\
 N_9 &= (1-\xi^2)(1-\eta^2)
 \end{aligned}$$



Elementy typu Lagrange'a, przykładem którego jest rozpatrywany element, są oparte o interpolujący wielomian Lagrange'a:

$$L_i(x) = \frac{(x-x_0)(x-x_1)\dots(x-x_{i-1})(x-x_{i+1})\dots(x-x_n)}{(x_i-x_0)(x_i-x_1)\dots(x_i-x_{i-1})(x_i-x_{i+1})\dots(x_i-x_n)} = \prod_{\substack{j=0 \\ j \neq i}}^n \frac{x-x_j}{x_i-x_j}$$

jaki przyjmuje wartości: $L_i(x_j) = \delta_{ij} = \begin{cases} 1, & \text{gdy } i = j \\ 0, & \text{gdy } i \neq j \end{cases}$

Więc, wielomian Lagrange'a spełnia kryterium, jaki jest właściwy dla funkcji kształtu i na jego podstawie można stworzyć szereg funkcji kształtu dla różnych elementów, zakładając, że $L_i = N_i$

$$L_n(x) = \sum_{i=0}^n f(x_i) \prod_{\substack{j=0 \\ j \neq i}}^n \frac{x-x_j}{x_i-x_j} = \sum_{i=0}^n f(x_i) L_i(x) = \sum_{i=0}^n \varphi_i N_i$$



Przykład

Zbudować wielomian interpolacyjny Lagrange'a, który dla $x = -1; 0; 2; 3$ przyjmuje wartości $y(x) = -1; 2; -4; -1$

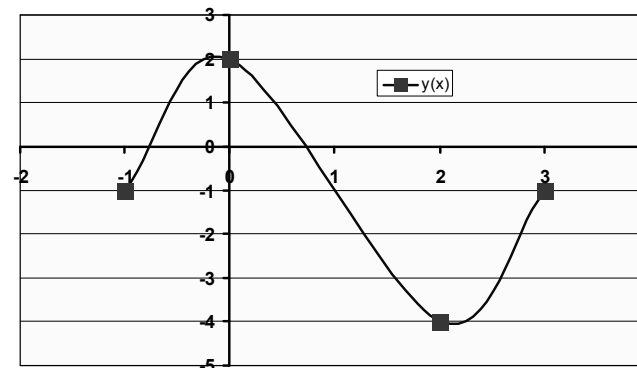
$$L_i(x) = \frac{(x-x_0)(x-x_1)\dots(x-x_{i-1})(x-x_{i+1})\dots(x-x_n)}{(x_i-x_0)(x_i-x_1)\dots(x_i-x_{i-1})(x_i-x_{i+1})\dots(x_i-x_n)}$$

$$\begin{aligned}
 y(x) &= \sum_{i=0}^4 y(x_i) L_i(x) = (-1) \frac{x(x-2)(x-3)}{(-1)(-3)(-4)} + 2 \frac{(x+1)(x-2)(x-3)}{1(-2)(-3)} + \\
 &-4 \frac{(x+1)x(x-3)}{3 \cdot 2 \cdot (-1)} - 1 \frac{(x+1)x(x-2)}{4 \cdot 3 \cdot 1} = x^3 - 3x^2 - x + 2
 \end{aligned}$$



Zbudować wielomian interpolacyjny Lagrange'a, który dla $x = -1; 0; 2; 3$ przyjmuje wartości $y(x) = -1; 2; -4; -1$

$$y = x^3 - 3x^2 - x + 2$$

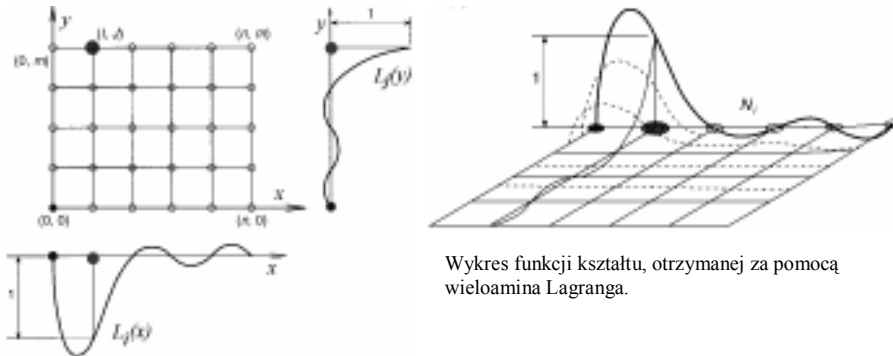


W przypadku wykorzystania wieloaminy Lagrange'a do otrzymania funkcji kształtu elementu dwuwymiarowego trzeba wykorzystać wielomian względem współrzędnych X i Y:

$$L_j(y) = \frac{(y - y_0)(y - y_1) \dots (y - y_{j-1})(y - y_{j+1}) \dots (y - y_m)}{(y_j - y_0)(y_j - y_1) \dots (y_j - y_{j-1})(y_j - y_{j+1}) \dots (y_j - y_m)}$$

$$L_i(x) = \frac{(x - x_0)(x - x_1) \dots (x - x_{i-1})(x - x_{i+1}) \dots (x - x_n)}{(x_i - x_0)(x_i - x_1) \dots (x_i - x_{i-1})(x_i - x_{i+1}) \dots (x_i - x_n)}$$

$$N_k = L_{ij}(x, y) = L_i(x)L_j(y)$$



Wykres funkcji kształtu, otrzymanej za pomocą wieloaminy Lagrange'a.

Całkowanie numeryczne w MES

Operacji otrzymania układu równań MES są związane z całkowaniem po objętości elementów. Ponieważ forma strefy całkowania oraz całkowany wzór są skomplikowane, całkowanie numeryczne prawie zawsze nie może być zastosowane. Jeżeli wykorzystano przekształcenie układu współrzędnych, sprawą komplikuje pomnożenie całkowanego wzoru na wyznacznik macierzy Jacobiego. Opisanie problemy powodują, że w MES jest używane całkowanie numeryczne, przy którym całka zamieniana na kwadraturę. Przy wyznaczeniu takich kwadratur w jedno-, dwu- oraz trójwymiarowych zadaniach jest wykorzystywane sumowanie wartości całkowanego wzoru, obliczonego w węzłach całkowania i pomnożonych na odpowiedni wagowe współczynniki:

$$\int_{-1}^1 f(\xi) d\xi \approx W_0 f(\xi_0) + W_1 f(\xi_1) + \dots + W_n f(\xi_n)$$

$$\int_{-1}^1 \int_{-1}^1 f(\xi, \eta) d\xi d\eta \approx W_0 f(\xi_0, \eta_0) + W_1 f(\xi_1, \eta_1) + \dots + W_n f(\xi_n, \eta_n)$$

Warto zwrócić uwagę, że wartości ξ_i η_i są zadane „a priori” i zazwyczaj wybierane na równej odległości między sobą.

Formuły Niutona-Kotesa

W celu wyznaczenia W_i wykorzystywana jest następująca metoda:

Rozpatrujemy nabór punktów całkowania ξ_0 ξ_1 ξ_n i znajdziemy wielomian $F_n(\xi)$ stopnia n , równy $f(\xi)$

w każdym z rozpatrywanych punktów. W tym celu zapiszemy wielomian: $F_n(\xi) = a_0 + a_1\xi + \dots + a_n\xi^n$

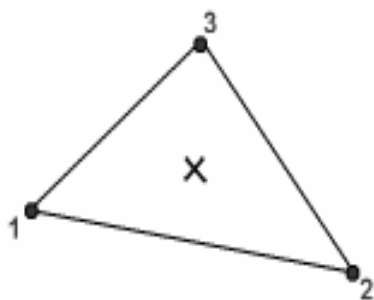
$$\left. \begin{aligned} f(\xi_0) &= a_0 + a_1\xi_0 + \dots + a_n\xi_0^n \\ f(\xi_1) &= a_0 + a_1\xi_1 + \dots + a_n\xi_1^n \\ \dots & \\ f(\xi_n) &= a_0 + a_1\xi_n + \dots + a_n\xi_n^n \end{aligned} \right\} (1)$$

Dalej za pomocą analitycznego całkowania funkcji można aproksymować wartość całki:

$$\int_{-1}^1 f(\xi) d\xi \approx \int_{-1}^1 F_n(\xi) d\xi = 2a_0 + \frac{2a_2}{3} + \dots + \frac{a_n}{n+1} (1 - (-1)^{n+1}) \quad (2)$$

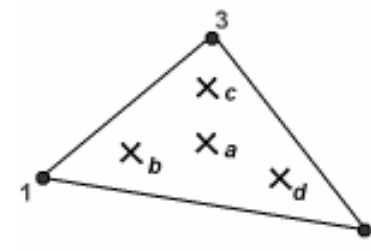
Jeżeli podstawić do tego wzoru (2) wartości a_i , uzyskane po rozwiązaniu układu (1), to otrzymamy przybliżone formuły do całkowania typu

$$\int_{-1}^1 f(\xi) d\xi \approx W_0 f(\xi_0) + W_1 f(\xi_1) + \dots + W_n f(\xi_n)$$



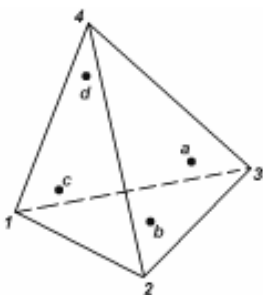
Rozwiązanie układu dla $n=0$ daje wynik

$$L_1=1/3; L_2=1/3; L_3=1/3; W=1/2.$$



Natomiast, dla $n=1$ mamy:

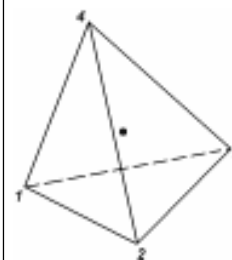
a) $L_1=1/3;$	$L_2=1/3;$	$L_3=1/3;$	$W=-27/96$
b) $L_1=11/15;$	$L_2=2/15;$	$L_3=2/15;$	$W=25/96$
c) $L_1=2/15;$	$L_2=2/15;$	$L_3=11/15;$	$W=25/96$
d) $L_1=2/15;$	$L_2=11/15;$	$L_3=2/15;$	$W=25/96$



Dla układu 3d przy $n=1$ mamy :

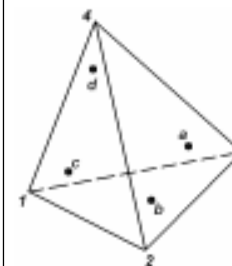
$$\alpha = 0.58541020; \quad \beta = 0.13819660;$$

a) $L_1 = \alpha;$	$L_2 = \beta;$	$L_3 = \beta;$	$L_4 = \beta;$	$W = 1/4;$
b) $L_1 = \beta;$	$L_2 = \alpha;$	$L_3 = \beta;$	$L_4 = \beta;$	$W = 1/4;$
c) $L_1 = \beta;$	$L_2 = \beta;$	$L_3 = \alpha;$	$L_4 = \beta;$	$W = 1/4;$
d) $L_1 = \beta;$	$L_2 = \beta;$	$L_3 = \beta;$	$L_4 = \alpha;$	$W = 1/4;$



Dla układu 3d przy $n=0$ mamy :

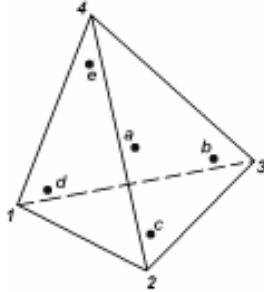
$$L_1=1/4; L_2=1/4; L_3=1/4; L_4=1/4; W=1;$$



Dla układu 3d przy $n=1$ mamy :

$$\alpha = 0.58541020; \quad \beta = 0.13819660;$$

a) $L_1 = \alpha;$	$L_2 = \beta;$	$L_3 = \beta;$	$L_4 = \beta;$	$W = 1/4;$
b) $L_1 = \beta;$	$L_2 = \alpha;$	$L_3 = \beta;$	$L_4 = \beta;$	$W = 1/4;$
c) $L_1 = \beta;$	$L_2 = \beta;$	$L_3 = \alpha;$	$L_4 = \beta;$	$W = 1/4;$
d) $L_1 = \beta;$	$L_2 = \beta;$	$L_3 = \beta;$	$L_4 = \alpha;$	$W = 1/4;$



- a) $L_1 = 1/4; L_2 = 1/4; L_3 = 1/4; L_4 = 1/4; W = -16/20;$
- b) $L_1 = 1/3; L_2 = 1/6; L_3 = 1/6; L_4 = 1/6; W = 9/20;$
- c) $L_1 = 1/6; L_2 = 1/3; L_3 = 1/6; L_4 = 1/6; W = 9/20;$
- d) $L_1 = 1/6; L_2 = 1/6; L_3 = 1/3; L_4 = 1/6; W = 9/20;$
- e) $L_1 = 1/6; L_2 = 1/6; L_3 = 1/6; L_4 = 1/3; W = 9/20;$

PRZEDSTAWIENIE RÓWNANI MES DLA ZADANI MECHANIKI W FORMIE MACIERZOWEJ

Otrzymanie równani MES do zadania
brzegowego kręcenia pręta o przekroje nie
okrągłym

-Zadanie brzegowe kręcenia pręta o przekroje nie okrągłym

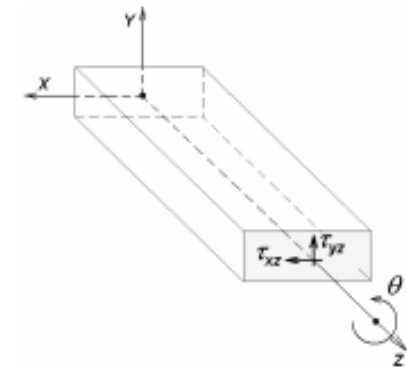
$$\frac{\partial^2 \varphi}{\partial x^2} + \frac{\partial^2 \varphi}{\partial y^2} + 2G\theta = 0 \quad \varphi = 0$$

$$\tau_{zx} = \frac{\partial \varphi}{\partial y} \quad \tau_{zy} = -\frac{\partial \varphi}{\partial x} \quad T = \int_S \varphi dS$$

$$J = \int_V \left[\frac{1}{2} \left(\frac{\partial \varphi}{\partial x} \right)^2 + \frac{1}{2} \left(\frac{\partial \varphi}{\partial y} \right)^2 - 2G\theta \varphi \right] dV$$

$$J = \int_V \frac{1}{2} \{g\}^T [D] \{g\} - 2G\theta \varphi dV$$

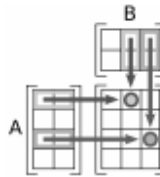
$$\{g_e\} = [B_e] \{\varphi\}$$



$$\{g\} = \begin{Bmatrix} \frac{\partial \varphi}{\partial x} \\ \frac{\partial \varphi}{\partial y} \end{Bmatrix} \quad [D] = \begin{bmatrix} K_{xx} & 0 \\ 0 & K_{yy} \end{bmatrix} = \begin{bmatrix} 1 & 0 \\ 0 & 1 \end{bmatrix}$$

$$\frac{\partial J_e}{\partial \{\varphi\}} = [k_e] \{\varphi\} + \{f_e\} = 0 \quad \{f_e\} = - \int_{V_e} G \theta [N]^T dV$$

$$[k_e] = \int_{V_e} [B_e]^T [D_e] [B_e] dV$$



$$[B_e] = \begin{bmatrix} \frac{\partial [N]}{\partial x} \\ \frac{\partial [N]}{\partial y} \end{bmatrix} \quad [B_e]^T = \begin{bmatrix} \frac{\partial [N]^T}{\partial x} & \frac{\partial [N]^T}{\partial y} \end{bmatrix} \quad [D] = \begin{bmatrix} 1 & 0 \\ 0 & 1 \end{bmatrix}$$

$$[B_e]^T [D_e] = \begin{bmatrix} \frac{\partial [N]^T}{\partial x} & \frac{\partial [N]^T}{\partial y} \end{bmatrix} \begin{bmatrix} 1 & 0 \\ 0 & 1 \end{bmatrix} = \begin{bmatrix} \frac{\partial [N]^T}{\partial x} & \frac{\partial [N]^T}{\partial y} \end{bmatrix}$$

$$[B]^T [D] [B] = \begin{bmatrix} \frac{\partial [N]^T}{\partial x} & \frac{\partial [N]^T}{\partial y} \end{bmatrix} \begin{bmatrix} \frac{\partial [N]}{\partial x} \\ \frac{\partial [N]}{\partial y} \end{bmatrix} = \frac{\partial [N]^T}{\partial x} \frac{\partial [N]}{\partial x} + \frac{\partial [N]^T}{\partial y} \frac{\partial [N]}{\partial y} = \frac{\partial N_i}{\partial x} \frac{\partial N_k}{\partial x} + \frac{\partial N_i}{\partial y} \frac{\partial N_k}{\partial y}$$

$$\{u\}_r^T \left[\frac{\partial [N]^T}{\partial x} \frac{\partial [N]}{\partial x} + \frac{\partial [N]^T}{\partial y} \frac{\partial [N]}{\partial y} \right] dV = \int_V G \theta [N]^T dV \quad G \theta [N]^T = G \theta N_k$$

Fragment kodu

DO P=1, N_p

CALL Jacob_2d(J_,J_inv,P,N_p,NBN, N1, N2,X,Y,DetJ);

```
DO I=1,ELSLV%NBN
  Ndx(i)=N1(i,p)*J_inv(1,1) + N2(i,p)*J_inv(1,2)
  Ndy(i)=N1(i,p)*J_inv(2,1) + N2(i,p)*J_inv(2,2)
END DO;
```

DO k=1,NBN

DO I=1,NBN

Nk = Nf(k,p);

Ke(kl) = Ke(k,l) + (Ndx(k)*Ndx(i)+Ndy(k)*Ndy(i))*DetJ;

END DO

Fe(k) = Fe(k) + Nk*G*Teta*DetJ;

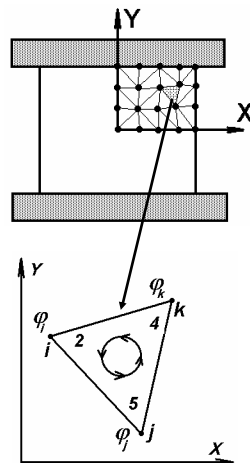
END DO

END DO

Położenie elementów k_e w K

$$[k_e] = \begin{matrix} & \begin{matrix} 2 & 5 & 4 \end{matrix} \\ \begin{matrix} 2 \\ 5 \\ 4 \end{matrix} & \begin{bmatrix} k_{11} & k_{12} & k_{13} \\ k_{21} & k_{22} & k_{23} \\ k_{31} & k_{32} & k_{33} \end{bmatrix} \end{matrix}$$

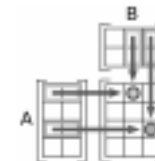
$$[K] = \begin{matrix} & \begin{matrix} 1 & 2 & 3 & 4 & 5 & 6 \end{matrix} \\ \begin{matrix} 1 \\ 2 \\ 3 \\ 4 \\ 5 \\ 6 \end{matrix} & \begin{bmatrix} & & & & & \\ & k_{11} & & k_{13} & k_{12} & \\ & & & & & \\ k_{31} & & k_{33} & k_{32} & & \\ k_{21} & & k_{23} & k_{22} & & \\ & & & & & \end{bmatrix} \end{matrix}$$



Równania MES dla teorii sprężystości w formie macierzowej. Odkształcenie płaskie.

Równania MES dla teorii sprężystości w formie macierzowej. Odkształcenie płaskie.

$$\{\varepsilon\} = \begin{Bmatrix} \varepsilon_x \\ \varepsilon_y \\ 2\varepsilon_{xy} \end{Bmatrix} = \begin{bmatrix} \frac{\partial}{\partial x} & 0 \\ 0 & \frac{\partial}{\partial y} \\ \frac{\partial}{\partial y} & \frac{\partial}{\partial x} \end{bmatrix} \begin{Bmatrix} u_x \\ u_y \end{Bmatrix} = [L]\{u\} \quad [L] = \begin{bmatrix} \frac{\partial}{\partial x} & 0 \\ 0 & \frac{\partial}{\partial y} \\ \frac{\partial}{\partial y} & \frac{\partial}{\partial x} \end{bmatrix} \quad 2\varepsilon_{xy} = \frac{\partial u_x}{\partial y} + \frac{\partial u_y}{\partial x}$$



$$\{\sigma\} = [D]\{\varepsilon\} - [D]\{\varepsilon_{0t}\}$$

$$\{\sigma\} = \begin{Bmatrix} \sigma_x \\ \sigma_y \\ \sigma_{xy} \end{Bmatrix} = [D] \left(\begin{Bmatrix} \varepsilon_x \\ \varepsilon_y \\ 2\varepsilon_{xy} \end{Bmatrix} - \varepsilon_{0t} \right) \quad [D] = \frac{E}{(1+\nu)(1-2\nu)} \begin{bmatrix} 1-\nu & \nu & 0 \\ \nu & 1-\nu & 0 \\ 0 & 0 & (1-2\nu)/2 \end{bmatrix}$$

$$\{\varepsilon_{0t}\} = (1+\nu) \begin{Bmatrix} \beta\Delta t \\ \beta\Delta t \\ 0 \end{Bmatrix}$$

Równania MES dla teorii sprężystości w formie macierzowej. Odkształcenie płaskie.

$$\{\sigma\} = [D]\{\varepsilon\} - [D]\{\varepsilon_{0t}\} \quad \{\varepsilon\} = D^{-1}\{\sigma\} + \varepsilon_{0t}$$

$$\sigma_x = \frac{E}{(1+\nu)(1-2\nu)} (\varepsilon_x(1-\nu) + \varepsilon_y\nu) \quad \varepsilon_x = \frac{\sigma_x}{E} - \frac{\nu\sigma_y}{E} - \frac{\nu\sigma_z}{E} + \varepsilon_{x0t}$$

$$\sigma_y = \frac{E}{(1+\nu)(1-2\nu)} (\varepsilon_x\nu + \varepsilon_y(1-\nu)) \quad \varepsilon_y = \frac{\sigma_y}{E} - \frac{\nu\sigma_x}{E} - \frac{\nu\sigma_z}{E} + \varepsilon_{y0t}$$

$$\sigma_{xy} = \frac{E}{(1+\nu)(1-2\nu)} \left(2\varepsilon_{xy} \frac{1-2\nu}{2} \right) = 2\varepsilon_{xy} = \frac{2(1+\nu)}{E} \sigma_{xy}$$

$$= \frac{E}{2(1+\nu)} 2\varepsilon_{xy} = 2G\varepsilon_{xy} \quad \varepsilon_z = \frac{\sigma_z}{E} - \frac{\nu\sigma_x}{E} - \frac{\nu\sigma_y}{E} + \varepsilon_{z0t} = 0$$

Równania MES dla teorii sprężystości w formie macierzowej. Macierzy własności.

Odkształcenie płaskie $[D] = \frac{E}{(1+\nu)(1-2\nu)} \begin{bmatrix} 1-\nu & \nu & 0 \\ \nu & 1-\nu & 0 \\ 0 & 0 & (1-2\nu)/2 \end{bmatrix}$

Płaski stan naprężeń $[D] = \frac{E}{1-\nu^2} \begin{bmatrix} 1 & \nu & 0 \\ \nu & 1 & 0 \\ 0 & 0 & (1-\nu)/2 \end{bmatrix}$

Odkształcenie 3d $[D] = \frac{E}{(1+\nu)(1-2\nu)} \begin{bmatrix} 1-\nu & \nu & \nu & 0 & 0 & 0 \\ & 1-\nu & \nu & 0 & 0 & 0 \\ & & 1-\nu & 0 & 0 & 0 \\ & & & (1-2\nu)/2 & 0 & 0 \\ \text{sym} & & & & (1-2\nu)/2 & 0 \\ & & & & & (1-2\nu)/2 \end{bmatrix}$

Równania MES dla teorii sprężystości w formie macierzowej.

$$\{\sigma\} = \begin{Bmatrix} \sigma_{xx} \\ \sigma_{yy} \\ \sigma_{xy} \end{Bmatrix} \quad \{\varepsilon\} = \begin{Bmatrix} \varepsilon_{xx} \\ \varepsilon_{yy} \\ 2\varepsilon_{xy} \end{Bmatrix}$$

$$W = \int_V \frac{1}{2} (\{\varepsilon\}^T \{\sigma\} - \{\varepsilon_0\}^T \{\sigma\}) dV$$

$$\{\sigma\} = [D]\{\varepsilon\} - [D]\{\varepsilon_0\}$$

$$\{u\} = \begin{Bmatrix} u_x \\ u_y \end{Bmatrix} = \begin{bmatrix} [N] & 0 \\ 0 & [N] \end{bmatrix} \begin{Bmatrix} \{U_x\} \\ \{U_y\} \end{Bmatrix} = [\bar{N}]\{U\}$$

$$\{\varepsilon\} = \begin{Bmatrix} \varepsilon_x \\ \varepsilon_y \\ 2\varepsilon_{xy} \end{Bmatrix} = \begin{bmatrix} \frac{\partial}{\partial x} & 0 \\ 0 & \frac{\partial}{\partial y} \\ \frac{\partial}{\partial y} & \frac{\partial}{\partial x} \end{bmatrix} \begin{Bmatrix} u_x \\ u_y \end{Bmatrix} = \begin{bmatrix} \frac{\partial[N]}{\partial x} & 0 \\ 0 & \frac{\partial[N]}{\partial y} \\ \frac{\partial[N]}{\partial y} & \frac{\partial[N]}{\partial x} \end{bmatrix} \{U\} = [B]\{U\}$$

$$[\bar{N}] = \begin{bmatrix} N_1 & N_2 \dots & N_p & 0 & 0 \dots & 0 \\ 0 & 0 \dots & 0 & N_1 & N_2 \dots & N_p \end{bmatrix} = \begin{bmatrix} [N] & 0 \\ 0 & [N] \end{bmatrix}$$

$$\{\varepsilon\} = [B]\{U\} \quad [B] = \begin{bmatrix} \frac{\partial[N]}{\partial x} & 0 \\ 0 & \frac{\partial[N]}{\partial y} \\ \frac{\partial[N]}{\partial y} & \frac{\partial[N]}{\partial x} \end{bmatrix}$$

Funkcjonał w postaci macierzowej

$$W = \int_V \frac{1}{2} (\{\varepsilon\}^T \{\sigma\} - \{\varepsilon_0\}^T \{\sigma\}) dV$$

$$\{\sigma\} = [D]\{\varepsilon\} - [D]\{\varepsilon_0\}$$

$$\{\varepsilon\} = [B]\{U\}$$

$$W_e = \int_{V_e} \frac{1}{2} (\{U\}^T [B]^T [D][B]\{U\} - 2\{U\}^T [B]^T [D]\{\varepsilon_0\} + \{\varepsilon_0\}^T [D]\{\varepsilon_0\}) dV$$

Funkcjonał w postaci macierzowej

Energia sił wewnętrznych: $W_s = \{U\}^T \{P\} = \{P\}^T \{U\} \quad \{P\} = \begin{Bmatrix} P_x \\ P_y \end{Bmatrix}$

Energia obciążeń masowych: $W_b = \int_{V_e} (u_x m_x + u_y m_y) dV = \int_{V_e} \{U\}^T [\bar{N}]^T \{M\} dV \quad \{M\} = \begin{Bmatrix} m_x \\ m_y \end{Bmatrix}$

$$[\bar{N}] = \begin{bmatrix} N_1 & N_2 \dots & N_p & 0 & 0 \dots & 0 \\ 0 & 0 \dots & 0 & N_1 & N_2 \dots & N_p \end{bmatrix} = \begin{bmatrix} [N] & 0 \\ 0 & [N] \end{bmatrix}$$

Energia naprężeni na powierzchni kontaktu elementu z otoczeniem:

$$W_p = \int_{S_e} (u_x p_x + u_y p_y) dS = \int_{S_e} \{U\}^T [\bar{N}]^T \{p\} dS \quad \{p\} = \begin{Bmatrix} p_x \\ p_y \end{Bmatrix}$$

Pełna energia odkształcanego elementu:

$$W_e = \int_{V_e} \frac{1}{2} \{U\}^T [B]^T [D][B]\{U\} dV - \int_{V_e} \{U\}^T [B]^T [D]\{\varepsilon_0\} dV - \int_{V_e} \{U\}^T [\bar{N}]^T \{M\} dV - \int_{S_e} \{U\}^T [\bar{N}]^T \{p\} dS - \{U\}^T \{P\}$$

Otrzymanie macrycy sztywności

$$\frac{\partial W_e}{\partial \{U\}} = \{U\} \int_{V_e} [B]^T [D][B] dV - \int_{V_e} [B]^T [D]\{\varepsilon_0\} dV - \int_{V_e} [\bar{N}]^T \{M\} dV - \int_{S_e} [\bar{N}]^T \{p\} dS - \{P\}$$

$$\frac{\partial W_e}{\partial \{U\}} = [K_e]\{U\} + \{F_e\}$$

$$[K_e] = \int_{V_e} [B]^T [D][B] dV \quad \{F_e\} = - \int_{V_e} [B]^T [D]\{\varepsilon_0\} dV - \int_{V_e} [\bar{N}]^T \{M\} dV - \int_{S_e} [\bar{N}]^T \{p\} dS - \{P\}$$

$$[K]\{U\} + \{F\} = 0$$

$$[K] = \sum_{e=1}^{n_e} [K_e] \quad \{F\} = \sum_{e=1}^{n_e} \{F_e\}$$

Otrzymanie macierzy sztywności

$$[K]^e = \int_{V_e} [B]^T [D][B] dV$$

$$[B] = \begin{bmatrix} \frac{\partial[N]}{\partial x} & 0 \\ 0 & \frac{\partial[N]}{\partial y} \\ \frac{\partial[N]}{\partial y} & \frac{\partial[N]}{\partial x} \end{bmatrix} \quad [B]^T = \begin{bmatrix} \frac{\partial[N]}{\partial x} & 0 & \frac{\partial[N]}{\partial y} \\ 0 & \frac{\partial[N]}{\partial y} & \frac{\partial[N]}{\partial x} \end{bmatrix} \quad [D] = \frac{E}{(1+\nu)(1-2\nu)} \begin{bmatrix} 1-\nu & \nu & 0 \\ \nu & 1-\nu & 0 \\ 0 & 0 & (1-2\nu)/2 \end{bmatrix}$$

$$[K]^e = \int_{V_e} [B]^T [D][B] dV = \sum_{p=1}^{N_p} [B]^T [D][B] W_p \det|J|$$

$$\{F_e\} = - \int_{V_e} [B_e]^T [D_e] \{\varepsilon_{0r}\} dV \quad \{\varepsilon_{0r}\} = \begin{Bmatrix} \beta \Delta t \\ \beta \Delta t \\ 0 \end{Bmatrix}$$

Otrzymanie macierzy sztywności

$$[K]^e = \int_{V_e} [B]^T [D][B] dV$$

$$[B]^T = \begin{bmatrix} \frac{\partial[N]^T}{\partial x} & 0 & \frac{\partial[N]^T}{\partial y} \\ 0 & \frac{\partial[N]^T}{\partial y} & \frac{\partial[N]^T}{\partial x} \end{bmatrix} \quad [D] = \frac{E}{(1+\nu)(1-2\nu)} \begin{bmatrix} 1-\nu & \nu & 0 \\ \nu & 1-\nu & 0 \\ 0 & 0 & (1-2\nu)/2 \end{bmatrix} \quad [B] = \begin{bmatrix} \frac{\partial[N]}{\partial x} & 0 \\ 0 & \frac{\partial[N]}{\partial y} \\ \frac{\partial[N]}{\partial y} & \frac{\partial[N]}{\partial x} \end{bmatrix}$$

$$\int_{V_e} [B]^T [D][B] dV = \frac{E}{(1+\nu)(1-2\nu)} \begin{bmatrix} K_{11} & K_{12} \\ K_{21} & K_{22} \end{bmatrix}$$

$$\{f\} = \frac{E}{(1+\nu)(1-2\nu)} \left\{ \int_{V_e} \left(\frac{\partial[N]^T}{\partial x} \beta \Delta t \right) dV \right. \\ \left. \int_{V_e} \left(\frac{\partial[N]^T}{\partial y} \beta \Delta t \right) dV \right\}$$

$$K_{11} = \int_{V_e} \left((1-\nu) \frac{\partial[N]^T}{\partial x} \frac{\partial[N]}{\partial x} + \frac{(1-2\nu)}{2} \frac{\partial[N]^T}{\partial y} \frac{\partial[N]}{\partial y} \right) dV$$

$$K_{12} = \int_{V_e} \left(\nu \frac{\partial[N]^T}{\partial x} \frac{\partial[N]}{\partial y} + \frac{(1-2\nu)}{2} \frac{\partial[N]^T}{\partial x} \frac{\partial[N]}{\partial y} \right) dV$$

$$K_{21} = \int_{V_e} \left(\nu \frac{\partial[N]^T}{\partial y} \frac{\partial[N]}{\partial x} + \frac{(1-2\nu)}{2} \frac{\partial[N]^T}{\partial y} \frac{\partial[N]}{\partial x} \right) dV$$

$$K_{22} = \int_{V_e} \left((1-\nu) \frac{\partial[N]^T}{\partial y} \frac{\partial[N]}{\partial y} + \frac{(1-2\nu)}{2} \frac{\partial[N]^T}{\partial x} \frac{\partial[N]}{\partial x} \right) dV$$

Otrzymanie macierzy sztywności

$$[B]^T [D] = \frac{E}{(1+\nu)(1-2\nu)} \begin{bmatrix} \frac{\partial[N]^T}{\partial x} & 0 & \frac{\partial[N]^T}{\partial y} \\ 0 & \frac{\partial[N]^T}{\partial y} & \frac{\partial[N]^T}{\partial x} \end{bmatrix} \begin{bmatrix} 1-\nu & \nu & 0 \\ \nu & 1-\nu & 0 \\ 0 & 0 & (1-2\nu)/2 \end{bmatrix} = \\ = \frac{E}{(1+\nu)(1-2\nu)} \begin{bmatrix} \frac{\partial[N]^T}{\partial x} (1-\nu) & \frac{\partial[N]^T}{\partial x} \nu & \frac{\partial[N]^T}{\partial y} (1-2\nu)/2 \\ \frac{\partial[N]^T}{\partial y} \nu & \frac{\partial[N]^T}{\partial y} (1-\nu) & \frac{\partial[N]^T}{\partial x} (1-2\nu)/2 \end{bmatrix}$$

$$[B]^T [D][B] = \frac{E}{(1+\nu)(1-2\nu)} \begin{bmatrix} \frac{\partial[N]^T}{\partial x} (1-\nu) & \frac{\partial[N]^T}{\partial x} \nu & \frac{\partial[N]^T}{\partial y} (1-2\nu)/2 \\ \frac{\partial[N]^T}{\partial y} \nu & \frac{\partial[N]^T}{\partial y} (1-\nu) & \frac{\partial[N]^T}{\partial x} (1-2\nu)/2 \end{bmatrix} \begin{bmatrix} \frac{\partial[N]}{\partial x} & 0 \\ 0 & \frac{\partial[N]}{\partial y} \\ \frac{\partial[N]}{\partial y} & \frac{\partial[N]}{\partial x} \end{bmatrix} =$$

$$= \frac{E}{(1+\nu)(1-2\nu)} \begin{bmatrix} K_{11} & K_{12} \\ K_{21} & K_{22} \end{bmatrix}$$

Otrzymanie wektora obciążeń

$$\{f_e\} = - \int_{V_e} [B_e]^T [D_e] \{\varepsilon_{0r}\} dV$$

$$[B]^T [D] \begin{Bmatrix} \beta \Delta t \\ \beta \Delta t \\ 0 \end{Bmatrix} = \frac{E}{(1+\nu)(1-2\nu)} \begin{bmatrix} \frac{\partial[N]^T}{\partial x} (1-\nu) & \frac{\partial[N]^T}{\partial x} \nu & \frac{\partial[N]^T}{\partial y} (1-2\nu)/2 \\ \frac{\partial[N]^T}{\partial y} \nu & \frac{\partial[N]^T}{\partial y} (1-\nu) & \frac{\partial[N]^T}{\partial x} (1-2\nu)/2 \end{bmatrix} \begin{Bmatrix} \beta \Delta t \\ \beta \Delta t \\ 0 \end{Bmatrix} =$$

$$= \frac{E}{(1+\nu)(1-2\nu)} \left\{ (1-\nu) \frac{\partial[N]^T}{\partial x} \beta \Delta t + \nu \frac{\partial[N]^T}{\partial x} \beta \Delta t \right. \\ \left. \nu \frac{\partial[N]^T}{\partial y} \beta \Delta t + (1-\nu) \frac{\partial[N]^T}{\partial y} \beta \Delta t \right\} = \frac{E}{(1+\nu)(1-2\nu)} \begin{bmatrix} \frac{\partial[N]^T}{\partial x} \beta \Delta t \\ \frac{\partial[N]^T}{\partial y} \beta \Delta t \end{bmatrix}$$

Fragment kodu

```

DO P=1, N_p
CALL Jacob(J_, J_inv, P, N_p, NBN, N1, N2, X, Y, DetJ);
DO I=1, NBN
    Ndx(i)=N1(i,p)*J_inv(1,1) + N2(i,p)*J_inv(1,2)
    Ndy(i)=N1(i,p)*J_inv(2,1) + N2(i,p)*J_inv(2,2)
END DO;
dtp = Temp - TempNULL;
M = reo(1)%m
Kvol = Fs * Es*(1-2*m);    M1 = Kvol*(1-m)/(1+m);    M3 = Kvol*m/(1+m);
Et=dtp*2e-5
DO N=1, NBN
Row1 = N;
Row2 = NBN + N;
    DO I=1, NBN
    C1 = I;
    C2 = NBN + I;
feSM(Row1,C1)=feSM(Row1,C1) + (M1*Ndx(n)*Ndx(i) + M2*Ndy(n)*Ndy(i))*DetJ;
feSM(Row1,C2)=feSM(Row1,C2) + (M3*Ndx(n)*Ndy(i) + M2*Ndx(i)*Ndy(n))*DetJ;
feSM(Row2,C1)=feSM(Row2,C1) + (M3*Ndx(i)*Ndy(n) + M2*Ndx(n)*Ndy(i))*DetJ;
feSM(Row2,C2)=feSM(Row2,C2) + (M1*Ndy(n)*Ndy(i) + M2*Ndx(n)*Ndx(i))*DetJ;
    END DO ! I
feRhs(Row1) = feRhs(Row1) + Kvol*Et*Ndx(N)*DetJ;
feRhs(Row2) = feRhs(Row2) + Kvol*Et*Ndy(N)*DetJ;
END DO
END DO
    
```

Równania MES dla przestrzennego stanu odkształcenia

Odształcenie przestrzenne

$$\begin{Bmatrix} \varepsilon_x \\ \varepsilon_y \\ \varepsilon_z \\ 2\varepsilon_{xy} \\ 2\varepsilon_{yz} \\ 2\varepsilon_{zx} \end{Bmatrix} = \begin{bmatrix} \frac{\partial}{\partial x} & 0 & 0 \\ 0 & \frac{\partial}{\partial y} & 0 \\ 0 & 0 & \frac{\partial}{\partial z} \\ \frac{\partial}{\partial y} & \frac{\partial}{\partial x} & 0 \\ 0 & \frac{\partial}{\partial z} & \frac{\partial}{\partial y} \\ \frac{\partial}{\partial z} & \frac{\partial}{\partial x} & 0 \end{bmatrix} \begin{Bmatrix} u_x \\ u_y \\ u_z \end{Bmatrix} = [L]\{u\} = [B]\{U\}$$

$$[L] = \begin{bmatrix} \frac{\partial}{\partial x} & 0 & 0 \\ 0 & \frac{\partial}{\partial y} & 0 \\ 0 & 0 & \frac{\partial}{\partial z} \\ \frac{\partial}{\partial y} & \frac{\partial}{\partial x} & 0 \\ 0 & \frac{\partial}{\partial z} & \frac{\partial}{\partial y} \\ \frac{\partial}{\partial z} & 0 & \frac{\partial}{\partial x} \end{bmatrix}$$

$$[B] = \begin{bmatrix} \frac{\partial[N]}{\partial x} & 0 & 0 \\ 0 & \frac{\partial[N]}{\partial y} & 0 \\ 0 & 0 & \frac{\partial[N]}{\partial z} \\ \frac{\partial[N]}{\partial y} & \frac{\partial[N]}{\partial x} & 0 \\ 0 & \frac{\partial[N]}{\partial z} & \frac{\partial[N]}{\partial y} \\ \frac{\partial[N]}{\partial z} & 0 & \frac{\partial[N]}{\partial x} \end{bmatrix}$$

$$\{u\} = \begin{Bmatrix} u_x \\ u_y \\ u_z \end{Bmatrix} = \begin{bmatrix} [N] & 0 & 0 \\ 0 & [N] & 0 \\ 0 & 0 & [N] \end{bmatrix} \begin{Bmatrix} \{U_x\} \\ \{U_y\} \\ \{U_z\} \end{Bmatrix} = [\bar{N}]\{U\}$$

$$[N] = [N_1 \ N_2 \ N_3 \ N_4]$$

$$\begin{aligned} N_1 &= L_1 \\ N_2 &= L_2 \\ N_3 &= L_3 \\ N_4 &= L_4 \end{aligned}$$



$$\{\sigma\} = [D]\{\varepsilon\} - [D]\{\varepsilon_{0i}\}$$

$$[D] = \frac{E}{(1+\nu)(1-2\nu)} \begin{bmatrix} 1-\nu & \nu & \nu & 0 & 0 & 0 \\ & 1-\nu & \nu & 0 & 0 & 0 \\ & & 1-\nu & 0 & 0 & 0 \\ & & & \frac{(1-2\nu)}{2} & 0 & 0 \\ & & & & \frac{(1-2\nu)}{2} & 0 \\ & & & & & \frac{(1-2\nu)}{2} \\ \text{sym} & & & & & \end{bmatrix}$$

$$\sigma_x = \frac{E}{(1+\nu)(1-2\nu)} (\varepsilon_x(1-\nu) + \varepsilon_y\nu + \varepsilon_z\nu)$$

$$\sigma_{xy} = \frac{E}{(1+\nu)(1-2\nu)} \left(2\varepsilon_{xy} \frac{1-2\nu}{2} \right) = 2G\varepsilon_{xy}$$

Rozpatrzymy otrzymanie formuł dla elementów matrycy sztywności

$$[K_e] = \int_{V_e} [B]^T [D] [B] dV$$

$$[B]^T = \begin{bmatrix} 0 & 0 & \frac{\partial [N]^T}{\partial z} & 0 & \frac{\partial [N]^T}{\partial y} & \frac{\partial [N]^T}{\partial x} \\ 0 & \frac{\partial [N]^T}{\partial y} & 0 & \frac{\partial [N]^T}{\partial x} & \frac{\partial [N]^T}{\partial z} & 0 \\ \frac{\partial [N]^T}{\partial x} & 0 & 0 & \frac{\partial [N]^T}{\partial y} & 0 & \frac{\partial [N]^T}{\partial z} \end{bmatrix} \quad [D] = \frac{E}{(1+\nu)(1-2\nu)} \begin{bmatrix} 1-\nu & \nu & \nu & 0 & 0 & 0 \\ & 1-\nu & \nu & 0 & 0 & 0 \\ & & 1-\nu & 0 & 0 & 0 \\ & & & \frac{(1-2\nu)}{2} & 0 & 0 \\ & & & & \frac{(1-2\nu)}{2} & 0 \\ & & & & & \frac{(1-2\nu)}{2} \\ \text{sym} & & & & & \end{bmatrix} \quad [B] = \begin{bmatrix} \frac{\partial [N]}{\partial x} & 0 & 0 \\ 0 & \frac{\partial [N]}{\partial y} & 0 \\ 0 & 0 & \frac{\partial [N]}{\partial z} \\ \frac{\partial [N]}{\partial y} & \frac{\partial [N]}{\partial x} & 0 \\ 0 & \frac{\partial [N]}{\partial z} & \frac{\partial [N]}{\partial x} \\ \frac{\partial [N]}{\partial z} & 0 & \frac{\partial [N]}{\partial x} \end{bmatrix}$$

$$[B]^T [D] = \frac{E}{(1+\nu)(1-2\nu)} \begin{bmatrix} (1-\nu) \frac{\partial [N]^T}{\partial x} & \nu \frac{\partial [N]^T}{\partial x} & \nu \frac{\partial [N]^T}{\partial x} & \frac{1-2\nu}{2} \frac{\partial [N]^T}{\partial y} & 0 & \frac{1-2\nu}{2} \frac{\partial [N]^T}{\partial z} \\ \nu \frac{\partial [N]^T}{\partial y} & (1-\nu) \frac{\partial [N]^T}{\partial y} & \nu \frac{\partial [N]^T}{\partial y} & \frac{1-2\nu}{2} \frac{\partial [N]^T}{\partial x} & \frac{1-2\nu}{2} \frac{\partial [N]^T}{\partial z} & 0 \\ \nu \frac{\partial [N]^T}{\partial z} & \nu \frac{\partial [N]^T}{\partial z} & (1-\nu) \frac{\partial [N]^T}{\partial z} & 0 & \frac{1-2\nu}{2} \frac{\partial [N]^T}{\partial y} & \frac{1-2\nu}{2} \frac{\partial [N]^T}{\partial x} \end{bmatrix}$$

$$[B]^T [D] [B] = \frac{E}{(1+\nu)(1-2\nu)} \begin{bmatrix} (1-\nu) \frac{\partial [N]^T}{\partial x} \frac{\partial [N]}{\partial x} + \frac{1-2\nu}{2} \frac{\partial [N]^T}{\partial y} \frac{\partial [N]}{\partial y} + \frac{1-2\nu}{2} \frac{\partial [N]^T}{\partial z} \frac{\partial [N]}{\partial z} & \nu \frac{\partial [N]^T}{\partial y} \frac{\partial [N]}{\partial x} + \frac{1-2\nu}{2} \frac{\partial [N]^T}{\partial y} \frac{\partial [N]}{\partial x} & \nu \frac{\partial [N]^T}{\partial x} \frac{\partial [N]}{\partial z} + \frac{1-2\nu}{2} \frac{\partial [N]^T}{\partial x} \frac{\partial [N]}{\partial z} \\ \nu \frac{\partial [N]^T}{\partial y} \frac{\partial [N]}{\partial x} + \frac{1-2\nu}{2} \frac{\partial [N]^T}{\partial y} \frac{\partial [N]}{\partial x} & (1-\nu) \frac{\partial [N]^T}{\partial x} \frac{\partial [N]}{\partial x} + \frac{1-2\nu}{2} \frac{\partial [N]^T}{\partial y} \frac{\partial [N]}{\partial y} + \frac{1-2\nu}{2} \frac{\partial [N]^T}{\partial z} \frac{\partial [N]}{\partial z} & \nu \frac{\partial [N]^T}{\partial y} \frac{\partial [N]}{\partial z} + \frac{1-2\nu}{2} \frac{\partial [N]^T}{\partial y} \frac{\partial [N]}{\partial z} \\ \nu \frac{\partial [N]^T}{\partial x} \frac{\partial [N]}{\partial z} + \frac{1-2\nu}{2} \frac{\partial [N]^T}{\partial x} \frac{\partial [N]}{\partial z} & \nu \frac{\partial [N]^T}{\partial y} \frac{\partial [N]}{\partial z} + \frac{1-2\nu}{2} \frac{\partial [N]^T}{\partial y} \frac{\partial [N]}{\partial z} & (1-\nu) \frac{\partial [N]^T}{\partial x} \frac{\partial [N]}{\partial x} + \frac{1-2\nu}{2} \frac{\partial [N]^T}{\partial y} \frac{\partial [N]}{\partial y} + \frac{1-2\nu}{2} \frac{\partial [N]^T}{\partial z} \frac{\partial [N]}{\partial z} \end{bmatrix}$$

Elementy wektora obciążeń

$$\int_{V_e} [B]^T [D] \{\varepsilon_0\} dV = \frac{E}{(1+\nu)(1-2\nu)} \left\{ \begin{array}{l} \int_{V_e} \left(\frac{\partial [N]^T}{\partial x} \beta \Delta t \right) dV \\ \int_{V_e} \left(\frac{\partial [N]^T}{\partial y} \beta \Delta t \right) dV \\ \int_{V_e} \left(\frac{\partial [N]^T}{\partial z} \beta \Delta t \right) dV \end{array} \right\} \quad \{P\} = \begin{Bmatrix} P_x \\ P_y \\ P_z \end{Bmatrix}$$

$$\{F_e\} = - \int_{V_e} [B]^T [D] \{\varepsilon_0\} dV - \int_{V_e} [\bar{N}]^T \{M\} dV - \int_{S_e} [\bar{N}]^T \{p\} dS = \{P\}$$

$$[\bar{N}] = \begin{bmatrix} [N] & 0 & 0 \\ 0 & [N] & 0 \\ 0 & 0 & [N] \end{bmatrix}$$

$$[\bar{N}]^T = \begin{bmatrix} 0 & 0 & [N]^T \\ 0 & [N]^T & 0 \\ [N]^T & 0 & 0 \end{bmatrix}$$

$$\{M\} = \begin{Bmatrix} m_x \\ m_y \\ m_z \end{Bmatrix}$$

$$\{p\} = \begin{Bmatrix} P_x \\ P_y \\ P_z \end{Bmatrix}$$

Równania MES dla teorii plastycznego płynięcia w formie macierzowej

Wariacyjne sformułowanie:

$$\{\sigma\} = \sigma_0 [I]^T + \{s\} = \sigma_0 [I]^T + [D]\{\dot{\epsilon}\} \quad [I] = [1 \ 1 \ 0] \quad [I]^T = \begin{bmatrix} 1 \\ 1 \\ 0 \end{bmatrix}$$

$$\{\dot{\epsilon}\} = \begin{Bmatrix} \dot{\epsilon}_{xx} \\ \dot{\epsilon}_{yy} \\ 2\dot{\epsilon}_{xy} \end{Bmatrix} \quad \dot{\epsilon}_0 = [I]\{\dot{\epsilon}\} = [1 \ 1 \ 0] \begin{Bmatrix} \dot{\epsilon}_{xx} \\ \dot{\epsilon}_{yy} \\ 2\dot{\epsilon}_{xy} \end{Bmatrix} \quad \sigma_0 = [I]\{\sigma\} = [1 \ 1 \ 0] \begin{Bmatrix} \sigma_{xx} \\ \sigma_{yy} \\ 2\sigma_{xy} \end{Bmatrix}$$

$$W = \int_V \frac{1}{2} \{\dot{\epsilon}\}^T \{s\} dV + \int_V \sigma_0 [I]\{\dot{\epsilon}\} dV \quad J(v_i^*, \sigma_0) = \frac{1}{2} \int_V \mu \dot{\epsilon}_i^{*2} dV + \int_V \sigma_0 \operatorname{div} \tilde{v} dV - \int_S p_i v_i^* dS$$

$$W_p = \int_S \{v\}^T \{p\} dS$$

$$J = \int_V \frac{1}{2} \{\dot{\epsilon}\}^T \{s\} dV + \int_V \sigma_0 [I]\{\dot{\epsilon}\} dV - \int_S \{v\}^T \{p\} dS \quad \{p\} = \begin{Bmatrix} p_x \\ p_y \end{Bmatrix}$$

$$J = \int_V \frac{1}{2} \{\dot{\epsilon}\}^T \{s\} dV + \int_V \sigma_0 [I]\{\dot{\epsilon}\} dV - \int_S \{v\}^T \{p\} dS$$



$$\{s\} = [D]\{\dot{\epsilon}\} = \begin{Bmatrix} 2\mu\dot{\epsilon}_{xx} \\ 2\mu\dot{\epsilon}_{yy} \\ \mu 2\dot{\epsilon}_{xy} \end{Bmatrix}$$

$$\{\dot{\epsilon}\} = \begin{Bmatrix} \dot{\epsilon}_{xx} \\ \dot{\epsilon}_{yy} \\ 2\dot{\epsilon}_{xy} \end{Bmatrix}$$

$$\sigma_x = \sigma_0 + 2\mu\dot{\epsilon}_x$$

$$\sigma_y = \sigma_0 + 2\mu\dot{\epsilon}_y$$

$$\sigma_{xy} = \mu 2\dot{\epsilon}_{xy}$$

$$[D] = \begin{bmatrix} 2\mu & 0 & 0 \\ 0 & 2\mu & 0 \\ 0 & 0 & \mu \end{bmatrix}$$

$$\{s\} = \begin{Bmatrix} 2\mu\dot{\epsilon}_{xx} \\ 2\mu\dot{\epsilon}_{yy} \\ \mu 2\dot{\epsilon}_{xy} \end{Bmatrix}$$

$$J = \int_V \frac{1}{2} \{\dot{\epsilon}\}^T [D]\{\dot{\epsilon}\} dV + \int_V \sigma_0 [I]\{\dot{\epsilon}\} dV - \int_S \{v\}^T \{p\} dS$$

$$\mu = \frac{\sigma_i}{\dot{\epsilon}_i}$$

$$\{\dot{\epsilon}\} = \begin{Bmatrix} \dot{\epsilon}_x \\ \dot{\epsilon}_y \\ 2\dot{\epsilon}_{xy} \end{Bmatrix} = \begin{bmatrix} \frac{\partial}{\partial x} & 0 \\ 0 & \frac{\partial}{\partial y} \\ \frac{\partial}{\partial y} & \frac{\partial}{\partial x} \end{bmatrix} \begin{Bmatrix} v_x \\ v_y \end{Bmatrix} = \begin{bmatrix} \frac{\partial}{\partial x} & 0 \\ 0 & \frac{\partial}{\partial y} \\ \frac{\partial}{\partial y} & \frac{\partial}{\partial x} \end{bmatrix} \begin{Bmatrix} [N]\{v_x\} \\ [N]\{v_y\} \end{Bmatrix} = \begin{bmatrix} \frac{\partial[N]}{\partial x} & 0 \\ 0 & \frac{\partial[N]}{\partial y} \\ \frac{\partial[N]}{\partial y} & \frac{\partial[N]}{\partial x} \end{bmatrix} \begin{Bmatrix} \{v_x\} \\ \{v_y\} \end{Bmatrix} = [B]\{v\}$$

$$v_x = [N]\{v_x\}$$

$$v_y = [N]\{v_y\}$$

$$[B] = \begin{bmatrix} \frac{\partial[N]}{\partial x} & 0 \\ 0 & \frac{\partial[N]}{\partial y} \\ \frac{\partial[N]}{\partial y} & \frac{\partial[N]}{\partial x} \end{bmatrix}$$

$$\{\dot{\epsilon}\} = [B]\{v\}$$

$$\{v\} = \begin{Bmatrix} v_x \\ v_y \end{Bmatrix} = \begin{bmatrix} [N] & 0 \\ 0 & [N] \end{bmatrix} \begin{Bmatrix} \{v_x\} \\ \{v_y\} \end{Bmatrix} = [\bar{N}]\{v\}$$

$$[\bar{N}] = \begin{bmatrix} N_1 & N_2 \dots & N_p & 0 & 0 \dots & 0 \\ 0 & 0 \dots & 0 & N_1 & N_2 \dots & N_p \end{bmatrix} = \begin{bmatrix} [N] & 0 \\ 0 & [N] \end{bmatrix}$$

Aproksymacja średniego naprężenia: $\sigma_0 = [N]\{\sigma_0\}$ $\sigma_0 = [H]\{\sigma_0\}$

$$\dot{\epsilon}_0 = [I]\{\dot{\epsilon}\} = [I \quad 1 \quad 0] \begin{Bmatrix} \dot{\epsilon}_{xx} \\ \dot{\epsilon}_{yy} \\ 2\dot{\epsilon}_{xy} \end{Bmatrix} = [I][B]\{v\} = [E]\{v\}$$

$$[E] = [I][B] = \begin{bmatrix} \frac{\partial[N]}{\partial x} & \frac{\partial[N]}{\partial y} \end{bmatrix}$$

$$\{s\} = [D][B]\{v\}$$

$$J = \int_V \frac{1}{2} \{v\}^T [B]^T [D][B]\{v\} dV + \int_V \sigma_0 [E]\{v\} dV - \int_S \{v\}^T [\bar{N}]^T \{p\} dS = 0$$

$$J = \int_V \frac{1}{2} \{v\}^T [B]^T [D][B]\{v\} dV + \int_V [H]\{\sigma_0\} [E]\{v\} dV - \int_S \{v\}^T [\bar{N}]^T \{p\} dS = 0$$

$$\frac{\partial J}{\partial \{v\}} = \left(\int_V [B]^T [D][B] dV \right) \{v\} + \left(\int_V [E]^T [H] dV \right) \{\sigma_0\} - \int_S [\bar{N}]^T \{p\} dS = 0$$

$$\frac{\partial J}{\partial \{\sigma_0\}} = \left(\int_V [H]^T [E] dV \right) \{v\} = 0$$

$$[K]\{v, \sigma_0\} + \{F\} = 0$$

Otrzymamy poszczególne komponenty matrycy [K]:

$$[B]^T [D][B] = \begin{bmatrix} \frac{\partial[N]^T}{\partial x} & 0 & \frac{\partial[N]^T}{\partial y} \\ 0 & \frac{\partial[N]^T}{\partial y} & \frac{\partial[N]^T}{\partial x} \end{bmatrix} \begin{bmatrix} 2\mu & 0 & 0 \\ 0 & 2\mu & 0 \\ 0 & 0 & \mu \end{bmatrix} \begin{bmatrix} \frac{\partial[N]}{\partial x} & 0 \\ 0 & \frac{\partial[N]}{\partial y} \\ \frac{\partial[N]}{\partial y} & \frac{\partial[N]}{\partial x} \end{bmatrix}$$

$$[B]^T [D] = \begin{bmatrix} 2\mu \frac{\partial[N]^T}{\partial x} & 0 & \mu \frac{\partial[N]^T}{\partial y} \\ 0 & 2\mu \frac{\partial[N]^T}{\partial y} & \mu \frac{\partial[N]^T}{\partial x} \end{bmatrix}$$

$$[B]^T [D][B] = \begin{bmatrix} 2\mu \frac{\partial[N]^T}{\partial x} \frac{\partial[N]}{\partial x} + \mu \frac{\partial[N]^T}{\partial y} \frac{\partial[N]}{\partial y} & \mu \frac{\partial[N]^T}{\partial x} \frac{\partial[N]}{\partial y} \\ \mu \frac{\partial[N]^T}{\partial y} \frac{\partial[N]}{\partial x} & 2\mu \frac{\partial[N]^T}{\partial y} \frac{\partial[N]}{\partial y} + \mu \frac{\partial[N]^T}{\partial x} \frac{\partial[N]}{\partial x} \end{bmatrix}$$

Matryca sztywności

$$\frac{\partial J}{\partial \{v\}} = \left(\int_V [B]^T [D] [B] dV \right) \{v\} + \left(\int_V [E]^T [H] dV \right) \{\sigma_0\} - \int_S [\bar{N}]^T \{p\} dS = 0$$

$$\frac{\partial J}{\partial \{\sigma_0\}} = \left(\int_V [H]^T [E] dV \right) \{v\} = 0$$

$$[K] = \int_V \begin{bmatrix} 2\mu \frac{\partial [N]^T}{\partial x} \frac{\partial [N]}{\partial x} + \mu \frac{\partial [N]^T}{\partial y} \frac{\partial [N]}{\partial y} & \mu \frac{\partial [N]^T}{\partial x} \frac{\partial [N]}{\partial y} & \frac{\partial [N]^T}{\partial x} [H] \\ \mu \frac{\partial [N]^T}{\partial y} \frac{\partial [N]}{\partial x} + \mu \frac{\partial [N]^T}{\partial y} \frac{\partial [N]}{\partial y} & 2\mu \frac{\partial [N]^T}{\partial y} \frac{\partial [N]}{\partial y} + \mu \frac{\partial [N]^T}{\partial x} \frac{\partial [N]}{\partial x} & \frac{\partial [N]^T}{\partial y} [H] \\ [H]^T \frac{\partial [N]}{\partial x} & [H]^T \frac{\partial [N]}{\partial y} & 0 \end{bmatrix} dV \quad \{F\} = \int_S \begin{Bmatrix} [N]^T p_x \\ [N]^T p_y \\ 0 \end{Bmatrix} dS$$

Fragment kodu

```

DO P=1, ELSI%N_p
  DO N=1,NBN
    Row1 = N;
    Row2 = NBN + N;
    Row3 = 2*NBN + N;
    DO I=1,NBN
      C1 = I;
      C2 = NBN + I;
      C3 = 2*NBN + I;
      feSM(Row1,C1)=feSM(Row1,C1) + m*(2*Ndx(N)*Ndx(i)+Ndy(N)*Ndy(i))*DetJ;
      feSM(Row1,C2)=feSM(Row1,C2) + m*Ndx(i)*Ndy(N)*DetJ;

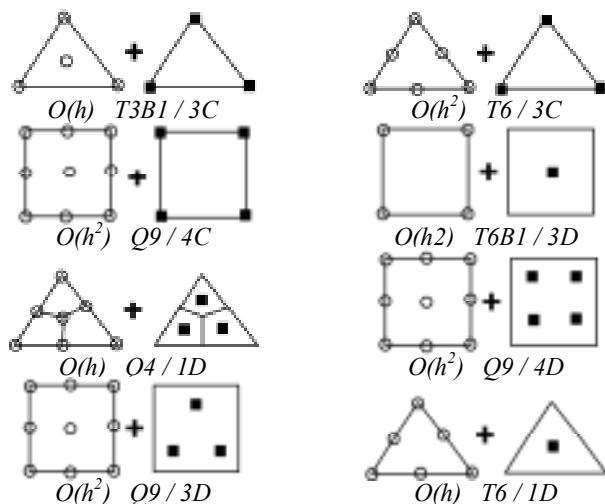
      if (i<=NBNp) feSM(Row1,C3)=feSM(Row1,C3) + Ndx(N)*detJ*Hk(i,p);

      feSM(Row2,C1)=feSM(Row2,C1) + m*Ndx(N)*Ndy(i)*DetJ;
      feSM(Row2,C2)=feSM(Row2,C2) + m*(2*Ndy(N)*Ndy(i)+Ndx(N)*Ndx(i))*DetJ

      if (i<=NBNp) feSM(Row2,C3) = feSM(Row2,C3) + Ndy(N)*detJ*Hk(i,p);

      if (N<=NBNp) then
        feSM(Row3,C1) = feSM(Row3,C1) + Ndx(i)*detJ*Hk(n,p);
        feSM(Row3,C2) = feSM(Row3,C2) + Ndy(i)*detJ*Hk(n,p);
      end if
    END DO
  END DO
END DO
  
```

Stabilne układy N (○) i H (■) interpolacji



Uwzględnienie warunków brzegowych w matryce sztywności elementu.

	v_{x1}	v_{x2}	v_{x3}	v_{y1}	v_{y2}	v_{y3}	σ_1	σ_2	σ_3
v_{x1}	k_{11}	k_{12}	k_{13}	k_{14}	k_{15}	k_{16}	k_{17}	k_{18}	k_{19}
v_{x2}	k_{21}	k_{22}	k_{23}	k_{24}	k_{25}	k_{26}	k_{27}	k_{28}	k_{29}
v_{x3}	k_{31}	k_{32}	k_{33}	k_{34}	k_{35}	k_{36}	k_{37}	k_{38}	k_{39}
v_{y1}	k_{41}	k_{42}	k_{43}	k_{44}	k_{45}	k_{46}	k_{47}	k_{48}	k_{49}
v_{y2}	k_{51}	k_{52}	k_{53}	k_{54}	k_{55}	k_{56}	k_{57}	k_{58}	k_{59}
v_{y3}	k_{61}	k_{62}	k_{63}	k_{64}	k_{65}	k_{66}	k_{67}	k_{68}	k_{69}
σ_1	k_{71}	k_{72}	k_{73}	k_{74}	k_{75}	k_{76}	k_{77}	k_{78}	k_{79}
σ_2	k_{81}	k_{82}	k_{83}	k_{84}	k_{85}	k_{86}	k_{87}	k_{88}	k_{89}
σ_3	k_{91}	k_{92}	k_{93}	k_{94}	k_{95}	k_{96}	k_{97}	k_{98}	k_{99}



$$[N] = [H]$$

$$[k] = \int_V \begin{bmatrix} \mu \left(2 \frac{\partial [N]^T}{\partial x} \frac{\partial [N]}{\partial x} + \frac{\partial [N]^T}{\partial y} \frac{\partial [N]}{\partial y} \right) & \mu \frac{\partial [N]^T}{\partial x} \frac{\partial [N]}{\partial y} & \frac{\partial [N]^T}{\partial x} [H] \\ \mu \frac{\partial [N]^T}{\partial y} \frac{\partial [N]}{\partial x} + \mu \frac{\partial [N]^T}{\partial y} \frac{\partial [N]}{\partial y} & \mu \left(2 \frac{\partial [N]^T}{\partial y} \frac{\partial [N]}{\partial y} + \frac{\partial [N]^T}{\partial x} \frac{\partial [N]}{\partial x} \right) & \frac{\partial [N]^T}{\partial y} [H] \\ [H]^T \frac{\partial [N]}{\partial x} & [H]^T \frac{\partial [N]}{\partial y} & 0 \end{bmatrix} dV$$

Uwzględnienie warunków brzegowych w macryce sztywności elementu.

DO n=1,NBN (I)

Row1 = n;

Row2 = NBN + n;

Row3 = 2*NBN + n;

DO i=1,NBN (J)

C1 = i;

C2 = NBN + i;

C3 = 2*NBN + i;

feSM(Row1,C1)=feSM(Row1,C1) + m*(2*Ndx(n)*Ndx(i)+Ndy(n)*Ndy(i))*DetJ;

feSM(Row1,C2)=feSM(Row1,C2) + m*Ndx(i)*Ndy(n)*DetJ;

feSM(Row1,C3)=feSM(Row1,C3) + Ndx(n)*detJ*Hk(i,p);

feSM(Row2,C1)=feSM(Row2,C1) + m*Ndx(n)*Ndy(i)*DetJ;

feSM(Row2,C2)=feSM(Row2,C2) + m*(2*Ndy(n)*Ndy(i)+Ndx(n)*Ndx(i))*DetJ

feSM(Row2,C3) = feSM(Row2,C3) + Ndy(n)*detJ*Hk(i,p);

feSM(Row3,C1) = feSM(Row3,C1) + Ndx(i)*detJ*Hk(n,p);

feSM(Row3,C2) = feSM(Row3,C2) + Ndy(i)*detJ*Hk(n,p);

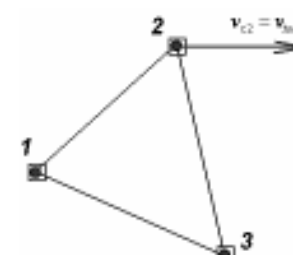
END DO

END DO

Uwzględnienie warunków brzegowych w macryce sztywności elementu.

	v _{x1}	v _{x2}	v _{x3}	v _{y1}	v _{y2}	v _{y3}	σ ₁	σ ₂	σ ₃	
v _{x1}	k ₁₁	k ₁₂	k ₁₃	k ₁₄	k ₁₅	k ₁₆	k ₁₇	k ₁₈	k ₁₉	f ₁
v _{x2}	k ₂₁	k ₂₂	k ₂₃	k ₂₄	k ₂₅	k ₂₆	k ₂₇	k ₂₈	k ₂₉	f ₂
v _{x3}	k ₃₁	k ₃₂	k ₃₃	k ₃₄	k ₃₅	k ₃₆	k ₃₇	k ₃₈	k ₃₉	f ₃
v _{y1}	k ₄₁	k ₄₂	k ₄₃	k ₄₄	k ₄₅	k ₄₆	k ₄₇	k ₄₈	k ₄₉	f ₄
v _{y2}	k ₅₁	k ₅₂	k ₅₃	k ₅₄	k ₅₅	k ₅₆	k ₅₇	k ₅₈	k ₅₉	f ₅
v _{y3}	k ₆₁	k ₆₂	k ₆₃	k ₆₄	k ₆₅	k ₆₆	k ₆₇	k ₆₈	k ₆₉	f ₆
σ ₁	k ₇₁	k ₇₂	k ₇₃	k ₇₄	k ₇₅	k ₇₆	k ₇₇	k ₇₈	k ₇₉	f ₇
σ ₂	k ₈₁	k ₈₂	k ₈₃	k ₈₄	k ₈₅	k ₈₆	k ₈₇	k ₈₈	k ₈₉	f ₈
σ ₃	k ₉₁	k ₉₂	k ₉₃	k ₉₄	k ₉₅	k ₉₆	k ₉₇	k ₉₈	k ₉₉	f ₉

v_{x2} = v_{tool}



	v _{x1}	v _{x2}	v _{x3}	v _{y1}	v _{y2}	v _{y3}	σ ₁	σ ₂	σ ₃	
v _{x1}	k ₁₁	0	k ₁₃	k ₁₄	k ₁₅	k ₁₆	k ₁₇	k ₁₈	k ₁₉	f ₁ - k ₁₂ v _{tool}
v _{x2}	0	k ₂₂	0	0	0	0	0	0	0	k ₂₂ v _{tool}
v _{x3}	k ₃₁	0	k ₃₃	k ₃₄	k ₃₅	k ₃₆	k ₃₇	k ₃₈	k ₃₉	f ₃ - k ₃₂ v _{tool}
v _{y1}	k ₄₁	0	k ₄₃	k ₄₄	k ₄₅	k ₄₆	k ₄₇	k ₄₈	k ₄₉	f ₄ - k ₃₂ v _{tool}
v _{y2}	k ₅₁	0	k ₅₃	k ₅₄	k ₅₅	k ₅₆	k ₅₇	k ₅₈	k ₅₉	f ₅ - k ₃₂ v _{tool}
v _{y3}	k ₆₁	0	k ₆₃	k ₆₄	k ₆₅	k ₆₆	k ₆₇	k ₆₈	k ₆₉	f ₆ - k ₃₂ v _{tool}
σ ₁	k ₇₁	0	k ₇₃	k ₇₄	k ₇₅	k ₇₆	k ₇₇	k ₇₈	k ₇₉	f ₇ - k ₃₂ v _{tool}
σ ₂	k ₈₁	0	k ₈₃	k ₈₄	k ₈₅	k ₈₆	k ₈₇	k ₈₈	k ₈₉	f ₈ - k ₃₂ v _{tool}
σ ₃	k ₉₁	0	k ₉₃	k ₉₄	k ₉₅	k ₉₆	k ₉₇	k ₉₈	k ₉₉	f ₉ - k ₃₂ v _{tool}

	v _{x1}	v _{x2}	v _{x3}	v _{y1}	v _{y2}	v _{y3}	σ ₁	σ ₂	σ ₃	
v _{x1}	k ₁₁	0	k ₁₃	k ₁₄	k ₁₅	k ₁₆	k ₁₇	k ₁₈	k ₁₉	f ₁ - k ₁₂ v _{tool}
v _{x2}	0	k ₂₂	0	0	0	0	0	0	0	k ₂₂ v _{tool}
v _{x3}	k ₃₁	0	k ₃₃	k ₃₄	k ₃₅	k ₃₆	k ₃₇	k ₃₈	k ₃₉	f ₃ - k ₃₂ v _{tool}
v _{y1}	k ₄₁	0	k ₄₃	k ₄₄	k ₄₅	k ₄₆	k ₄₇	k ₄₈	k ₄₉	f ₄ - k ₃₂ v _{tool}
v _{y2}	k ₅₁	0	k ₅₃	k ₅₄	k ₅₅	k ₅₆	k ₅₇	k ₅₈	k ₅₉	f ₅ - k ₃₂ v _{tool}
v _{y3}	k ₆₁	0	k ₆₃	k ₆₄	k ₆₅	k ₆₆	k ₆₇	k ₆₈	k ₆₉	f ₆ - k ₃₂ v _{tool}
σ ₁	k ₇₁	0	k ₇₃	k ₇₄	k ₇₅	k ₇₆	0	0	0	0 - k ₃₂ v _{tool}
σ ₂	k ₈₁	0	k ₈₃	k ₈₄	k ₈₅	k ₈₆	0	0	0	0 - k ₃₂ v _{tool}
σ ₃	k ₉₁	0	k ₉₃	k ₉₄	k ₉₅	k ₉₆	0	0	0	0 - k ₃₂ v _{tool}

$$[K] = \int_V \begin{bmatrix} 2\mu \frac{\partial [N]^T}{\partial x} \frac{\partial [N]}{\partial x} + \mu \frac{\partial [N]^T}{\partial y} \frac{\partial [N]}{\partial y} & \mu \frac{\partial [N]^T}{\partial x} \frac{\partial [N]}{\partial y} & \frac{\partial [N]^T}{\partial x} [H] \\ \mu \frac{\partial [N]^T}{\partial y} \frac{\partial [N]}{\partial x} + \mu \frac{\partial [N]^T}{\partial y} \frac{\partial [N]}{\partial y} & 2\mu \frac{\partial [N]^T}{\partial y} \frac{\partial [N]}{\partial y} + \mu \frac{\partial [N]^T}{\partial x} \frac{\partial [N]}{\partial x} & \frac{\partial [N]^T}{\partial y} [H] \\ [H]^T \frac{\partial [N]}{\partial x} & [H]^T \frac{\partial [N]}{\partial y} & 0 \end{bmatrix} dV$$



Uwzględnienie warunków brzegowych w macryce sztywności elementu. Fragment kodu.

```

do i=1,nbn
j = abs(feVrtxMapSlv(LnElem));
Status=vrTxStatusSlv(j);
SELECT CASE(Status)
case(5,69,11,75)
Nzad=1;
NUM_zad(1)=i; VAL_zad(1)=0.0;
case(10,74)
Nzad=2;
NUM_zad(1)=i; VAL_zad(1)=vrTxVelSlv(1,j);
NUM_zad(2)=i+nbn; VAL_zad(2)=vrTxVelSlv(2,j);
case(8,72)
Nzad=2;
NUM_zad(1)=i; VAL_zad(1)=vrTxVelSlv(1,j);
NUM_zad(2)=i+nbn; VAL_zad(2)=vrTxVelSlv(2,j);
END SELECT;

do ii=1,Nzad
call mat_corr(NUM_zad(ii),VAL_zad(ii),feUknCount,feSM,feRhs);
end do;

end do;

subroutine mat_corr(Num, VAL_, ncn, est, r);
integer*4 ncn;
integer*4 Num;
real*8 VAL_;
real(8), dimension(ncn,ncn) :: est;
real(8), dimension(ncn) :: r;
integer i, j;

do j=1,ncn
if (j.NE.Num) est(Num,j)=0;
end do;
r(Num) = est(Num,Num)*VAL_;
do i=1,ncn
if (i.NE.Num) then
r(i)=r(i)-est(i,Num)*VAL_;
est(i,Num)=0;
end if;
end do;
end subroutine mat_corr;
    
```

Problemy z ograniczeniami, nieściślność, metoda mnożnika Lagrange'a, funkcji kary i metoda mieszana

1. Klasyczne sformułowanie, metoda mnożnika Lagrange'a

$$J(v_i, \sigma_0) = \frac{1}{2} \int_V \mu \dot{\epsilon}_i^2 dV + \int_V \sigma_0 \operatorname{div}(\bar{v}) dV - \int_S p_i v_i dS$$

2. Problemy z ograniczeniami. Nieprzenikalnie narzędzia

$$J(v_i, \sigma_0) = \frac{1}{2} \int_V \mu \dot{\epsilon}_i^2 dV + \int_V \sigma_0 \operatorname{div}(\bar{v}) dV - \int_S p_i v_i dS + K_w \int_S (w_n - v_n)^2 dS$$

3. Problemy z ograniczeniami. Nieściślność.

$$J(v_i, \sigma_0) = \frac{1}{2} \int_V \mu \dot{\epsilon}_i^2 dV + K_{pen} \int_V (\dot{\epsilon}_0)^2 dV - \int_S p_i v_i dS$$

4. Uwzględnienie tarcia za pomocą metody funkcji kary:

$$J(v_i, \sigma_0) = \frac{1}{2} \int_V \mu \dot{\epsilon}_i^2 dV + \int_V \sigma_0 \operatorname{div}(\bar{v}) dV - K_\tau^{(p)} \int_S (v_\tau)^2 dS$$

$$K_\tau^{(p)} = \frac{\sigma_\tau^{(p-1)}}{\nu_\tau^{(p-1)}}$$

2. Problemy z ograniczeniami. Nieprzenikalnie narzędzia

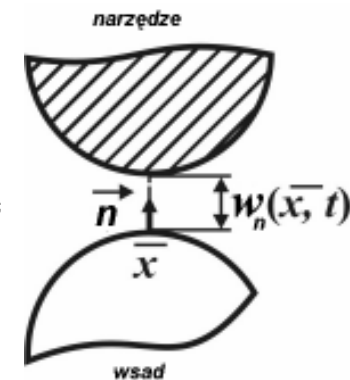
$$J(v_i, \sigma_0) = \frac{1}{2} \int_V \mu \dot{\epsilon}_i^2 dV + \int_V \sigma_0 \operatorname{div}(\bar{v}) dV - \int_S p_i v_i dS + K_w \int_S (w_n - v_n)^2 dS$$

$$v_n(x, t) \leq w_n(x, t)$$

```
DetJ_dop = DetJ_dop +
POVSiv(N_POV_GL)%DetJ(p)*SfSiv(N_pov_LOK)%W(p);
```

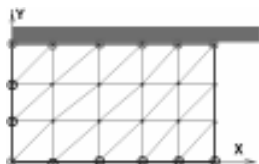
```
DO N=1,NBN
Id = abs(feVrtxMapSiv(N,nElem));
Row1 = N;
Row2 = NBN + N;
Pen_dop = DetJ_dop*G(N)*NdsSiv(idPov)%penalty*10000; !*VtoolSiv;
```

```
feSM(Row1,Row1)=feSM(Row1,Row1) + Pen_dop*( AxT(n)*AxT(n) );
feSM(Row1,Row2)=feSM(Row1,Row2) + Pen_dop*( AxT(n)*AyT(n) );
feSM(Row2,Row1)=feSM(Row2,Row1) + Pen_dop*( AyT(n)*AxT(n) );
feSM(Row2,Row2)=feSM(Row2,Row2) + Pen_dop*( AyT(n)*AyT(n) );
feRhs(Row1) = feRhs(Row1) + Pen_dop*AxT(n)*Wnt(n);
feRhs(Row2) = feRhs(Row2) + Pen_dop*AyT(n)*Wnt(n);
END DO;
```



3. Problemy z ograniczeniami. Nieściślność.

$$J(v_i, \sigma_0) = \frac{1}{2} \int_V \mu \dot{\epsilon}_i^2 dV + K_{pen} \int_V (\dot{\epsilon}_0)^2 dV - \int_S p_i v_i dS$$



$$\text{DOF} = 2 \cdot 10 + 7 = 27$$

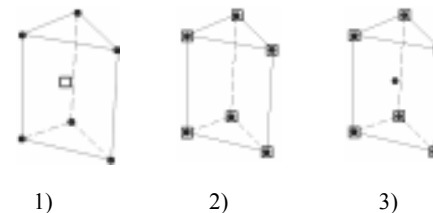
$$\text{Ncond} = \text{ne} = 30$$

$$\text{DOF} < \text{Ncond}$$

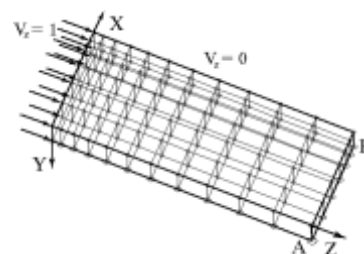
$$n_{dof} \geq n_\sigma \quad \text{Warunek Babuski-Brezzi}$$

$$K_{lock} = \frac{n_\sigma}{n_{dof}}$$

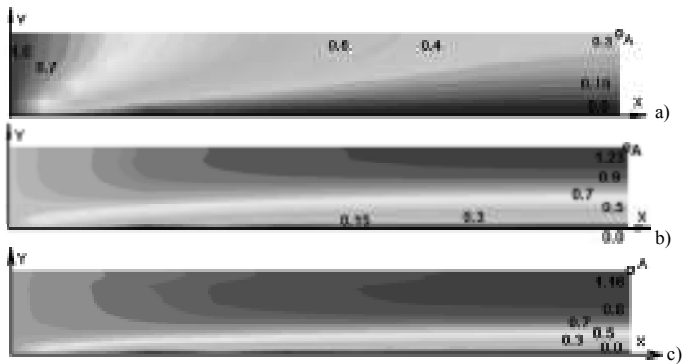
3. Problemy z ograniczeniami. Nieściślność.



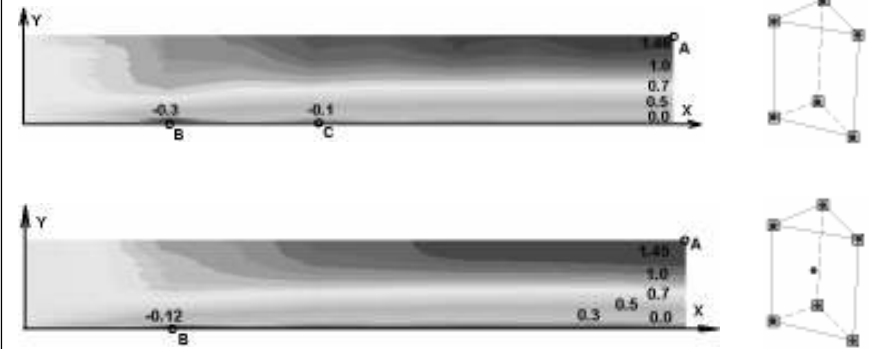
Zadanie testowe:



$$v_z = \frac{3}{2} \frac{B}{h^3} (h^2 - x^2)$$

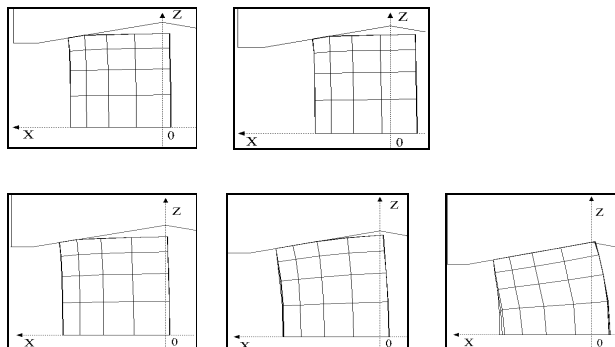


Rozwiązanie zadania Puzejla, a – $K_p=500\mu$; b – $K_p=25000\mu$; c – $K_p=100000\mu$.



4. Uwzględnienie tarcia za pomocą metody funkcji kary:

$$J(\vec{v}, \sigma_0) = \frac{1}{2} \int_V \mu \dot{\epsilon}_i^2 dV + \int_V \sigma_0 \operatorname{div}(\vec{v}) dV - K_r^{(p)} \int_S (v_r)^2 dS \quad K_r^{(p)} = \left| \frac{\sigma_r^{(p-1)}}{v_r^{(p-1)}} \right|$$



```

DO N=1,NBN
  Row1 = N;
  Row2 = NBN + N;
  Wes=8.0/9.0;
  if (N<=3) Wes=5.0/9.0;

  Vmax = dV(n);
  SigmaFr = m(n)*Ti(n)*(1-dexp(-0.722*Sx(n)/Ti(n)));
  Pen_dop = Wes*DetJ_dop*X(n)*SigmaFr /Vmax;

  feSM(Row1,Row1)=feSM(Row1,Row1) + Pen_dop !* Ax1(n)*Ax1(n);
  feSM(Row1,Row2)=feSM(Row1,Row2) + Pen_dop !* Ax1(n)*Ay1(n);
  feSM(Row2,Row1)=feSM(Row2,Row1) + Pen_dop !* Ay1(n)*Ax1(n);
  feSM(Row2,Row2)=feSM(Row2,Row2) + Pen_dop !* Ay1(n)*Ay1(n);
  feRhs(Row1) = feRhs(Row1) + Pen_dop * ( Ax1(n) * W1(n) );
  feRhs(Row2) = feRhs(Row2) + Pen_dop * ( Ay1(n) * W1(n) );
end if;
    
```

END DO;

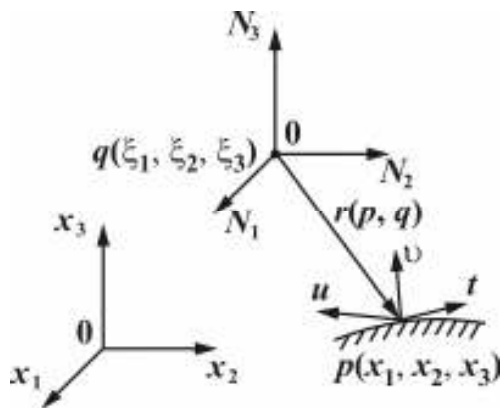
Metoda elementów brzegowych (MEB, BEM)

Trevelyan J. Boundary Elements for Engineers (Theory and Applications): Computational Mechanics Publications, 1994 – 228 p.

S.L.Crouch and A.M.Starfield Boundary element methods in solid mechanics, George Allen & Unwin, London, 1983. 322 p.

www.wessex.ac.uk

Fundamentalne rozwiązania zadani sprężystości



$$r(p, q) = \sqrt{(x_1 - \xi_1)^2 + (x_2 - \xi_2)^2 + (x_3 - \xi_3)^2}$$

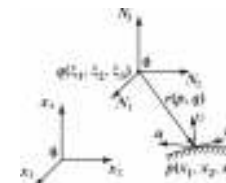
Rozwiązanie zadań teorii sprężystości za pomocą MEB może być oparte o rozwiązanie fundamentalne Kelvina, które otrzymane w teorii sprężystości dla zadania obliczenia stanu naprężeń i przemieszczeń w punkcie p nieskończonego ośrodka przy oddziaływaniu siły jednostkowej w punkcie q . Formuły Kelvina mogą być zapisane w sposób następujący

$$u_{ij}(p, q) = \frac{1}{16\pi(1-\nu_0)Gr} \left[(3-4\nu_0)\delta_{ij} + \frac{\partial r}{\partial x_i} \frac{\partial r}{\partial x_j} \right]$$

$$t_{ij}(p, q, \nu) = -\frac{1}{8\pi(1-\nu_0)r^2} \left\{ \left[(1-2\nu_0)\delta_{ij} + 3\frac{\partial r}{\partial x_i} \frac{\partial r}{\partial x_j} \right] \frac{\partial r}{\partial \nu} + (1-2\nu_0) \left(\frac{\partial r}{\partial x_i} \nu_j - \frac{\partial r}{\partial x_j} \nu_i \right) \right\}$$

gdzie $u_{ij}(p, q)$ – komponenty wektora przemieszczeni w punkcie p w kierunku osi x_i od oddziaływania siły jednostkowej, przyłożonej w punkcie q w kierunku osi x_j ; $t_{ij}(p, q, \nu)$ – komponenty wektora sił wewnętrznych w punkcie p na powierzchni charakteryzującej kierunkiem normalnym ν w kierunku osi x_j od oddziaływania siły jednostkowej, przyłożonej w punkcie q w kierunku osi x_i .

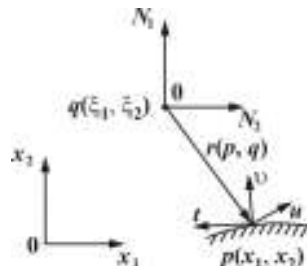
$$r(p, q) = \sqrt{(x_1 - \xi_1)^2 + (x_2 - \xi_2)^2 + (x_3 - \xi_3)^2}$$



Fundamentalne rozwiązania zadani sprężystości dla płaskiego stanu odkształceń

$$u_{ij}(p, q) = -\frac{1}{8\pi(1-\nu_0)G} \left[(3-4\nu_0)\delta_{ij} \ln r - \frac{\partial r}{\partial x_i} \frac{\partial r}{\partial x_j} \right] =$$

$$= -\frac{1}{8\pi(1-\nu_0)G} \left[(3-4\nu_0)\delta_{ij} \ln r - \frac{(x_i - \xi_i)(x_j - \xi_j)}{r^2} \right];$$



$$t_{ij}(p, q, \nu) = -\frac{1}{4\pi(1-\nu_0)r} \left\{ (1-2\nu_0)\delta_{ij} + 2 \frac{\partial r}{\partial x_i} \frac{\partial r}{\partial x_j} \right\} \frac{\partial r}{\partial \nu} - (1-2\nu_0) \left\{ \frac{\partial r}{\partial x_i} \nu_j - \frac{\partial r}{\partial x_j} \nu_i \right\} =$$

$$= -\frac{1}{4\pi(1-\nu_0)r} \left\{ (1-2\nu_0) \left[(x_i - \xi_i)\delta_{jk} - (x_j - \xi_j)\delta_{ik} - (x_k - \xi_k)\delta_{ij} + \frac{2(x_i - \xi_i)(x_j - \xi_j)(x_k - \xi_k)}{r^3} \right] \nu_k \right\}.$$

Przekształcenie formuł Kelvina dla przypadku odkształcenia płaskiego ośrodka nieściśliwego daje formuły

$$\nu_0 = 0,5$$

$$v_x = \frac{F_x}{2\mu} \left(g - x \frac{\partial g}{\partial x} \right) - \frac{F_y}{2\mu} y \frac{\partial g}{\partial x}$$

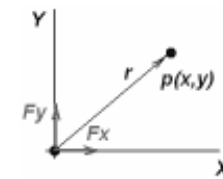
$$v_y = \frac{F_y}{2\mu} \left(g - y \frac{\partial g}{\partial y} \right) - \frac{F_x}{2\mu} x \frac{\partial g}{\partial y}$$

$$\sigma_x = F_x \left(\frac{\partial g}{\partial x} - x \frac{\partial^2 g}{\partial x^2} \right) + F_y \left(\frac{\partial g}{\partial y} - y \frac{\partial^2 g}{\partial y^2} \right)$$

$$\sigma_y = F_x \left(\frac{\partial g}{\partial x} - x \frac{\partial^2 g}{\partial x^2} \right) + F_y \left(\frac{\partial g}{\partial y} - y \frac{\partial^2 g}{\partial y^2} \right)$$

$$\sigma_{xy} = -F_x x \frac{\partial^2 g}{\partial x^2} - F_y y \frac{\partial^2 g}{\partial y^2}$$

$$g(x, y) = -\frac{1}{2\pi} \ln \sqrt{(x^2 + y^2)}$$



$$t_y = \sigma_{xy} a_x + \sigma_y a_y$$

$$t_x = \sigma_x a_x + \sigma_{xy} a_y$$

gdzie F_x i F_y – rzuty siły, jaka działa w liniowo lepkiem ośrodku;

$v_x, v_y, \sigma_x, \sigma_y, \sigma_{xy}$ – prędkości płynięcia i naprężenia w odległości x i y od punktu przyłożenia obciążenia F ;
 μ – umowna lepkości metalu.

Obliczenie pochodnych

$$g(x, y) = -\frac{1}{2\pi} \ln \sqrt{(x^2 + y^2)}$$

$$\frac{\partial g}{\partial y} = -\frac{1}{2\pi} \frac{1}{\sqrt{(x^2 + y^2)}} \frac{y}{\sqrt{(x^2 + y^2)}} = -\frac{1}{2\pi} \frac{y}{(x^2 + y^2)}$$

$$(\ln(x))' = \frac{1}{x}$$

$$\frac{\partial g}{\partial x} = -\frac{1}{2\pi} \frac{1}{\sqrt{(x^2 + y^2)}} \frac{x}{\sqrt{(x^2 + y^2)}} = -\frac{1}{2\pi} \frac{x}{(x^2 + y^2)}$$

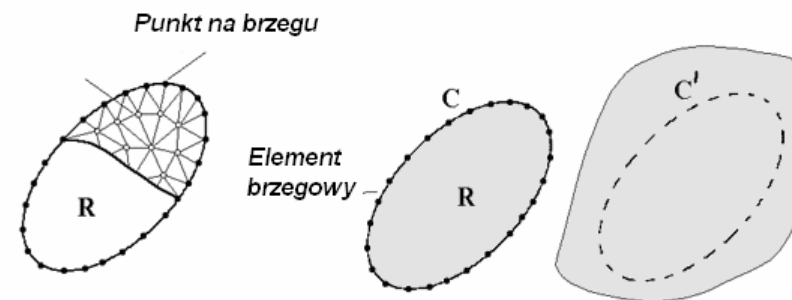
$$\frac{\partial^2 g}{\partial x^2} = -\frac{1}{2\pi} \frac{\partial}{\partial x} \left(\frac{x}{(x^2 + y^2)} \right) = -\frac{1}{2\pi} \left(\frac{1}{(x^2 + y^2)} - \frac{2x^2}{(x^2 + y^2)^2} \right)$$

$$(uv)' = u'v + uv'$$

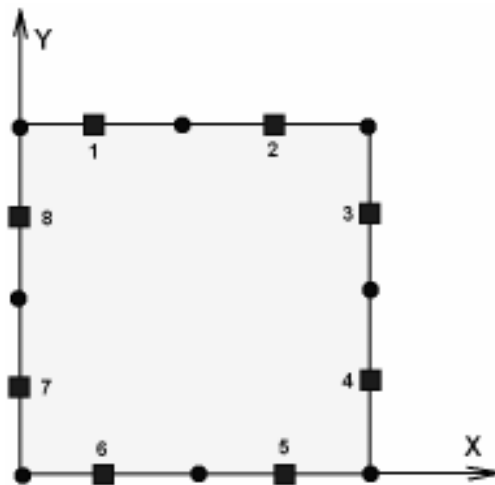
$$\frac{\partial^2 g}{\partial y^2} = -\frac{1}{2\pi} \frac{\partial}{\partial y} \left(\frac{y}{(x^2 + y^2)} \right) = -\frac{1}{2\pi} \left(\frac{1}{(x^2 + y^2)} - \frac{2y^2}{(x^2 + y^2)^2} \right)$$

$$\frac{\partial^2 g}{\partial x \partial y} = \frac{\partial}{\partial y} \left(-\frac{1}{2\pi} \frac{x}{(x^2 + y^2)} \right) = \frac{1}{2\pi} \left(\frac{2xy}{(x^2 + y^2)^2} \right)$$

Idea metody MEB



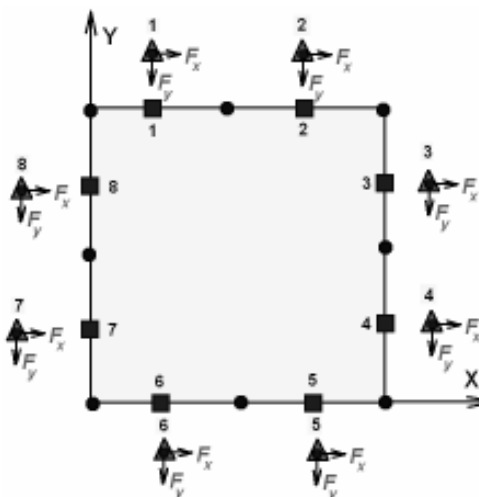
Przykład: Modelowanie procesu sęczenia próbki z materiału liniowo- lepkiego



Warunki w węzłach:

- 1: $v_x=0; v_y=-1; t_x=? t_y=? a_x=0 a_y=1$
- 2: $v_x=0; v_y=-1; t_x=? t_y=? a_x=0 a_y=1$
- 3: $v_x=?; v_y=?; t_x=0 t_y=0 a_x=1 a_y=0$
- 4: $v_x=?; v_y=?; t_x=0 t_y=0 a_x=1 a_y=0$
- 5: $v_x=?; v_y=0; t_x=0 t_y=? a_x=0 a_y=-1$
- 6: $v_x=?; v_y=0; t_x=? t_y=? a_x=0 a_y=-1$
- 7: $v_x=0; v_y=?; t_x=? t_y=0 a_x=-1 a_y=0$
- 8: $v_x=0; v_y=?; t_x=? t_y=0 a_x=-1 a_y=0$

Metoda rozwiązania



$$v_x = \frac{F_x}{2\mu} \left(g - x \frac{\partial g}{\partial x} \right) - \frac{F_y}{2\mu} y \frac{\partial g}{\partial x}$$

$$v_y = \frac{F_y}{2\mu} \left(g - y \frac{\partial g}{\partial y} \right) - \frac{F_x}{2\mu} x \frac{\partial g}{\partial y}$$

$$\sigma_x = F_x \left(\frac{\partial g}{\partial x} - x \frac{\partial^2 g}{\partial x^2} \right) + F_y \left(\frac{\partial g}{\partial y} - y \frac{\partial^2 g}{\partial x^2} \right)$$

$$\sigma_y = F_x \left(\frac{\partial g}{\partial x} - x \frac{\partial^2 g}{\partial y^2} \right) + F_y \left(\frac{\partial g}{\partial y} - y \frac{\partial^2 g}{\partial y^2} \right)$$

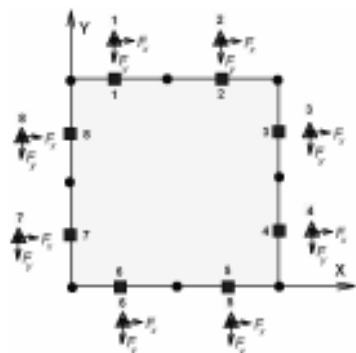
$$\sigma_{xy} = -F_x x \frac{\partial^2 g}{\partial x^2} - F_y y \frac{\partial^2 g}{\partial x \partial y}$$

$$g(x, y) = -\frac{1}{2\pi} \ln \sqrt{(x^2 + y^2)}$$

$$t_y = \sigma_{xy} a_x + \sigma_y a_y$$

$$t_x = \sigma_x a_x + \sigma_{xy} a_y$$

- 1: $v_x=0; v_y=-1; t_x=? t_y=? a_x=0 a_y=1$
- 2: $v_x=0; v_y=-1; t_x=? t_y=? a_x=0 a_y=1$
- 3: $v_x=?; v_y=?; t_x=0 t_y=0 a_x=1 a_y=0$
- 4: $v_x=?; v_y=?; t_x=0 t_y=0 a_x=1 a_y=0$
- 5: $v_x=?; v_y=0; t_x=? t_y=? a_x=0 a_y=-1$
- 6: $v_x=?; v_y=0; t_x=? t_y=? a_x=0 a_y=-1$
- 7: $v_x=0; v_y=?; t_x=? t_y=0 a_x=-1 a_y=0$
- 8: $v_x=0; v_y=?; t_x=? t_y=0 a_x=-1 a_y=0$



$\sum_{i=1}^8 v_x^{(i)}(F_{xi}, F_{yi}) = v_x^{(1)} = 0$	$\sum_{i=1}^8 v_x^{(i)}(F_{xi}, F_{yi}) = v_x^{(2)} = 0$
$\sum_{i=1}^8 v_y^{(i)}(F_{xi}, F_{yi}) = v_y^{(1)} = -1$	$\sum_{i=1}^8 v_y^{(i)}(F_{xi}, F_{yi}) = v_y^{(2)} = -1$
$\sum_{i=1}^8 t_x^{(i)}(F_{xi}, F_{yi}) = t_x^{(3)} = 0$	$\sum_{i=1}^8 t_x^{(i)}(F_{xi}, F_{yi}) = t_x^{(4)} = 0$
$\sum_{i=1}^8 t_y^{(i)}(F_{xi}, F_{yi}) = t_y^{(3)} = 0$	$\sum_{i=1}^8 t_y^{(i)}(F_{xi}, F_{yi}) = t_y^{(4)} = 0$
$\sum_{i=1}^8 t_x^{(i)}(F_{xi}, F_{yi}) = t_x^{(5)} = 0$	$\sum_{i=1}^8 t_x^{(i)}(F_{xi}, F_{yi}) = t_x^{(6)} = 0$
$\sum_{i=1}^8 v_y^{(i)}(F_{xi}, F_{yi}) = v_y^{(5)} = 0$	$\sum_{i=1}^8 v_y^{(i)}(F_{xi}, F_{yi}) = v_y^{(6)} = 0$
$\sum_{i=1}^8 v_x^{(i)}(F_{xi}, F_{yi}) = v_x^{(7)} = 0$	$\sum_{i=1}^8 v_x^{(i)}(F_{xi}, F_{yi}) = v_x^{(8)} = 0$
$\sum_{i=1}^8 t_y^{(i)}(F_{xi}, F_{yi}) = t_y^{(7)} = 0$	$\sum_{i=1}^8 t_y^{(i)}(F_{xi}, F_{yi}) = t_y^{(8)} = 0$

$F_{xi}, F_{yi} = ?$

Wyznaczenie niewiadomych w węzłach

$\sum_{i=1}^8 v_x^{(i)}(F_{xi}, F_{yi}) = v_x^{(1)} = 0$	$\sum_{i=1}^8 v_x^{(i)}(F_{xi}, F_{yi}) = v_x^{(2)} = 0$	$\sum_{i=1}^8 t_x^{(i)}(F_{xi}, F_{yi}) = t_x^{(1)}$	$\sum_{i=1}^8 t_x^{(i)}(F_{xi}, F_{yi}) = t_x^{(2)}$
$\sum_{i=1}^8 v_y^{(i)}(F_{xi}, F_{yi}) = v_y^{(1)} = -1$	$\sum_{i=1}^8 v_y^{(i)}(F_{xi}, F_{yi}) = v_y^{(2)} = -1$	$\sum_{i=1}^8 t_y^{(i)}(F_{xi}, F_{yi}) = t_y^{(1)}$	$\sum_{i=1}^8 t_y^{(i)}(F_{xi}, F_{yi}) = t_y^{(2)}$
$\sum_{i=1}^8 t_x^{(i)}(F_{xi}, F_{yi}) = t_x^{(3)} = 0$	$\sum_{i=1}^8 t_x^{(i)}(F_{xi}, F_{yi}) = t_x^{(4)} = 0$	$\sum_{i=1}^8 v_x^{(i)}(F_{xi}, F_{yi}) = v_x^{(3)}$	$\sum_{i=1}^8 v_x^{(i)}(F_{xi}, F_{yi}) = v_x^{(4)}$
$\sum_{i=1}^8 t_y^{(i)}(F_{xi}, F_{yi}) = t_y^{(3)} = 0$	$\sum_{i=1}^8 t_y^{(i)}(F_{xi}, F_{yi}) = t_y^{(4)} = 0$	$\sum_{i=1}^8 v_y^{(i)}(F_{xi}, F_{yi}) = v_y^{(3)}$	$\sum_{i=1}^8 v_y^{(i)}(F_{xi}, F_{yi}) = v_y^{(4)}$
$\sum_{i=1}^8 t_x^{(i)}(F_{xi}, F_{yi}) = t_x^{(5)} = 0$	$\sum_{i=1}^8 t_x^{(i)}(F_{xi}, F_{yi}) = t_x^{(6)} = 0$	$\sum_{i=1}^8 v_x^{(i)}(F_{xi}, F_{yi}) = v_x^{(5)}$	$\sum_{i=1}^8 v_x^{(i)}(F_{xi}, F_{yi}) = v_x^{(6)}$
$\sum_{i=1}^8 v_y^{(i)}(F_{xi}, F_{yi}) = v_y^{(5)} = 0$	$\sum_{i=1}^8 v_y^{(i)}(F_{xi}, F_{yi}) = v_y^{(6)} = 0$	$\sum_{i=1}^8 t_y^{(i)}(F_{xi}, F_{yi}) = t_y^{(5)}$	$\sum_{i=1}^8 t_y^{(i)}(F_{xi}, F_{yi}) = t_y^{(6)}$
$\sum_{i=1}^8 v_x^{(i)}(F_{xi}, F_{yi}) = v_x^{(7)} = 0$	$\sum_{i=1}^8 v_x^{(i)}(F_{xi}, F_{yi}) = v_x^{(8)} = 0$	$\sum_{i=1}^8 t_x^{(i)}(F_{xi}, F_{yi}) = t_x^{(7)}$	$\sum_{i=1}^8 t_x^{(i)}(F_{xi}, F_{yi}) = t_x^{(8)}$
$\sum_{i=1}^8 t_y^{(i)}(F_{xi}, F_{yi}) = t_y^{(7)} = 0$	$\sum_{i=1}^8 t_y^{(i)}(F_{xi}, F_{yi}) = t_y^{(8)} = 0$	$\sum_{i=1}^8 v_y^{(i)}(F_{xi}, F_{yi}) = v_y^{(7)}$	$\sum_{i=1}^8 v_y^{(i)}(F_{xi}, F_{yi}) = v_y^{(8)}$

Wyznaczenie niewiadomych w punktach wewnętrznych

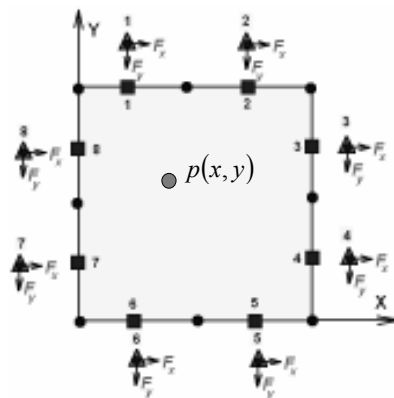
$$\sum_{i=1}^8 v_{xi}^{(p)}(F_{xi}, F_{yi}) = v_x^{(p)}$$

$$\sum_{i=1}^8 v_{yi}^{(p)}(F_{xi}, F_{yi}) = v_y^{(p)}$$

$$\sum_{i=1}^8 \sigma_{xi}^{(p)}(F_{xi}, F_{yi}) = \sigma_x^{(p)}$$

$$\sum_{i=1}^8 \sigma_{yi}^{(p)}(F_{xi}, F_{yi}) = \sigma_y^{(p)}$$

$$\sum_{i=1}^8 \sigma_{xyi}^{(p)}(F_{xi}, F_{yi}) = \sigma_{xy}^{(p)}$$

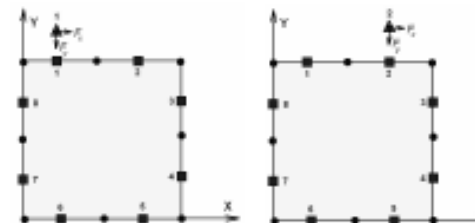


Bezpośrednia metoda MEB

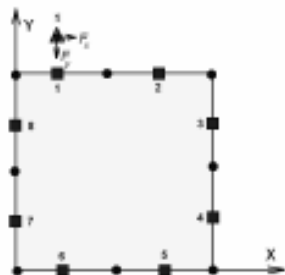
Do obliczenia współczynników układu równań można wykorzystać teoremat Kastiliano w formie następującej:

$$\int_S (t_x v_x^* + t_y v_y^*) dS = \int_S (t_x^* v_x + t_y^* v_y) dS$$

gdzie S – długość konturu; t_x, t_y, v_x, v_y – rzuty naprężeń i prędkości płynięcia na brzegu obwodu (na elementach brzegowych), odpowiadające rzeczywistemu stanowi naprężeń i odkształceń; $t_x^*, t_y^*, v_x^*, v_y^*$ – kontrolne rozwiązania, jakie wyznaczamy przez przyłożenie sił jednostkowych do każdego elementu i obliczenia naprężeń na innych elementach z wykorzystaniem fundamentalnego rozwiązania (formuł Kelvina).



$$\int_S (t_x v_x^* + t_y v_y^*) dS = \int_S (t_x^* v_x + t_y^* v_y) dS$$

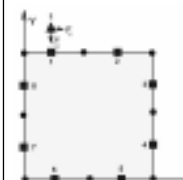


$$\sum_{j=1}^N \int_{S_j} (t_x v_x^* + t_y v_y^*) dS_j = \sum_{j=1}^N \int_{S_j} (t_x^* v_x + t_y^* v_y) dS_j$$

$$\sum_{j=1}^N t_x^j \int_{S_j} v_x^*(F_x^i) dS + \sum_{j=1}^N t_y^j \int_{S_j} v_y^*(F_x^i) dS = \sum_{j=1}^N v_x^j \int_{S_j} t_x^*(F_x^i) dS + \sum_{j=1}^N v_y^j \int_{S_j} t_y^*(F_x^i) dS$$

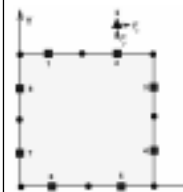
$$\sum_{j=1}^N t_x^j \int_{S_j} v_x^*(F_y^i) dS + \sum_{j=1}^N t_y^j \int_{S_j} v_y^*(F_y^i) dS = \sum_{j=1}^N v_x^j \int_{S_j} t_x^*(F_y^i) dS + \sum_{j=1}^N v_y^j \int_{S_j} t_y^*(F_y^i) dS$$

Układ równań MEB



$$\sum_{j=1}^N t_x^j \int_{S_j} v_x^*(F_x^{(1)}) dS + \sum_{j=1}^N t_y^j \int_{S_j} v_y^*(F_x^{(1)}) dS = \sum_{j=1}^N v_x^j \int_{S_j} t_x^*(F_x^{(1)}) dS + \sum_{j=1}^N v_y^j \int_{S_j} t_y^*(F_x^{(1)}) dS$$

$$\sum_{j=1}^N t_x^j \int_{S_j} v_x^*(F_y^{(1)}) dS + \sum_{j=1}^N t_y^j \int_{S_j} v_y^*(F_y^{(1)}) dS = \sum_{j=1}^N v_x^j \int_{S_j} t_x^*(F_y^{(1)}) dS + \sum_{j=1}^N v_y^j \int_{S_j} t_y^*(F_y^{(1)}) dS$$



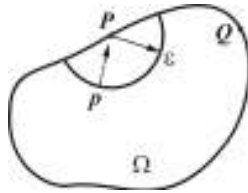
$$\sum_{j=1}^N t_x^j \int_{S_j} v_x^*(F_x^{(2)}) dS + \sum_{j=1}^N t_y^j \int_{S_j} v_y^*(F_x^{(2)}) dS = \sum_{j=1}^N v_x^j \int_{S_j} t_x^*(F_x^{(2)}) dS + \sum_{j=1}^N v_y^j \int_{S_j} t_y^*(F_x^{(2)}) dS$$

$$\sum_{j=1}^N t_x^j \int_{S_j} v_x^*(F_y^{(2)}) dS + \sum_{j=1}^N t_y^j \int_{S_j} v_y^*(F_y^{(2)}) dS = \sum_{j=1}^N v_x^j \int_{S_j} t_x^*(F_y^{(2)}) dS + \sum_{j=1}^N v_y^j \int_{S_j} t_y^*(F_y^{(2)}) dS$$

- 1: $v_x=0; v_y=-1; t_x=?; t_y=?; a_x=0; a_y=1$
2: $v_x=0; v_y=-1; t_x=?; t_y=?; a_x=0; a_y=1$

Wyznaczenie niewiadomych w punktach wewnętrznych

Twierdzenie Somiliany



Następnie wyznaczamy średnią wartość intensywności prędkości odkształcenia za pomocą formuł Somiliany:

$$u_x = -\int_C [u_s \sigma_s(F_x) + u_n \sigma_n(F_x)] ds + \int_C [\sigma_s u_s(F_x) + \sigma_n u_n(F_x)] ds,$$

$$u_y = -\int_C [u_s \sigma_s(F_y) + u_n \sigma_n(F_y)] ds + \int_C [\sigma_s u_s(F_y) + \sigma_n u_n(F_y)] ds,$$

gdzie $u_s, u_n, \sigma_s, \sigma_n$ – uzyskane wartości granicznych prędkości płynięcia i naprężeń w elementach brzegowych na etapie bieżącym; $u_s'(F_i), u_n'(F_i), \sigma_s'(F_i), \sigma_n'(F_i)$ – normalne i styczne prędkości płynięcia i naprężenia na granicy C , spowodowane wpływem siły jednostkowej F w punkcie (x, y) .

Metoda automatów komórkowych

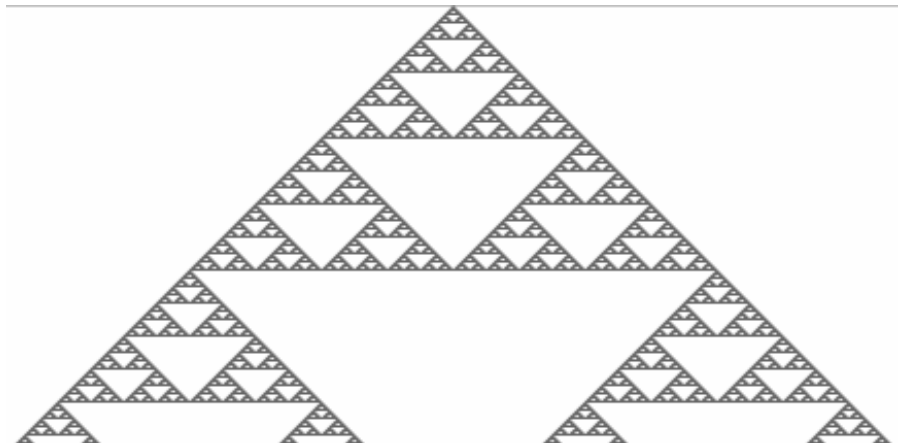
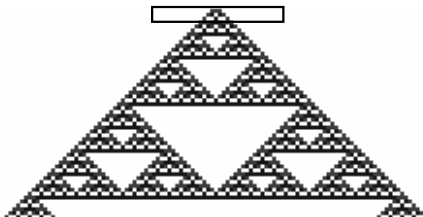
Idea automatów komórkowych

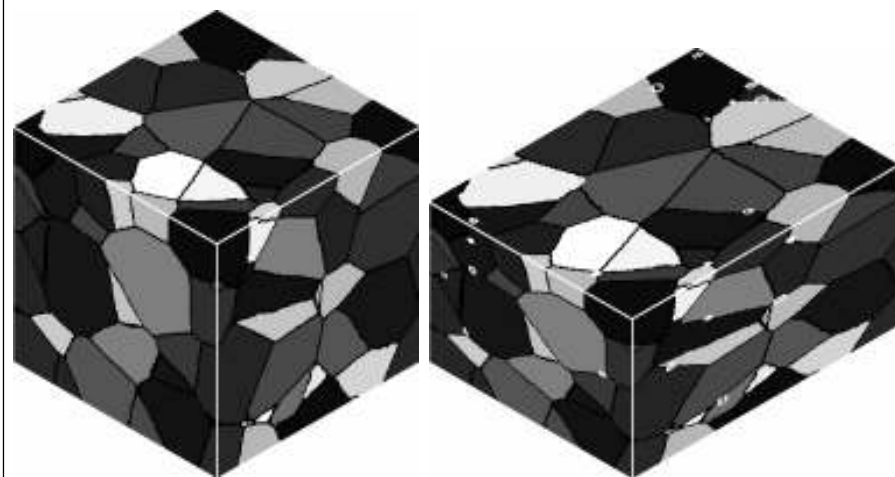
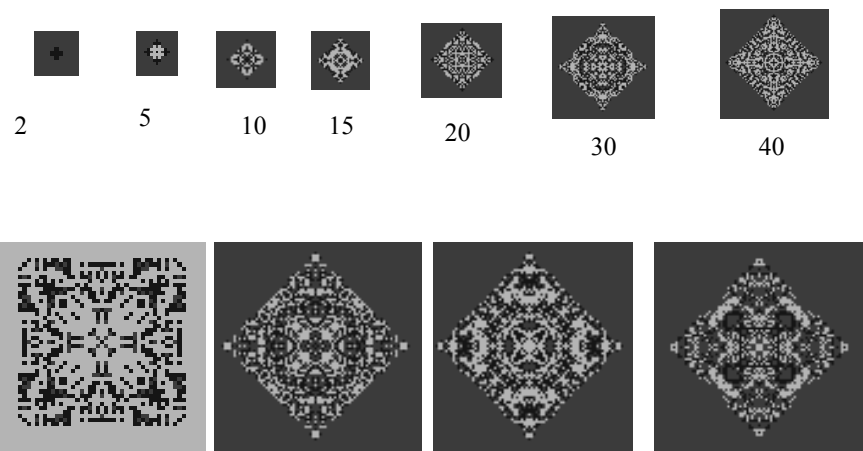
Summa=1

0	0	0	1	0	0	0	0
0	0	1	1	1	0	0	0
0	1	2	0	2	1	0	0
1	0	0	2	0	0	1	0

0	1	2
---	---	---

Kod	Summa
0	0
1	1
2	2
0	3
2	4
1	5
0	6





Dodatkowy materiał

$$\begin{aligned}
 U_{ij}(p, q) &= \frac{1}{16\pi(1-\nu_0)Gr} \left[(3-4\nu_0)\delta_{ij} + \frac{\partial r}{\partial x_i} \frac{\partial r}{\partial x_j} \right] = \\
 &= \frac{1}{16\pi(1-\nu_0)Gr} \left[(3-4\nu_0)\delta_{ij} + \frac{(x_i - \xi_i)(x_j - \xi_j)}{r^2} \right];
 \end{aligned}$$

$$\begin{aligned}
 T_{ij}(p, q, \nu) &= -\frac{1}{8\pi(1-\nu_0)r^2} \left\{ \left[(1-2\nu_0)\delta_{ij} + 3\frac{\partial r}{\partial x_i} \frac{\partial r}{\partial x_j} \right] \frac{\partial r}{\partial \nu} + (1-2\nu_0) \left(\frac{\partial r}{\partial x_i} \nu_j - \frac{\partial r}{\partial x_j} \nu_i \right) \right\} = \\
 &= -\frac{1}{8\pi(1-\nu_0)r^2} \left\{ \frac{1-2\nu_0}{r} \left[(x_i - \xi_i)\delta_{jk} - (x_j - \xi_j)\delta_{ik} - (x_k - \xi_k)\delta_{ij} - \frac{3(x_i - \xi_i)(x_j - \xi_j)(x_k - \xi_k)}{r^3} \right] \nu_k \right\}.
 \end{aligned}$$